

JOURNAL DE PHYSIQUE

avec le patronage de la Société Française de Physique
et sous le patronage du
Ministère de la Recherche Scientifique



Europhysics Journal

Volume 44, 1983

UIC

ISSN 0302-4

MAY 3 - 1984

LIBRARY

S2

Index Général
des
Publications 1983

X
QC

1

J812

v. 44

INDEX

1983

PER

les éditions



de physique

JOURNAL DE PHYSIQUE

Tome 44 — 1983

Abadie (M. J. M.). — Voir Benoit (C.)	1307	Barberi (R.). — Voir Barbero (G.)	609
Abelson (J.) and de Rosny (G.). — The relation between contact potential and planar conduction as a-Si:H films undergo gas adsorption or temperature changes	993	Barbero (G.) and Barberi (R.). — Critical thickness of a hybrid aligned nematic liquid crystal cell	609
Adam (M.) and Delsanti (M.). — Viscosity and longest relaxation time of semi-dilute polymer solutions. I. Good solvent	1185	Bardet (J. P.) et Valognes (J. C.). — Détermination de la perturbation et calcul du profil de la raie semi-dégénérée 4f 4d 4p → 2p Li (I) du lithium, émise par un plasma électrolytique, tenant compte de l'effet dynamique des ions	797
Aldissi (M.). — Voir Lefrant (S.)	235	Barišić (S.). — The role of Coulomb screening in quasi one-dimensional conductors	185
Alexander (S.) and Halevi (E.). — Superconductivity on networks : II. The London approach	805	Barratt (P. J.) and Zuniga (I.). — Thermal instability in a sample of nematic liquid crystal contained in a rotating annulus	311
Allab (M.), Boucenna (A.) et Haddad (M.). — Niveaux du ^{10}B excités dans la diffusion élastique $^9\text{Be} + p$ à $2 \leq E_p \leq 5 \text{ MeV}$	579	Baryshevsky (V. G.) and Feranchuk (I. D.). — Parametric X-rays from ultrarelativistic electrons in a crystal : theory and possibilities of practical utilization	913
Allan (G.) and Lannoo (M.). — Trends in the cohesive properties of sp bonded elements	1355	Beauchamp (P.) and Villain (J. P.). — Computer study of the BCC ↔ FCC structure change by homogeneous deformations	1117
Allard (N. F.) and Biraud (Y. G.). — Effect of the different parts of the interaction potential on the line profile in neutral atom-atom collisions	935	Beaufils (J. P.), Hennion (M. C.) and Rosset (R.). — Segmental motion of alkyl chains grafted on silica gel, studied by neutron scattering	497
Alonso (J. A.). — Voir González (D. J.)	229	Beaufort-Richard (M. F.). — Voir Guillot (J. P.)	651
Amoureux (J. P.). — Voir Bée (M.)	215	Bechgaard (K.). — Voir Tomić (S.)	375
Amoureux (J. P.), Castelain (M.), Benadda (M. D.), Bée (M.) and Sauvajol (J. L.). — Dielectric properties of 1-cyano-adamantane $\text{C}_{10}\text{H}_{15}\text{CN}$, in its plastic phase	513	Bechgaard (K.). — Voir Parkin (S. S. P.)	975
Aragão de Carvalho (C.) and Caracciolo (S.). — A new Monte-Carlo approach to the critical properties of self-avoiding randomwalks	323	Bée (M.). — Voir Amoureux (J. P.)	513
Ardelean (L.). — Voir Burzo (E.)	647	Bée (M.), Poinignon (C.), Longueville (W.) and Amoureux (J. P.). — High resolution incoherent quasielastic neutron scattering study of molecular reorientations of trimethylacetic acid (CH_3) ₃ CCOOD in its low-temperature phase	215
Armand (G.) and Manson (J. R.). — Scattering of neutral atoms by a periodic potential : the morse corrugated potential	473	Beens (W. W.) and de Jeu (W. H.). — Flow-measurements of the viscosity coefficients of two nematic liquid crystalline azoxybenzenes	129
Aslangul (C.) and Saint-James (D.). — Excitons in a 1-D crystal density excitations in 1-D organic polymers	953	Bendali (N.), Duong (H. T.), Saint Jalm (J. M.) and Vialie (J. L.). — Observation of optical pumping effects in collinear atomic beam - laser beam(s) interaction	1019
Aslangul (C.) and Saint-James (D.). — Excitons in a 1-D crystal with an electron-hole interaction of variable range and strength	359	Benoit (J. P.), Thomas (F.) et Berger (J.). — Influence de la pression hydrostatique sur les spectres de diffusion Brillouin de la thiourée	841
Astruc (D.). — Voir Mariot (J. P.)	1377	Benoit (C.), Bernard (O.), Palpacuer (M.), Rolland (M.) and Abadie (M. J. M.). — Infrared transmission of heavily doped polyacetylene	1307
Aubry (S.). — Devil's staircase and order without periodicity in classical condensed matter	147	Benadda (M. D.). — Voir Amoureux (J. P.)	513
Auzel (F.) and Malta (O. L.). — A scalar crystal field strength parameter for rare-earth ions : meaning and usefulness	201	Benguigui (L.). — Lifshitz point in the smectic A phases	273
Aymerich (F.). — Voir Mbaye (A. A.)	1085	Benyoussef (A.) and Boccara (N.). — Phase diagrams of random Ising models : simple and systematic successive approximations	1143
Ayroles (R.). — Voir Roucau (C.)	141	Berger (J.). — Voir Benoit (J. P.)	841
Bacis (R.). — Voir Pique (J. P.)	347	Bernard (O.). — Voir Benoit (C.)	1307
Bacri (J.-C.) and Gorse (D.). — Critical behaviour of the elastic constant and the friction coefficient in the gel phase of gelatin	985	Berthier (J.). — Voir Peretto (P.)	109
Bailly (F.), Barbé (M.), Cohen-Solal (G.) and Lincot (D.). — Some mathematical results for impurity redistribution during the growth of a layer on a substrate	489	Beswick (J. A.). — Voir Vigué (J.)	1225
Balabanski (D. L.). — Voir Vapirev (E. L.)	675	Bieber (A.). — Voir Jesser (R.)	631
Baptist (R.), Chayrouse (J.), Courteix (D.), Heintz (L.), Damien (D.) et Wojakowski (A.). — Photoémission dans le domaine X (XPS) de PuSb	241	Billard (J.). — Voir Levelut (A. M.)	623
Barbarin (F.), Chausse (J. P.), Fabre (C.), Germain (J. P.), Deloche (B.) et Charvolin (S.). — Structures de couches smectiques, approche par l'étude RMN d'un mélange binaire	45	Biraud (Y. G.). — Voir Allard (N. F.)	935
Barbé (M.). — Voir Bailly (F.)	489	Blanchard (C.). — Voir Deville (A.)	77
Barbe (A.), Marché (P.), Meunier (C.) et Jouve (P.). — Variation avec la température des coefficients d'élargissement des raies de l'ozone par l'oxygène et l'air pour la bande $v_1 + v_3$	1015	Blanchard (C.). — Voir Gaillard (B.)	691
		Bliman (S.), Dousson (S.), Jacquot (B.) et Van Houtte (D.). — Capture électronique par des ions lents multichargés lors de collisions d'échange de charge sur des cibles atomiques	467
		Bline (R.). — Voir Seliger (J.)	521
		Bline (R.). — Voir Vilfan (M.)	1179
		Boccara (N.). — Voir Benyoussef (A.)	1143

Boileau (F.), Geoffroy (B.), Paulin (R.), Molinie (P.) and Zuppiroli (L.). — Positron annihilation as a probe of electronic density in the two-dimensional conductor 1T-TaS ₂	1157	Courteix (D.). — Voir Baptist (R.)	241
Boileau (S.). — Voir Di Meglio (J. M.)	1035	Coustham (J.). — Voir Glättli (H.)	957
Boucenna (A.). — Voir Allab (M.)	579	Creuzet (F.). — Voir Parkin (S. S. P.)	975
Boudeville (Y.), Rousseau-Violet (J.), Cyrot-Lackmann (F.) and Khanna (S. N.). — Tight-binding parameters for chemisorptive bonds of transition metals with hydrogen, oxygen and sulfur	433	Croquette (V.), Mory (M.) and Schosseler (F.). — Rayleigh-Bénard convective structures in a cylindrical container	293
Bourdon (B.). — Voir Bullo (J.)	713	Cross (A.). — Silicon surfaces : metallic character, oxidation and adhesion	707
Bourdon (B.). — Voir Chahed (L.)	387	Cyrot-Lackmann (F.). — Voir Boudeville (Y.)	433
Bowley (R. M.) and Edwards (D. O.). — Theory of the kinetic coefficients of the atomically rough surface of ⁴ He crystals	723	Dalibard (J.) and Reynaud (S.). — Correlation signals in resonance fluorescence : interpretation <i>via</i> photon scattering amplitudes	1337
Bradshaw (M. J.). — Voir Tough (R. J. A.)	447	Damien (D.). — Voir Baptist (R.)	241
Brar (A. S.) and Randhawa (B. S.). — Mössbauer effect studies of alkali bis(citrate)ferrates(III)	1345	Daou (J. N.). — Voir Vajda (P.)	543
Brézin (E.), Halperin (B. I.) and Leibler (S.). — Critical wetting : the domain of validity of mean field theory	775	Déjardin (Ph.). — Variation with temperature of the thickness of an adsorbed polymer layer in the collapsed state	537
Bricault (P.), Slobodrian (R. J.), Rious (C.), Potvin (L.), Roy (R.), Larue (R.) et Frois (B.). — Rayonnement de freinage dans l'interaction ³ He- ² H près du seuil de cassure du deuteron	461	De Jeu (W. H.). — Voir Beens (W. W.)	129
Brient (J. C.). — Voir Lagrange (Ch.)	27	Dellagi (M.). — Fluctuations du parcours de particules chargées ayant déposé la même quantité d'énergie dans la matière	137
Brochard (F.). — Gel-like modes of polymer solutions in « θ » solvents	39	Delannoy-Coutris (M.) et Perrin (G.). — Etude théorique du comportement avec la température des modules élastiques des solides à symétrie cubique	1287
Broyer (M.). — Voir Vigüé (J.)	1225	Deloche (B.). — Voir Barbarin (F.)	45
Buisson (J. P.). — Voir Jumeau (D.)	819	Delsanti (M.). — Voir Adam (M.)	1185
Bullo (J.), Galin (M.), Gauthier (M.) and Bourdon (B.). — Electronic properties of hydrogenated amorphous silicon-germanium alloys	713	De Rosny (G.). — Voir Abelson (J.)	993
Burzo (E.), Ungur (D.) and Ardelean (I.). — On the magnetic properties of B ₂ O ₃ -PbO-Fe ₂ O ₃ -K ₂ O and B ₂ O ₃ -PbO-Fe ₂ O ₃ -CaO glasses	647	Derrida (B.) and Hermann (H. J.). — Collapse of branched polymers	1365
Capek (V.). — Time-convolutionless generalized master equations and phonon-assisted hopping	767	Derrida (B.). — Voir Luck (J. M.)	1135
Caracciolo (S.). — Voir Aragão de Carvalho (C.)	323	Des Cloizeaux (J.). — A reformulation of Schrödinger and Dirac equations in terms of observable local densities and electromagnetic field : a step towards a new interpretation of quantum mechanics ?	885
Carlsson (T.). — Remarks on the flow alignment of disc like nematics	909	Destrade (C.). — Voir Gohin (A.)	427
Carmona (F.). — Voir Ordiera (D.)	683	Destrade (C.), Nguyen Huu Tinh, Malthête (J.) and Levelut (A. M.). — On the rectangular-hexagonal columnar phase transition in disc-like liquid crystals	597
Caroli (B.), Caroli (C.) and Roulet (B.). — A schematic mechanism for striated growth of solid binary mixtures	945	Deville (A.). — Voir Gaillard (B.)	691
Caroli (C.). — Voir Caroli (B.)	945	Deville (A.), Gaillard (B.), Blanchard (C.) and Livage (J.). — Electron spin-lattice relaxation in a true amorphous material : V ⁴⁺ in V ₂ O ₅	77
Castelain (M.). — Voir Amoureux (J. P.)	513	Devine (R. A. B.). — On the spin-orbit scattering of conduction electrons in dilute non-magnetic alloys	393
Cavagnat (D.) and Lascombe (J.). — Effect of the internal rotation of the CHD ₂ group on the CH stretching mode of nitromethane NO ₂ CHD ₂ in crystalline phase	67	Devreux (F.), Holzer (K.), Nechtschein (M.) and Minier (M.). — NMR study of transport properties in pure and irradiated Qn TCNQ	33
Cebula (D. J.), Charles (S. W.) and Popplewell (J.). — Aggregation in ferrofluids studied by Neutron Small Angle Scattering	207	Dianoux (A. J.). — Voir Sourisseau (C.)	967
Chahed (L.), Thèye (M. L.) et Bourdon (B.). — Effets du recuit sur les propriétés optiques du silicium amorphe hydrogéné	387	Di Meglio (J. M.), Ober (R.), Paz (L.), Taupin (C.), Pincus (P.) and Boileau (S.). — Study of the surface tension of polymer solutions : theory and experiments in theta solvent conditions	1035
Chakraverty (B. K.). — Frustration and (111) silicon surface	257	Dmitrieva (I. K.) and Plindov (G. I.). — The Thomas-Fermi model : momentum expectation values	333
Chardon (J. C.), Genty (C.), Hill (E. K.) et Labrune (J. C.). — Transitions dipolaires induites par collisions sur un faisceau de formaldéhyde. Effets d'un champ électrique	1149	Dolinšek (J.). — Voir Vilfan (M.)	1179
Charles (S. W.). — Voir Cebula (D. J.)	207	Doussineau (P.), Matecki (M.) and Schön (W.). — Connection between the low temperature acoustic properties and the glass transition temperature of fluoride glasses	101
Charvolin (J.). — Voir Barbarin (F.)	45	Doussineau (P.) and Schön (W.). — Acoustic propagation in an epoxy resin at very low temperatures	397
Chausse (J. P.). — Voir Barbarin (F.)	45	Dousson (S.). — Voir Bliman (S.)	467
Chayrouse (J.). — Voir Baptist (R.)	241	Dreiling (T. D.) and Sadeghi (N.). — Electronic energy transfer between state selected metastable argon atoms and ground state krypton atoms	1007
Chiarelli (P.), Faetti (S.) and Fronzoni (L.). — Structural transition at the free surface of the nematic liquid crystals MBBA and EBBA	1061	Druon (C.), Wacrenier (J. M.), Hardouin (F.), Nguyen Huu Tinh and Gasparoux (H.). — Dielectric study of S _{A1} , S _{A2} and S _X phases in liquid crystals of cyano compounds	1195
Churassy (S.). — Voir Pique (J. P.)	347	Dubois-Violette (E.). — Voir Marignan (J.)	263
Cohen-Solal (G.). — Voir Bailly (F.)	489	Duong (H. T.). — Voir Bendali (N.)	1019
Conde (O.) and Teixeira (J.). — Hydrogen bond dynamics in water studied by depolarized Rayleigh scattering	525	Edwards (D. O.). — Voir Bowley (R. M.)	723
Coulon (C.). — Voir Parkin (S. S. P.)	603	El Alami Ariba and Glättli (H.). — Spin-lattice relaxation in partially converted CH ₄ above 0.3 K	1351

- Evesque (P.). — Energy migration in randomly doped crystals : geometrical properties of space and kinetic laws 1217
- Fabre (C.). — Voir Barbarin (F.) 45
- Fabre (J. M.). — Voir Parkin (S. S. P.) 975
- Fabre (J. M.). — Voir Parkin (S. S. P.) 603
- Faetti (S.). — Voir Chiarelli (P.) 1061
- Faulques (E.). — Voir Jumeau (D.) 819
- Feranchuk (I. D.). — Voir Baryshevsky (V. G.) 913
- Frois (B.). — Voir Bricault (P.) 461
- Fronzoni (L.). — Voir Chiarelli (P.) 1061
- Gaillard (B.), Blanchard (C.), Deville (A.) and Sanchez (C.). — Low frequency transition between vibronic levels of V_2^{9+} in crystalline V_2O_5 from electron spin-lattice relaxation measurements 691
- Gaillard (B.). — Voir Deville (A.) 77
- Galatry (L.). — Voir Girard (C.) 1273
- Galin (M.). — Voir Bullo (J.) 713
- Gallot (Z.), Pouyet (G.) and Schmitt (A.). — Static and dynamic polystyrene dimensions in relation to the blob model and size-exclusion chromatography 247
- Gasparoux (H.). — Voir Gohin (A.) 427
- Gasparoux (H.). — Voir Druon (C.) 1195
- Gauthier (M.). — Voir Bullo (J.) 713
- Geffroy (B.). — Voir Boileau (F.) 1157
- Genty (C.). — Voir Chardon (J. C.) 1149
- Germain (C.). — Voir Levelut (A. M.) 623
- Germain (J. P.). — Voir Barbarin (F.) 45
- Giral (L.). — Voir Parkin (S. S. P.) 603
- Girard (C.) et Galatry (L.). — Polarisation électrique d'une interface par effet dispersif entre diélectriques anisotropes 1273
- Glass (N. E.). — A lattice-dynamics model of an oscillating screw dislocation 741
- Glättli (H.). — Voir El Alami Ariba 1351
- Glättli (H.) and Coustham (J.). — Spin-dependent scattering and absorption of thermal neutrons on dynamically polarized nuclei 957
- Gohin (A.), Destrade (C.), Gasparoux (M.) and Prost (J.). — Molecular orientational correlations in isotropic phases of nematogenic and smectogenic compounds 427
- González (D. J.) and Alonso (J. A.). — Charge transfer in simple metallic alloys 229
- Gorse (D.). — Voir Bacri (J.-C.) 985
- Gough (W.). — Collisional transfer of coherence by electric dipole-dipole interaction 343
- Graja (A.). — Voir Świątlik (R.) 617
- Grenier-Besson (M. L.) et Mahmoudi (A.). — Utilisation de « coordonnées normales effectives » pour calculer les niveaux d'énergie vibratoire de la molécule CO_2 923
- Grésillon (D.). — Voir Stern (C.) 1325
- Grynberg (G.). — Remarks on E1-E2 and E1-M1 two-photon transitions 679
- Guéron (M.). — Voir Weisbuch (G.) 251
- Guillot (J. P.), Rivière (J. P.) et Beaufort-Richard (M. F.). — Etude par diffusion de Huang des auto-interstitiels dans un alliage ordonné Fe-40 at % Al irradié aux électrons 651
- Haase (W.). — Voir Müller (H. J.) 1209
- Haddad (M.). — Voir Allab (M.) 579
- Halevi (E.). — Voir Alexander (S.) 805
- Halperin (B. I.). — Voir Brézin (E.) 775
- Hardouin (F.). — Voir Druon (C.) 1195
- Hartmann (F.). — Voir Pique (J. P.) 347
- Hayter (J. B.). — Voir Nallet (F.) 87
- Heintz (L.). — Voir Baptist (R.) 241
- Helfrich (W.). — Mean-field theory of statistical assemblies of sterically interacting lines 13
- Hennion (M. C.). — Voir Beaufrils (J. P.) 497
- Herrig (L.), Nagel (J.) and Schulz (H.-J.). — Middle-infrared absorption and electron paramagnetic resonance of copper associates in zinc sulfide 1317
- Herrmann (H. J.). — Voir Derrida (B.) 1365
- Hill (E. K.). — Voir Chardon (J. C.) 1149
- Ho (J. T.). — Voir Rosenblatt (C.) 383
- Hodges (J. A.). — Tm^{3+} and Yb^{3+} in $TmXO_4$ and Yb^{3+} in $YbXO_4$ (X = P, V) from ^{169}Tm and ^{170}Yb Mössbauer measurements 833
- Holczer (K.). — Voir Devreux (F.) 33
- Hudák (O.). — Modulated smectic \bar{C}^* -uniform smectic \bar{C}^* phase transition in an electric field 57
- Ipavec (M.). — Voir Vilfan (M.) 1179
- Ivascu (M.). — Voir Poenaru (D. N.) 791
- Iwanowski (R. J.), Lemańska-Bajorek (A.) and Langer (J. M.). — Schottky diodes as a possible supplementary method for ionic transport investigations in semiconducting ionic solids. Application to $n-CdF_2$ 553
- Jacquot (B.). — Voir Bliman (S.) 467
- Jannink (G.). — Voir Nallet (F.) 87
- Jérôme (D.). — Voir Parkin (S. S. P.) 975
- Jérôme (D.). — Voir Parkin (S. S. P.) 603
- Jérôme (D.). — Voir Tomić (S.) 375
- Jesser (R.), Bieber (A.) and Kuentzler (R.). — Magnetic properties of the ordered VPT_3 alloy. II. — Critical behaviour around the Curie point 631
- Jouve (P.). — Voir Barbe (A.) 1015
- Joyes (P.). — Sur la formation d'ions polyatomiques secondaires 221
- Julien (L.). — Voir Pinard (M.) 589
- Jumeau (D.), Lefrant (S.), Faulques (E.) and Buisson (J. P.). — Vibrational analysis of trans-polyacetylene : $(CH)_x$ and $(CD)_x$ 819
- Kalkura (A. N.), Shashidhar (R.) and Subramanya Raj Urs (N.). — High pressure studies on reentrant nematogens 51
- Kamenov (P. S.). — Voir Vapirev (E. L.) 675
- Keller (P.). — Voir Levelut (A. M.) 623
- Khanna (S. N.). — Voir Boudeville (Y.) 433
- Kleinert (H.). — Gauge field theory of dislocations in smectic A liquid crystals 353
- Kobeissi (H.) and Korek (M.). — Rotation harmonics for a numerical diatomic potential 1257
- Korek (M.). — Voir Kobeissi (H.) 1257
- Korn (D.) and Maurer (K.). — Low temperature anomaly of the electrical resistivity of $SnMn$ 827
- Krauzman (M.), Pick (R. M.), Le Calvé (N.) and Pasquier (B.). — Raman spectra and reentrant phase diagram of malononitrile $CH_2(CN)_2$ 849
- Kuentzler (R.). — Ordering effects in the Fe-Al system 1167
- Kuentzler (R.). — Voir Jesser (R.) 631
- Labrune (J. C.). — Voir Chardon (J. C.) 1149
- Lafon (A.), Rossi (A.) et Vidal (C.). — Mesure du niveau de chaos à partir du spectre de Fourier dans des régimes dynamiques expérimentaux 505
- Lagrange (Ch.) et Brient (J. C.). — Interprétation semi-microscopique de la diffusion élastique et inélastique de nucléons par ^{208}Pb 27
- Lahajnar (G.). — Voir Vilfan (M.) 1179
- Laloë (F.). — Voir Pinard (M.) 589

Langer (J. M.). — Voir Iwanowski (R. J.)	553	Molho (P.) and Porteseil (J. L.). — Magnetization process : model of the potential function in the case of a thermal demagnetization	871
Lannoo (M.). — Voir Allan (G.)	1355	Molinie (P.). — Voir Boileau (F.)	1157
Larue (R.). — Voir Bricault (P.)	461	Montoya (M.). — Nucleon pair breaking in the thermal neutron induced fission of ^{233}U and ^{235}U	785
Lascombe (J.). — Voir Cavagnat (D.)	67	Mory (M.). — Voir Croquette (V.)	293
Lasič (D. D.). — EPR investigation of phase transitions in amphiphilic systems	737	Moser (P.). — Voir Vajda (P.)	543
Laucagne (J. J.). — Voir Pradel (P.)	1263	Müller (H. J.) and Haase (W.). — Magnetic susceptibilities and the order parameters of some 4,4'-disubstituted biphenyl cyclohexanes	1209
Lauer (S.). — Voir Mariot (J. P.)	1377	Mycielski (J.) and Rigaux (C.). — Acceptors in wide-gap semimagnetic semiconductors	1041
Leblond (J.). — Cooperative hydrogen bonding and structural instability in water	1201	Nagel (J.). — Voir Herrig (L.)	1317
Le Calvé (N.). — Voir Krauzman (M.)	849	Nallet (F.), Jannink (G.), Hayter (J. B.), Oberthür (R.) and Picot (C.). — Observation of the dynamics of polyelectrolyte strong solutions by quasi-elastic neutron scattering	87
Lefrant (S.). — Voir Jumeau (D.)	819	Nechtschein (M.). — Voir Devreux (F.)	33
Lefrant (S.) and Aldissi (M.). — The thermal isomerization of polyacetylene studied by Raman scattering	235	Nguyen Huu Tinh. — Voir Destrade (C.)	597
Leibler (S.). — Voir Brézin (E.)	775	Nguyen Huu Tinh. — Voir Druon (C.)	1195
Leibler (S.). — Voir Luck (J. M.)	1135	Ober (R.). — Voir Di Meglio (J. M.)	1035
Lemańska-Bajorek (A.). — Voir Iwanowski (R. J.)	553	Oberthür (R.). — Voir Nallet (F.)	87
Levelut (A. M.). — Voir Destrade (C.)	597	Ognjanov (N. I.) and Tsankov (L. T.). — On the theory of coherent ultrasonic modulation of Mössbauer gamma-radiation	859
Levelut (A. M.), Germain (C.), Keller (P.), Liebert (L.) and Billard (J.). — Two new mesophases in a chiral compound	623	Ognjanov (N. I.) and Tsankov (L. T.). — Phase and distance effects in rf modulation of Mössbauer radiation under stationary conditions	865
Levy (J. C. S.). — Domaines et parois dans des systèmes de spin à interaction dipolaire tronquée	163	Omari (R.), Prejean (J. J.) and Souletie (J.). — Critical measurements in the spin glass CuMn	1069
Lhuillier (C.). — Transport properties in a spin polarized gas, III	1	Ordiera (D.) and Carmona (F.). — Visible and near infrared optical properties of small particle random composites : carbon black in KBr	683
Lhuillier (D.). — Phenomenology of polymer migration	303	Ormandjiev (S. I.). — Voir Vapirev (E. I.)	675
L'Huillier (A.), Lompré (L. A.), Mainfray (G.) and Manus (C.). — Laser pulse duration effects in Xe^{2+} ions induced by multiphoton absorption at $0.53\text{ }\mu\text{m}$	1247	Palpacuer (M.). — Voir Benoit (C.)	1307
Liebert (L.). — Voir Levelut (A. M.)	623	Pansu (B.), Pieranski (P.) and Strzelecki (L.). — Thin colloidal crystals : a series of structural transitions	531
Lincot (D.). — Voir Bailly (F.)	489	Parkin (S. S. P.), Coulon (C.), Jérôme (D.), Fabre (J. M.) and Giral (L.). — Substitution of TMTSeF with TMTTF in $(\text{TMTSeF})_2\text{ClO}_4$: high pressure studies	603
Linder (B.). — Voir Woźniak (S.)	403	Parkin (S. S. P.), Creuzet (F.), Jérôme (D.), Fabre (J. M.) and Bechgaard (K.). — Pressure-temperature phase diagrams of several $(\text{TMTTF})_2\text{X}$ compounds : stabilization of a highly conducting metallic state under pressure in $(\text{TMTTF})_2\text{Br}$	975
Livage (J.). — Voir Deville (A.)	77	Parodi (O.). — Voir Marignan (J.)	665
Lompré (L. A.). — Voir L'Huillier (A.)	1247	Parodi (O.). — Voir Marignan (J.)	263
Longueville (W.). — Voir Bée (M.)	215	Pasquier (B.). — Voir Krauzman (M.)	849
Lucazeau (G.). — Voir Sourisseau (C.)	967	Paulin (R.). — Voir Boileau (F.)	1157
Luck (J. M.), Leibler (S.) and Derrida (B.). — A transfer matrix approach to the 3D wetting and pinning problems	1135	Paz (L.). — Voir Di Meglio (J. M.)	1035
Mahmoudi (A.). — Voir Grenier-Besson (M. L.)	923	Pecheur (P.). — Voir Van Der Rest (J.)	1297
Mainfray (G.). — Voir L'Huillier (A.)	1247	Peretto (P.), Teisseron (G.) et Berthier (J.). — Condensation locale de l'hydrogène dans le chrome	109
Malta (O. L.). — Voir Auzel (F.)	201	Perez (J.-Ph.). — Contribution aux théories du pouvoir d'arrêt des solides pour des particules chargées relativistes	699
Malthête (J.). — Voir Destrade (C.)	597	Perrin (G.). — Voir Delannoy-Coutiris (M.)	1287
Manneville (P.). — A numerical simulation of « convection » in a cylindrical geometry	563	Pick (R. M.). — Voir Yvinec (M.)	169
Manneville (P.). — A two-dimensional model for three-dimensional convective patterns in wide containers	759	Pick (R. M.). — Voir Krauzman (M.)	849
Manson (J. R.). — Voir Armand (G.)	473	Picot (C.). — Voir Nallet (F.)	87
Manus (C.). — Voir L'Huillier (A.)	1247	Pierański (P.). — Jumping particle model. Period doubling cascade in an experimental system	573
Marché (P.). — Voir Barbe (A.)	1015	Pieranski (P.). — Voir Pansu (B.)	531
Marignan (J.), Parodi (O.) and Dubois-Violette (E.). — Instabilities in smectics A submitted to an alternative shear flow. I. — Theory	263	Pinard (M.), Julien (L.) et Lalœ (F.). — Détection de la rotation Faraday produite par un gaz placé dans un interféromètre de Michelson	589
Marignan (J.) and Parodi (O.). — Instabilities in smectic A submitted to an alternating shear flow. II. Experimental results	665		
Mariot (J. P.), Michaud (P.), Lauer (S.), Astruc (D.), Trautwein (A. X.) and Varret (F.). — Mössbauer study and molecular orbital calculations on the organo-iron (I, II) electron reservoir sandwiches $\text{CpFe}^{n+}(\eta^5\text{-C}_6(\text{CH}_3)_6)$ ($n = 0, 1$) and related CpFe (cyclohexadienyl) complexes	1377		
Matecki (M.). — Voir Doussineau (P.)	101		
Maurer (K.). — Voir Korn (D.)	827		
Mbaye (A. A.) and Aymerich (F.). — Band structure calculations in N-ary alloys	1085		
Meunier (C.). — Voir Barbe (A.)	1015		
Michaud (P.). — Voir Mariot (J. P.)	1377		
Minier (M.). — Voir Devreux (F.)	33		

Pincus (P.). — Voir Di Meglio (J. M.)	1035	Souletie (J.). — Hysteresis and after-effects in massive substances. From spin-glasses to the sand hill	1095
Pique (J. P.), Bais (R.), Hartmann (F.), Sadeghi (N.) and Churassy (S.). — Hyperfine predissociation in the B state of iodine investigated through lifetime measurements of individual hyperfine sublevels	347	Souletie (J.). — Voir Omari (R.)	1069
Plindov (G. I.). — Voir Dmitrieva (I. K.)	333	Sourisseau (C.), Lucazeau (G.) and Dianoux (A. J.). — Neutron scattering study of the reorientational motions for NH_3 groups in $(\text{NH}_3(\text{CH}_2)_3\text{NH}_3)\text{MnCl}_4$	967
Poenaru (D. N.) and Ivascu (M.). — Estimation of the alpha decay half-lives	791	Stern (C.) et Grésillon (D.). — Fluctuations de densité dans la turbulence d'un jet. Observation par diffusion Rayleigh et détection hétérodyne	1325
Poinsignon (C.). — Voir Bée (M.)	215	Strzelecki (L.). — Voir Pansu (B.)	531
Popplewell (J.). — Voir Cebula (D. J.)	207	Subramanya Raj Urs (N.). — Voir Kalkura (A. N.)	51
Porteseil (J. L.). — Voir Molho (P.)	871	Świetlik (R.) and Graja (A.). — Temperature study of infrared reflection spectra on various faces of $\text{MTPP}(\text{TCNQ})_2$ single crystals	617
Potvin (L.). — Voir Bricault (P.)	461		
Pouget (J. P.). — Voir Tomić (S.)	375		
Pouyet (G.). — Voir Gallot (Z.)	247		
Pradel (P.) and Laucagne (J. J.). — Chemi-ionization reactions involving metastable helium atoms at high energy	1263		
Prejean (J. J.). — Voir Omari (R.)	1069		
Prost (J.). — Voir Gohin (A.)	427		
Pusey (P. N.) and Van Megen (W.). — Measurement of the short-time self-mobility of particles in concentrated suspension. Evidence for many-particle hydrodynamic interactions	285		
		Taupin (C.). — Voir Di Meglio (J. M.)	1035
Randhawa (B. S.). — Voir Brar (A. S.)	1345	Teisseron (G.). — Voir Peretto (P.)	109
Reynaud (S.). — Voir Dalibard (J.)	1337	Teixeira (J.). — Voir Conde (O.)	525
Rigaux (C.). — Voir Mycielski (J.)	1041	Thève (M. L.). — Voir Chahed (L.)	387
Rious (C.). — Voir Bricault (P.)	461	Thomas (F.). — Voir Benoit (J. P.)	841
Rivière (J. P.). — Voir Guillot (J. P.)	651	Tomić (S.), Pouget (J. P.), Jérôme (D.), Bechgaard (K.) and Williams (J. M.). — Influence of disorder on the metal insulator phase transition in Di-(Tetramethyltetraselenafulvalene)-ium perbromate, $(\text{TMTSF})_2\text{BrO}_4$	375
Rolland (M.). — Voir Benoit (C.)	1307	Torres (J.). — Voir Roucau (C.)	141
Rosenblatt (C.) and Ho (J. T.). — Magnetic birefringence determination of the tilt susceptibility above a smectic A-smectic F phase transition in nonyloxybenzylidene butylaniline	383	Tough (R. J. A.) and Bradshaw (M. J.). — The determination of the order parameters of nematic liquid crystals by mean field extrapolation	447
Rosset (R.). — Voir Beauvils (J. P.)	497	Trautwein (A. X.). — Voir Mariot (J. P.)	1377
Rossi (A.). — Voir Lafon (A.)	505	Tsankov (L. T.). — Voir Ognjanov (N. I.)	865
Roucau (C.), Torres (J.) et Ayroles (R.). — Etude par microscopie électronique de la structure des parois de domaines dans la phase ferroélastique du phosphate de plomb	141	Tsankov (L. T.). — Voir Ognjanov (N. I.)	859
Roulet (B.). — Voir Caroli (B.)	945		
Rousseau-Violet (J.). — Voir Boudeville (Y.)	433	Ungur (D.). — Voir Burzo (E.)	647
Roy (R.). — Voir Bricault (P.)	461		
Rüppel (D.) and Sackmann (E.). — On defects in different phases of two-dimensional lipid bilayers	1025		
		Vajda (P.), Daou (J. N.) and Moser (P.). — Hydrogen relaxation in lutetium	543
Sackmann (E.). — Voir Rüppel (D.)	1025	Valognes (J. C.). — Voir Bardet (J. P.)	797
Sadeghi (N.). — Voir Pique (J. P.)	347	Van Der Rest (J.) and Pecheur (P.). — Tight-binding calculation of orbital relaxations and hopping integral modifications around vacancies and antisite defects in GaAs	1297
Sadeghi (N.). — Voir Dreiling (T. D.)	1007	Van Houtte (D.). — Voir Bliman (S.)	467
Saint Jalm (J. M.). — Voir Bendali (N.)	1019	Van Megen (W.). — Voir Pusey (P. N.)	285
Saint-James (D.). — Voir Aslangul (C.)	953	Van Sprang (H. A.). — Surface-induced order in a layer of nematic liquid crystal	421
Saint-James (D.). — Voir Aslangul (C.)	359	Vapirev (E. I.), Kamenov (P. S.), Balabanski (D. L.), Ormandjiev (S. I.) and Yanakiev (K.). — A coincidence Mössbauer experiment with $^{119\text{m}}\text{Sn}$	675
Sanchez (C.). — Voir Gaillard (B.)	691	Varret (F.). — Voir Mariot (J. P.)	1377
Satyendra Kumar. — Positional order in the smectic-G, -F, and -C layers of HBHA	123	Vialie (J. L.). — Voir Bendali (N.)	1019
Sauvajol (J. L.). — Voir Amoureux (J. P.)	513	Vidal (C.). — Voir Lafon (A.)	505
Schmitt (A.). — Voir Gallot (Z.)	247	Vigué (J.), Beswick (J. A.) and Broyer (M.). — Coherence effects in the polarization of the light emitted by photo-fragments	1228
Schön (W.). — Voir Doussineau (P.)	101	Vilfan (M.), Blinc (R.), Dolinšek (J.), Ipavec (M.), Lahajnar (G.) and Žumer (S.). — Dispersion of proton spin-lattice relaxation in a cholesteric liquid crystal	1179
Schön (W.). — Voir Doussineau (P.)	397	Villain (J. P.). — Voir Beauchamp (P.)	1117
Schosseler (F.). — Voir Croquette (V.)	293		
Schulz (H.-J.). — Voir Herrig (L.)	1317		
Seliger (J.), Žagar (V.), Blinc (R.) and Shuvalov (L. A.). — ^{87}Rb and ^{85}Rb NQR study of phase transitions in $\text{RbH}_3(\text{SeO}_3)_2$	521	Wacrenier (J. M.). — Voir Druon (C.)	1195
Shashidhar (R.). — Voir Kalkura (A. N.)	51	Weisbuch (G.) et Guéron (M.). — Une longueur d'échelle pour les interfaces chargées	251
Shuvalov (L. A.). — Voir Seliger (J.)	521	Williams (J. M.). — Voir Tomić (S.)	375
Sliwiński (A.). — Voir Witkowska-Borysewicz (M.)	411	Witkowska-Borysewicz (M.) and Sliwiński (A.). — Optically detected variations of nematic liquid crystal orientation induced by ultrasound	411
Slobodrian (R. J.). — Voir Bricault (P.)	461	Wojakowski (A.). — Voir Baptist (R.)	241

Woźniak (S.), Linder (B.) and Zawodny (R.). — Role of molecular symmetry and molecular interactions in the Faraday effect of fluids	403
Yanakiiev (K.). — Voir Vapirev (E. I.)	675
Yang (K. H.). — Weak boundary storage liquid crystal displays	1051
Yvinec (M.) and Pick (R. M.). — Orientational disorder in plastic molecular crystals. III. — Infrared and Raman spectroscopy of internal modes	169
Žagar (V.). — Voir Seliger (J.)	521
Zawodny (R.). — Voir Woźniak (S.)	403
Žumer (S.). — Voir Vilfan (M.)	1179
Zuniga (I.). — Voir Barratt (P. J.)	311
Zuppiroli (L.). — Voir Boileau (F.)	1157

JOURNAL DE PHYSIQUE - LETTRES

Tome 44 — 1983

Ablart (G.). — Voir Poertadji (S.)	L-561	Beens (W. W.) and De Jeu (W. H.). — Flow-alignment and the sign of k_2 in nematic liquid crystals	L-805
Adair III (T. W.). — Voir Pastora (J. B.)	L-859	Bellessa (G.). — Effect of the hydrogen tunnelling states on the acoustic wave propagation in niobium at low temperatures	L-387
Almairac (R.). — Voir Barthès-Régis (M.)	L-829	Benoit à la Guillaume (C.). — Binding to a pair of marginal potentials : a test for the stability of N^- in GaP	L-53
Alquié (C.), Lewiner (J.) and Dreyfus (G.). — Analysis of laser induced acoustic pulse probing of charge distributions in dielectrics	L-171	Berard (M.), Cebe (J.-P.), Giraud (M.) and Lallemant (P.). — Study of oxygen-rare gas collisions by depolarized Raman scattering	L-507
Alquié (G.). — Voir Huguet (P.)	L-393	Berge (P.). — Voir Malraison (B.)	L-897
Allain (C.) et Jauhier (B.). — Simulation cinétique du phénomène d'agrégation	L-421	Bernard (L.). — Voir Durand (D.)	L-207
Alzetta (G.) and Battaglia (A.). — Multiphoton transitions in gases at microwave frequencies	L-755	Berret (J. F.), Pelous (J.) and Vacher (R.). — Acoustic phonon absorption and dispersion in hydroxyl-doped KCl crystals at low temperatures	L-433
Ambari (A.), Gauthier Manuel (B.) and Guyon (E.). — Effect of a plane wall on a sphere moving parallel to it	L-143	Berthier (C.). — Voir Chabre (Y.)	L-619
Ankrum (M.). — Voir Munch (J. P.)	L-73	Bessis (D.), Geronimo (J. S.) and Moussa (P.). — Complex spectral dimensionality on fractal structures	L-977
Appell (J.) and Porte (G.). — Cloud points in ionic surfactant solutions	L-689	Beysens (D.), Paladin (G.) and Bourgo (A.). — Dynamic corrections to transport coefficients of critical binary fluids	L-649
Arteca (G. A.). — Voir Stradella (O.)	L-741	Bibring (J.-P.), Cottet (F.), Hallouin (M.), Langevin (Y.) et Romain (J.-P.). — Simulation laser d'impacts de particules de très grande vitesse	L-189
Arvanitis (D.). — Voir Fert (A.)	L-345	Bideau (D.), Troadec (J. P.) et Oger (L.). — Percolation site-lien dans les empilements 2D	L-279
Arzoumanian (C.), De Goër (A. M.), Salce (B.) and Holtzberg (F.). — A study of the insulating spin-glass $\text{Eu}_{0.44}\text{Sr}_{0.56}\text{S}$ by low temperature thermal conductivity measurements	L-39	Binet (G.), Husson (X.) et Grandin (J. P.). — Structure hyperfine des niveaux $7p(3/2)_2$ et $7p(5/2)_2$ de ^{129}Xe et ^{131}Xe	L-151
Atten (P.). — Voir Malraison (B.)	L-897	Biraben (F.). — Voir Chardonnet (C.)	L-517
Aubry (S.). — Complete devil's staircase in the one-dimensional lattice gas	L-247	Bjeliš (A.). — Voir Barišić (S.)	L-327
Audiffren (M.). — Voir Bardon (J.)	L-883	Blanchin (M. G.). — Voir Bursill (L. A.)	L-165
Averbuch (P.). — Voir Laviron (M.)	L-1021	Bonhomme (G.). — Voir Pierre (T.)	L-629
Ayroles (R.). — Voir Wang (Z. Z.)	L-311	Bontemps (N.), Rajchenbach (J.) and Orbach (R.). — Time dependent critical field transition line in an insulating spin-glass	L-47
Bachet (G.). — Experimental observation of the inter-collisional interference effect on the S_1 pure rotation line of the collision induced spectra of the H_2 -He mixture	L-183	Bontemps (N.). — Voir Rajchenbach (J.)	L-799
Bacri (J.-C.) and Salin (D.). — Dynamics of the shape transition of a magnetic ferrofluid drop	L-415	Bordé (Ch. J.), Sharma (J.), Tournenc (Ph.) and Dammour (Th.). — Theoretical approaches to laser spectroscopy in the presence of gravitational fields	L-983
Bardon (J.) and Audiffren (M.). — Medium range interaction between neutral metal atoms and a metallic surface (Ta/W)	L-883	Borensztein (Y.). — Voir Lopez-Rios (T.)	L-99
Barišić (S.) and Bjeliš (A.). — Van der Waals interactions in the lattice of metallic chains	L-327	Botineau (J.). — Voir Saissy (A.)	L-1035
Barranco (M.). — Voir Pi (M.)	L-685	Bouffard (S.), Ribault (M.), Jérôme (D.) and Bechgaard (K.). — Shubnikov-de Haas oscillations in an organic conductor tetramethyltetraselenafulvalene-2,5-dimethyl-7,7',8,8' tetracyanoquinodimethane (TMTSF-DMTCNQ)	L-285
Barrat (J. P.). — Voir Hamel (J.)	L-991	Bougon (R.). — Voir Le Bail (H.)	L-1017
Barthès-Régis (M.), Almairac (R.), St-Grégoire (P.), Filippini (C.), Steigenberger (U.), Nouet (J.) and Gesland (Y.). — Temperature dependence of the wave vector of the incommensurate modulation in two BaMnF_4 crystals grown by different techniques; neutron and X-ray measurements	L-829	Bourgo (A.). — Voir Beysens (D.)	L-649
Bartolino (R.) and Durand (G.). — Rheological behaviour of a smetic A liquid crystal under layer compression	L-79	Bourret (A.), Colliex (C.) and Trebbia (P.). — Oxygen segregation on a dislocation core in germanium studied by electron energy loss spectroscopy	L-33
Batallan (F.). — Voir Simon (Ch.)	L-641	Brand (H.) and Swift (J.). — Macroscopic dynamics in nematics near the uniaxial-biaxial phase transition	L-333
Battaglia (A.). — Voir Alzetta (G.)	L-755	Brand (H.). — Voir Pleiner (H.)	L-23
Bechgaard (K.). — Voir Bouffard (S.)	L-285		
Bechgaard (K.). — Voir Ribault (M.)	L-953		
Beck (C.). — Voir Freeman (R. M.)	L-429		

- Brand (H. R.), Cladis (P. E.) and Finn (P. L.). — The first bilayer ferroelectric liquid crystal L-771
- Brochard (F.), Jouffroy (J.) et Levinson (P.). — Diffusion mutuelle de chaînes polymères courtes dans un système de chaînes longues L-455
- Brochard (F.) and De Gennes (P. G.). — Phase transitions of binary mixtures in random media L-785
- Bruyère (J. C.). — Voir Hamdi (H.) L-265
- Burkov (S. E.). — One-dimensional lattice gas and the universality of the Devil's staircase. L-179
- Bursill (L. A.) and Blanchin (M. G.). — Structure of cation interstitial defects in nonstoichiometric rutile L-165
- Cabos (C.). — Etude du contre-ion et de l'électrolyte solubilisé sur des micelles ioniques. L-997
- Cabrera-Cano (J.). — Voir Jimenez-Melendo (M.) L-339
- Campbell (I. A.). — Voir Creuzet (G.) L-547
- Candau (S.). — Munch (J. P.) L-73
- Capitelli (M.), Gorse (C.) and Ricard (A.). — Time scale considerations on the relaxation of electronic and vibrational energy distributions in a nitrogen afterglow L-251
- Casagrande (C.). — Voir Martinoty (P.) L-935
- Castaing (B.). — Voir Puech (L.) L-159
- Castaing (J.). — Voir Jimenez-Melendo (M.) L-339
- Castaing (B.) and Papoular (M.). — Kapitza resistance at the $\text{He}/\text{liquid He}$ interface L-537
- Castet-Mejean (L.). — Polarisation spontanée et interactions entre orbitales de Bloch au changement de phase para-ferroélectrique de BaTiO_3 et KNbO_3 L-877
- Castro (E. A.). — Voir Stradella (O.) L-741
- Cazabat (A. M.). — Water in oil microemulsions : criteria for dilution at constant droplet size L-593
- Cazabat (A. M.). — Voir Guering (P.) L-601
- Cebe (J.-P.). — Voir Berard (M.) L-507
- Chabre (Y.), Berthier (C.) and Segransan (P.). — Lattice gas ordering and associated charge density modulation observed by ^{77}Se NMR in the intercalated layered compound $\text{Li}_{0.5}\text{ZrSe}_2$ L-619
- Chachaty (C.). — Voir Le Bail (H.) L-1017
- Chamberod (A.). — Voir Du Tremolet de Lacheisserie (E.) L-1013
- Chardonnet (C.), Penent (F.), Delande (D.), Biraben (F.) and Gay (J. C.). — Low field linear Stark effect on quasi-hydrogenic caesium series L-517
- Chartier (G.). — Voir Reinisch (R.) L-1007
- Chaussy (J.). — Voir Pannetier (B.) L-853
- Cheik-Rouhou (A.). — Voir Poertadji (S.) L-561
- Cheikhrouhou (A.), Dupas (C.) and Renard (J. P.). — Spin glass-like behaviour in the 1D mixed compound $\text{CHAC} : \text{Mn}$ L-777
- Chevalier (B.). — Voir Genicon (J. L.) L-725
- Chomette (A.). — Voir Picoli (G.) L-85
- Chung (D. D. L.). — Voir Ghosh (D.) L-761
- Cladis (P. E.). — Voir Brand (H. R.) L-771
- Clauss (G.). — Voir Reinisch (R.) L-1007
- Clavin (P.) and Joulin (G.). — Premixed flames in large scale and high intensity turbulent flow L-1
- Clément (S.). — Voir Poertadji (S.) L-561
- Colliex (C.). — Voir Bourret (A.) L-33
- Cottet (F.). — Voir Bibring (J.-P.) L-189
- Cottet (F.) et Romain (J.-P.). — Influence des conditions initiales sur l'évolution d'une onde de choc induite par impulsion laser L-235
- Creuzet (G.), Campbell (I. A.) and Smith (J. L.). — Thermal expansion and spin density fluctuations in $\text{TiBe}_{2-x}\text{Cu}_x$ itinerant ferromagnets L-547
- Cribier (S.). — Voir Grynberg (G.) L-449
- Cros (A.). — Voir Humbert (A.) L-929
- Curat (R.). — Voir Durand (D.) L-207
- Cussenot (J. R.). — Voir Pierre (T.) L-629
- Damour (Th.). — Voir Bordé (Ch. J.) L-983
- Daoud (M.). — Spectral dimension and conductivity exponent of the percolating cluster L-925
- Davidson (P.), Levelut (A. M.), Strzelecka (H.) and Gionis (V.). — Nature of the mesophase of a conducting charge transfer complex : neither discotic nor calamitic L-823
- De Gennes (P. G.). — Reptation d'une chaîne hétérogène L-225
- De Gennes (P. G.) and Pincus (P.). — Scaling theory of polymer adsorption : proximal exponent L-241
- De Gennes (P. G.) and Hervet (H.). — Statistics of « starburst » polymers L-351
- De Gennes (P. G.). — « Pincements » de Skoulios et structures incommensurables L-657
- De Gennes (P. G.). — Voir Brochard (F.) L-785
- De Goër (A. M.). — Voir Arzummanian (C.) L-39
- De Jeu (W. H.). — Voir Been (W. W.) L-805
- Delande (D.). — Voir Chardonnet (C.) L-517
- Delichere (A.). — Voir Marignan (J.) L-609
- Deneuville (A.). — Voir Hamdi (H.) L-265
- Denis (A.). — Voir Ouerdane (Y.) L-871
- Denoyer (F.). — Voir Durand (D.) L-207
- De Oliveira (P. M. C.). — Directed percolation in two dimensions : renormalization group approach L-495
- Derrida (B.), Stauffer (D.), Herrmann (H. J.) and Vannimenus (J.). — Transfer matrix calculation of conductivity in three-dimensional random resistor networks at percolation threshold L-701
- Désesquelles (J.). — Voir Ouerdane (Y.) L-871
- Deveaud (B.). — Voir Picoli (G.) L-85
- Di Meglio (J. M.), Dvolaitzky (M.), Ober (R.) and Tappin (C.). — Defects and curvatures of the interfaces in the « birefringent microemulsions » L-229
- Dominguez-Rodriguez (A.). — Voir Jimenez-Melendo (M.) L-339
- Doualan (J. L.), Margerie (J.), Martin-Brunetière (F.) and Rzepka (E.). — Magnetic circular dichroism of colour centres in $\text{CaF}_2 : \text{Na}$ L-375
- Dozov (I.), Martinot-Lagarde (Ph.) and Durand (G.). — Conformational flexoelectricity in nematic liquid crystals L-817
- Dreyfus (G.). — Voir Alquié (C.) L-171
- Drifford (M.). — Voir Turq (P.) L-471
- Drouhin (H.-J.), Herrmann (C.), Eminyan (M.) and Lampel (G.). — Photoelectron energy distribution and spin polarization from activated gallium arsenide L-1027
- Dubault (A.). — Voir Martinoty (P.) L-935
- Dubois (M.). — Voir Malraison (B.) L-897
- Dunlop (A.). — Voir Gély (M.-H.) L-219
- Dupas (C.). — Voir Cheikhrouhou (A.) L-777
- Dupont-Roc (J.). — Voir Himbert (M.) L-523
- Durand (D.), Denoyer (F.), Lefur (D.), Curat (R.) and Bernard (L.). — Neutron diffraction study of sodium nitrite in an applied electric field L-207
- Durand (G.). — Voir Bartolino (R.) L-79
- Durand (G.). — Voir Santos (M. B. L.) L-195
- Durand (G.). — Voir Petrov (A. G.) L-793
- Durand (G.). — Voir Dozov (I.) L-817
- Du Tremolet de Lacheisserie (E.) and Chamberod (A.). — Magnetostriction of an amorphous $(\text{Fe}_{82}\text{B}_{18})_{0.9}\text{La}_{0.5}\text{Tb}_{0.5}$ L-1013
- Dvolaitzky (M.). — Voir Di Meglio (J. M.) L-229
- Efetov (K. B.). — High magnetoresistivity of a system of weakly coupled superconducting chains L-369
- Eloy (J. F.). — Voir Reinisch (R.) L-1007
- Eminyan (M.). — Voir Drouhin (H.-J.) L-1027
- Etourneau (J.). — Voir Genicon (J. L.) L-725
- Fanelli (E.). — Voir Guillon (D.) L-491
- Feigel'man (M. V.). — Voir Ioffe (L. B.) L-971
- Fernández (P. M.). — Voir Stradella (O.) L-741
- Fert (A.), Senoussi (S.) and Arvanitis (D.). — How to change or remove the anisotropy of spin glasses with some other reflections on the anisotropy problem L-345

Filippini (C.). — Voir Barths-Régis (M.)	L-829	Holtzberg (F.). — Voir Arzoumanian (C.)	L-39
Finn (P. L.). — Voir Brand (H. R.)	L-771	Horiuchi (S.). — Voir Tanaka (J.)	L-129
Freeman (R. M.), Haas (F.), Beck (C.) and Niemeskern (A.). — Low lying yrast states of ^{32}S	L-429	Huguet (P.), Alquié (G.), Potel (M.) and Sergent (M.). — ESR in the two phases of the magnetic semiconductor GaCr_4S_8	L-393
Frossati (G.). — Voir Godfrin (H.)	L-625	Humbert (P.) and Mosser (A.). — Oxygen and sulphur influence upon segregation at a nickel-chromium alloy surface	L-531
Galaup (J. P.). — Voir Reinisch (R.)	L-1007	Humbert (A.) and Cros (A.). — Reflectivity and electronic structures of Ni silicides	L-929
Galerie (Y.). — Tilt susceptibility and bare correlation length at a smectic-A-smectic-C phase transtion	L-461	Hunnisset (S. D.) and Van der Sluijs (J. C. A.). — Ultrasonic shear and capillary viscosity study of 4-cyano-4'-n-heptylbiphenyl in the nematic and the isotropic state	L-59
Gauthier Manuel (B.). — Voir Ambari (A.)	L-143	Husson (X.). — Voir Binet (G.)	L-151
Gay (J. C.). — Voir Chardonnet (C.)	L-517	Hutley (M. C.). — Voir Reinisch (R.)	L-1007
Gély (M.-H.), Dunlop (A.) and Quéré (Y.). — An ephemeral Frenkel pair in iridium	L-219	Ioffe (L. B.) and Feigel'man (M. V.). — Low-temperature state of Ising spin glass	L-971
Genicon (J. L.), Sulpice (A.), Tournier (R.), Chevalier (B.) and Etouneau (J.). — Ferromagnetism and superconductivity down to 0 K in b.c.t. ErRh_4B_4	L-725	Itswere (E. C.) and Van Atta (C. W.). — The effect of different similitary transformations on ensemble mean particle paths in turbulent spots	L-917
Geronimo (J. S.). — Voir Bessis (D.)	L-977	Jain (S. C.) and Wahl (J.). — DSC and microscopic investigations on HOBACPC	L-201
Gesland (Y.). — Voir Barths-Régis (M.)	L-829	Jamet (J. P.) and Lederer (P.). — Observation of a new memory effect in a modulated structure	L-257
Ghosh (D.) and Chung (D. D. L.). — Synchrotron X-ray diffraction study of the room temperature incommensurate phase in graphite-bromine intercalation compound	L-761	Jérome (D.). — Voir Bouffard (S.)	L-285
Gionis (V.). — Voir Davidson (P.)	L-823	Jérome (D.). — Voir Ribault (M.)	L-953
Giraud (M.). — Voir Berard (M.)	L-507	Jérome (R.), Vlaic (G.) and Williams (C. E.). — EXAFS evidence for local order in ionic aggregates of halatelecheic polymers	L-717
Godfrin (H.), Frossati (G.), Greenberg (A. S.), Hébral (B.) and Thoulouze (D.). — The Curie-Weiss constant of solid ^3He on the melting curve at high magnetic fields	L-625	Jimenez-Melendo (M.), Cabrera-Cano (J.), Dominguez-Rodriguez (A.) and Castaing (J.). — Pure diffusional creep of NiO polycrystals	L-339
Godfrin (H.). — Voir Laviron (M.)	L-1021	Jouffroy (J.). — Voir Brochard (F.)	L-455
Goltsev (A. V.). — Stability of the Parisi solution for Heisenberg spin glasses	L-697	Jouhier (B.). — Voir Allain (C.)	L-421
Golub (R.). — New application of the superthermal Ultra-Cold Neutron source. I — The search for the neutron electric dipole moment	L-321	Joulin (G.). — Voir Clavin (P.)	L-1
Gorse (C.). — Voir Capitelli (M.)	L-251	Kagoshima (S.). — Voir Pouget (J. P.)	L-113
Grandin (J. P.). — Voir Binet (G.)	L-151	Kléman (M.). — Dual properties of conjugate disclination segment networks in amorphous materials	L-295
Greenberg (A. S.). — Voir Godfrin (H.)	L-625	Korneta (W.) and Pytel (Z.). — Diffusion coefficients of fluctuations in semi-infinite ferromagnets	L-811
Grynberg (G.) and Cribier (S.). — Critical exponents in dispersive optical bistability	L-449	Kunz (H.) and Souillard (B.). — The localization transition on the Bethe lattice	L-411
Guazzelli (E.). — Voir Occelli (R.)	L-567	Kunz (H.) and Souillard (B.). — On the upper critical dimension and the critical exponents of the localization transition	L-503
Guazzelli (E.), Guyon (E.) and Souillard (B.). — On the localization of shallow water waves by a random bottom	L-837	Lallemand (P.). — Voir Berard (M.)	L-507
Guemas (L.). — Voir Wang (Z. Z.)	L-311	Laloë (F.). — Voir Himbert (M.)	L-523
Guemas (L.). — Voir Moret (R.)	L-93	Lambert (B.). — Voir Picoli (G.)	L-85
Guering (P.) and Cazabat (A. M.). — Water in oil micro-emulsions : transient electric birefringence response	L-601	Lampel (G.). — Voir Drouhin (H.-J.)	L-1027
Guillon (D.), Poeti (G.), Skoulios (A.) and Fanelli (E.). — Incompatibility of the constituent parts of smectogenic molecules	L-491	Langevin (Y.). — Voir Bibring (J.-P.)	L-189
Guyon (E.). — Voir Ambari (A.)	L-143	Lanotte (L.). — Tensile stress effect on magnetic properties of cw-laser annealed amorphous $\text{Fe}_{40}\text{Ni}_{40}\text{P}_{14}\text{B}_6$ ribbons	L-541
Guyon (E.). — Voir Guazzelli (E.)	L-837	Larché (F. C.). — Voir Marignan (J.)	L-609
Haas (F.). — Voir Freeman (R. M.)	L-429	Lauter (H.). — Voir Simon (Ch.)	L-641
Hallouin (M.). — Voir Bibring (J.-P.)	L-189	Laviron (M.), Averbuch (P.), Godfrin (H.) and Rapp (R. E.). — One and two-dimensional quantum localization in GaAs wires of rectangular cross-sections	L-1021
Hamdi (H.), Deneuille (A.) and Bruyère (J. C.). — A physicochemical interpretation of the photoconductivity of a-Si : H	L-265	Layec (Y.) and Layec-Raphalen (M.-N.). — Instability of dilute poly (ethylene-oxide) solutions	L-121
Hamel (J.) et Barrat (J. P.). — Résonance magnétique dans un laser à gaz : observation à l'aide de la modulation haute fréquence du faisceau laser	L-991	Layec-Raphalen (M.-N.). — Voir Layec (Y.)	L-121
Hasse (R. W.). — Voir Treiner (J.)	L-733	Le Bail (H.), Chachaty (C.), Rigny (P.) and Bougon (R.). — Observation of the uranium 235 nuclear magnetic resonance signal	L-1017
Hayoun (M.). — Voir Turq (P.)	L-471	Leclert (G.). — Voir Pierre (T.)	L-629
Hébral (B.). — Voir Puech (L.)	L-159	Lederer (P.). — Voir Jamet (J. P.)	L-257
Hébral (B.). — Voir Godfrin (H.)	L-625	Leduc (M.). — Voir Himbert (M.)	L-523
Herrmann (H. J.). — Voir Derrida (B.)	L-701	Lefevre-Seguin (V.). — Voir Himbert (M.)	L-523
Herrmann (C.). — Voir Drouhin (H.-J.)	L-1027		
Hervet (H.). — Voir De Gennes (P. G.)	L-351		
Hild (G.). — Voir Munch (J. P.)	L-73		
Himbert (M.), Lefevre-Seguin (V.), Nacher (P. J.), Dupont-Roc (J.), Leduc (M.) and Laloë (F.). — Nuclear polarization trough optical pumping of gaseous ^3He below 1 K	L-523		

- Lefur (D.). — Voir Durand (D.) L-207
- Levelut (A. M.). — Voir Davidson (P.) L-823
- Levinson (P.). — Voir Brochard (F.) L-455
- Levy (F.). — Voir Wang (Z. Z.) L-311
- Lewiner (J.). — Voir Alquié (C.) L-171
- Lopez (A.). — Voir Proetto (C.) L-635
- Lopez-Rios (T.), Borenstein (Y.) and Vuye (G.). — Roughening of a smooth cold Ag surface by Ag overlayers studied by differential reflectivity L-99
- Love (D. P.). — Voir Pastora (J. B.) L-859
- Lubensky (T. C.). — Voir Rammal (R.) L-65
- Maissa (P.). — Voir Ten Bosch (A.) L-105
- Mallet (G.). — Application of the sum-peak and coincidence spectrometer to the determination of the absolute efficiency L-147
- Malraison (B.), Atten (P.), Berge (P.) and Dubois (M.). — Dimension of strange attractors : an experimental determination for the chaotic regime of two convective systems L-897
- Manneville (P.). — Towards an understanding of weak turbulence close to the convection threshold in large aspect ratio systems L-903
- Marcus (J.). — Voir Pouget (J. P.) L-113
- Maret (M.). — Voir Yavari (A. R.) L-553
- Marfaing (J.). — Voir Marine (W.) L-271
- Margerie (J.). — Voir Doualan (J. L.) L-375
- Marignan (J.), Delichere (A.) and Larché (F. C.). — Structure of the lamellar and L_2 phases in the system sodium n-octylbenzene sulfonate/n-pentanol/water L-609
- Marine (W.), Marfaing (J.) and Salvan (F.). — Transient gratings on a-GaAs under laser annealing conditions L-271
- Martin-Brunetière (F.). — Voir Doualan (J. L.) L-375
- Martinot-Lagarde (Ph.). — Voir Dozov (I.) L-817
- Martiny (P.), Dubaut (A.), Casagrande (C.) and Veyssié (M.). — Flexible polymers in a nematic medium : ultrasonic measurements L-935
- Meerschaut (A.). — Voir Moret (R.) L-93
- Meerschaut (A.). — Voir Wang (Z. Z.) L-311
- Mitescu (C. D.) and Musolf (M. J.). — Critical exponent for 3-D percolation conductivity, revisited L-679
- Monceau (P.). — Voir Wang (Z. Z.) L-311
- Moret (R.), Pouget (J. P.), Meerschaut (A.) and Guemas (L.). — Observation of new X-ray diffuse scattering features in $\text{FeNb}_3\text{Se}_{10}$ L-93
- Mosser (A.). — Voir Humbert (P.) L-531
- Moussa (P.). — Voir Bessis (D.) L-977
- Munch (J. P.), Ankrim (M.), Hild (G.) and Candau (S.). — Dynamic light scattering study of the radical copolymerization of styrene-meta divinylbenzene L-73
- Musolf (M. J.). — Voir Mitescu (C. D.) L-679
- Nacher (P. J.). — Voir Himbert (M.) L-523
- Nava (R.). — Voir Saint Paul (M.) L-613
- Neviere (M.). — Voir Reinisch (R.) L-1007
- Ngô (C.). — Voir Pi (M.) L-685
- Ngô (H.). — Voir Pi (M.) L-685
- Niemeskern (A.). — Voir Freeman (R. M.) L-429
- Nouet (J.). — Voir Barthès-Régis (M.) L-829
- Nozaki (H.). — Voir Tanaka (J.) L-129
- Ober (R.). — Voir Di Meglio (J. M.) L-229
- Occelli (R.), Guazzelli (E.) and Pantaloni (J.). — Order in convective structures L-567
- Oger (L.). — Voir Bideau (D.) L-279
- Orbach (R.). — Voir Bontemps (N.) L-47
- Orland (H.). — A static interpretation of the order-parameters in spin-glasses L-673
- Ostrowsky (D.). — Voir Saissy (A.) L-1035
- Oswald (P.). — Anomalies de l'écoulement laminaire d'un smectique A autour d'un obstacle cylindrique L-303
- Ouerdane (Y.), Denis (A.) and Désesquelles (J.). — Tensor polarizability measurement by a quantum beat method L-871
- Paladin (G.) and Vulpiani (A.). — Random walk on a two-dimensional random environment L-443
- Paladin (G.). — Voir Beysens (D.) L-649
- Pannetier (B.), Chaussy (J.) and Rammal (R.). — Experimental determination of the (H, T) phase diagram of a superconducting network L-853
- Pantaloni (J.). — Voir Occelli (R.) L-567
- Papoular (M.). — Voir Castaing (B.) L-537
- Parisi (G.). — Some remarks on the connection between replicas and dynamics L-581
- Pastora (J. B.), Adair III (T. W.) and Love (D. P.). — Anisotropy dynamics of CuMn spin glass through torque measurements L-859
- Pelous (J.). — Voir Berret (J. F.) L-433
- Penet (F.). — Voir Chardonnet (C.) L-517
- Perera (A.). — Voir Turq (P.) L-471
- Pescia (J.). — Voir Poertadji (S.) L-561
- Petrov (A. G.) and Durand (G.). — Thermal instability in lamellar phases of lecithin : a planar undulation model L-793
- Pi (M.), Barranco (M.), Vinãs (X.), Ngô (C.), Tomasi (E.) and Ngô (H.). — Remarks on the proximity scaling applied to heavy ion interaction potentials L-685
- Picoli (G.), Deveaud (B.), Lambert (B.) and Chomette (A.). — Vibronic coupling at a chromium ion in a trigonal field in GaAs L-85
- Pierre (T.), Bonhomme (G.), Cussenot (J. R.) and Leclert (G.). — Experimental study of electron trapping in an ion acoustic soliton L-629
- Pincus (P.). — Voir De Gennes (P. G.) L-241
- Pleiner (H.) and Brand (H.). — Light scattering in nematic liquid crystals in the presence of shear flow L-23
- Poertadji (S.), Ablart (G.), Pescia (J.), Clément (S.) and Cheik-Rouhou (A.). — ESR in a 1D-system with a ferromagnetic coupling L-561
- Poeti (G.). — Voir Guillon (D.) L-491
- Pokrovsky (V. L.). — Voir Uimin (G. V.) L-865
- Pomeau (Y.) and Zaleski (S.). — Pattern selection in a slowly varying environment L-135
- Pomeau (Y.). — Thermal fluctuations of the contact line... L-585
- Porte (G.). — Voir Appell (J.) L-689
- Potel (M.). — Voir Huguet (P.) L-393
- Pouget (J. P.), Kagoshima (S.), Schlenker (C.) and Marcus (J.). — Evidence for a Peierls transition in the blue bronzes $\text{K}_{0.30}\text{MoO}_3$ and $\text{Rb}_{0.30}\text{MoO}_3$ L-113
- Pouget (J. P.). — Voir Moret (R.) L-93
- Prigodin (V. N.). — Voir Seidel (Chr.) L-403
- Proetto (C.) and Lopez (A.). — Absence of spontaneous magnetization in low-dimensional Anderson and Kondo lattices L-635
- Puech (L.), Hebral (B.), Thoulouze (D.) and Castaing (B.). — Observation of critical slowing down close to a roughening transition L-159
- Pytel (Z.). — Voir Korneta (W.) L-811
- Quéré (Y.). — Voir Gély (M.-H.) L-219
- Rajchenbach (J.). — Voir Bontemps (N.) L-47
- Rajchenbach (J.) and Bontemps (N.). — Change of concavity of the field temperature transition lines at short times in the $\text{Eu}_{0.4}\text{Sr}_{0.6}\text{S}$ spin glass L-799
- Rammal (R.) and Toulouse (G.). — Random walks on fractal structures and percolation clusters L-13
- Rammal (R.), Lubensky (T. C.) and Toulouse (G.). — Superconducting diamagnetism near the percolation threshold L-65
- Rammal (R.). — Voir Pannetier (B.) L-853
- Rapp (R. E.). — Voir Laviron (M.) L-1021
- Reinisch (R.), Chartier (G.), Nevier (M.), Hutley (M. C.), Clauss (G.), Galaup (J. P.) and Eloy (J. F.). — Expe-

- riment of diffraction on nonlinear optic : second harmonic generation by a nonlinear grating..... L-1007
- Renard (M.). — Voir Wang (Z. Z.) L-311
- Renard (J. P.). — Voir Cheikhrouhou (A.) L-777
- Ribault (M.). — Voir Bouffard (S.) L-285
- Ribault (M.), Jérôme (D.), Tuchendler (J.), Weyl (C.) and Bechgaard (K.). — Low-field and anomalous high-field Hall effect in $(\text{TMTSF})_2\text{ClO}_4$ L-953
- Ribet (M.). — Direct evidence of defect mobility in the incommensurate phase of $[\text{N}(\text{CD}_3)_4]_2\text{ZnCl}_4$ crystals. L-963
- Ricard (A.). — Voir Capitelli (M.) L-251
- Rigny (P.). — Voir Le Bail (H.) L-1017
- Roger (M.). — Variation of the exchange frequencies with density in bcc solid ^3He L-481
- Romain (J.-P.). — Voir Bibring (J.-P.) L-189
- Romain (J.-P.). — Voir Cottet (F.) L-235
- Rosenman (I.). — Voir Simon (Ch.) L-641
- Roucau (C.). — Voir Wang (Z. Z.) L-311
- Rzepka (E.). — Voir Doualan (J. L.) L-375
- Sadoc (J. F.). — Periodic networks of disclination lines : application to metal structures L-707
- Saint Paul (M.) and Nava (R.). — Ultrasonic attenuation in glassy crystalline cyclohexanol L-613
- Saissy (A.), Botineau (J.) et Ostrowsky (D.). — Diffusion Raman spontanée dans une fibre optique birefringente. L-1035
- Salce (B.). — Voir Arzoumanian (C.) L-39
- Salin (D.). — Voir Bacri (J.-C.) L-415
- Salva (H.). — Voir Wang (Z. Z.) L-311
- Salvan (F.). — Voir Marine (W.) L-271
- Santos (M. B. L.) and Durand (G.). — Flexoelectric distortion of developable domains in a tubular discotic liquid crystal L-195
- Schlenker (C.). — Voir Pouget (J. P.) L-113
- Schuck (P.). — Voir Treiner (J.) L-733
- Schweitzer (J.). — Voir Simon (Ch.) L-641
- Segransan (P.). — Voir Chabre (Y.) L-619
- Seidel (Chr.) and Prigodin (V. N.). — Phase diagram and critical temperatures of nearly half-filled quasi one-dimensional conductors L-403
- Seiden (J.). — Propriétés statiques d'une chaîne isotrope alternée de spins quantiques $1/2$ et de spins classiques. L-947
- Séméria (B.). — Voir Villain (J.) L-889
- Senoussi (S.). — Voir Fert (A.) L-345
- Sergent (M.). — Voir Huguet (P.) L-393
- Sharma (J.). — Voir Bordé (Ch. J.) L-983
- Simon (Ch.), Batallan (F.), Rosenman (I.), Schweitzer (J.), Lauter (H.) and Vangelisti (R.). — Magnetic order in FeCl_3 intercalated graphite by neutron diffraction. L-641
- Sixou (P.). — Voir Ten Bosch (A.) L-105
- Skoulios (A.). — Voir Guillon (D.) L-491
- Smith (J. L.). — Voir Creuzet (G.) L-547
- Souillard (B.). — Voir Kunz (H.) L-411
- Souillard (B.). — Voir Kunz (H.) L-503
- Souillard (B.). — Voir Guazzelli (E.) L-837
- Southern (B. W.). — Voir Tremblay (A.-M. S.) L-843
- Stauffer (D.). — Voir Derrida (B.) L-701
- Steigenberger (U.). — Voir Barthès-Régis (M.) L-829
- St-Grégoire (P.). — Voir Barthès-Régis (M.) L-829
- Stephan (G.). — Sur la longueur critique d'un laser L-361
- Stradella (O.), Artega (G. A.), Castro (E. A.) and Fernández (P. M.). — Calculation of the hydrogen molecule by means of a parametrization obtained from the hydrogen ion-molecule L-741
- Strzelecka (H.). — Voir Davidson (P.) L-823
- Sulpice (A.). — Voir Genicon (J. L.) L-725
- Swift (J.). — Voir Brand (H.) L-333
- Tabeling (P.). — Dynamics of the phase variable in the Taylor vortex system L-665
- Tabony (J.). — Voir Turq (P.) L-471
- Tanaka (J.), Nozaki (H.), Horiuchi (S.) et Tsukioka (M.). — Etude expérimentale du comportement magnétique du $(\text{La}_{0.8}\text{Ca}_{0.2})\text{MnO}_3$ préparé par la méthode de coprecipitation L-129
- Taupin (C.). — Voir Di Meglio (J. M.) L-229
- Ten Bosch (A.), Maissa (P.) and Sixou (P.). — A Landau-De Gennes theory of nematic polymers L-105
- Thoulouze (D.). — Voir Puech (L.) L-159
- Thoulouze (D.). — Voir Godfrin (H.) L-625
- Tomasi (E.). — Voir Pi (M.) L-685
- Toulouse (G.). — Voir Rammal (R.) L-13
- Toulouse (G.). — Voir Rammal (R.) L-65
- Tournier (R.). — Voir Genicon (J. L.) L-725
- Tourrenc (Ph.). — Voir Bordé (Ch. J.) L-983
- Trebbia (P.). — Voir Bourret (A.) L-33
- Treiner (J.), Hasse (R. W.) and Schuck (P.). — Fission from saddle to exit : influence of curvature and compression energies L-733
- Tremblay (A.-M. S.) and Southern (B. W.). — Scaling and density of states of fractal lattices from a generating function point of view L-843
- Troadec (J. P.). — Voir Bideau (D.) L-279
- Tuchendler (J.). — Voir Ribault (M.) L-953
- Turq (P.), Drifford (M.), Hayoun (M.), Perera (A.) and Tabony (J.). — Influence of monomer-micelle exchange on micelle diffusion L-471
- Tsukioka (M.). — Voir Tanaka (J.) L-129
- Uimin (G. V.) and Pokrovsky (V. L.). — Two-dimensional commensurate soliton structures L-865
- Vacher (R.). — Voir Berret (J. F.) L-433
- Van Atta (C. W.). — Voir Itsweire (E. C.) L-917
- Van der Sluijs (J. C. A.). — Voir Hunnisett (S. D.) L-59
- Vangelisti (R.). — Voir Simon (Ch.) L-641
- Vannimenus (J.). — Voir Derrida (B.) L-701
- Veyssié (M.). — Voir Martinoty (P.) L-935
- Villain (J.) and Séméria (B.). — The danger of iteration methods L-889
- Vinäs (X.). — Voir Pi (M.) L-685
- Vlaic (G.). — Voir Jérôme (R.) L-717
- Vulpiani (A.). — Voir Paladin (G.) L-443
- Vuye (G.). — Voir Lopez-Rios (T.) L-99
- Wahl (J.). — Voir Jain (S. C.) L-201
- Wang (Z. Z.), Salva (H.), Monceau (P.), Renard (M.), Roucau (C.), Ayroles (R.), Levy (F.), Guemas (L.) and Meerschaut (A.). — Incommensurate-commensurate transition in TaS_2 L-311
- Weyl (C.). — Voir Ribault (M.) L-953
- Williams (C. E.). — Voir Jérôme (R.) L-717
- Yavari (A. R.) and Maret (M.). — Anisotropy of small-angle neutron scattering in metallic glasses L-553
- Zaleski (S.). — Voir Pomeau (Y.) L-135

REVUE DE PHYSIQUE APPLIQUÉE

Tome 18 — 1983

Abadie (M. J. M.). — Voir Cadene (M.)	691	Bergougnan (M. P.), Gicquel (A.) et Amoureux (J.). — Modification des processus hors équilibre au cours de l'interaction entre un plasma basse pression et une surface. I. Cas d'un plasma de NH_3 . Application à la catalyse chimique	335
Abdel-Razek (A.). — Voir Bouillault (F.)	103	Blanchet (R.). — Voir Sautreuil (B.)	769
Aicardi (J. P.). — Voir Leyris (J. P.)	147	Bodiot (D.). — Voir Mauran (S.)	107
Alibert (C.), Fan Jia Hua, Erman (M.), Frijlink (P.), Jarry (P.) et Theeten (J. B.). — Electroréflexion et ellipsométrie spectroscopique d'hétérostructures InGaAsP/InP et GaAlAs/GaAs	709	Bondeau (A.) et Huck (J.). — Mesure par pénétrométrie de viscosités élevées (10^4 - 10^{11} Po) à basse température (77-300 K)	307
Ambrosone (G.), Catalanotti (S.), Coscia (U.) and Troise (G.). — A formula for the power in partially failed PV fields	645	Bonnet (M.). — Voir David (J. P.)	751
Ambrosone (G.), Catalanotti (S.), Coscia (U.), Troise (G.) and Vicari (L.). — The building as a thermodynamic system. Physical model and experimental test	789	Bonville (P.). — Introduction à la relaxation électronique dans les solides : mécanismes et techniques de mesure	365
Amoureux (J.). — Voir Morvan (D.)	239	Borghi (R.), Cariolle (D.), Girard (A.), Laurent (J.) et Louisnard (N.). — Comparaison entre les résultats d'un modèle unidimensionnel et des résultats de mesures stratosphériques de CH_4 , H_2O et des oxydes d'azote	229
Amoureux (J.). — Voir Bergougnan (M. P.)	335	Bottin (J.). — Voir NGuyen (P. H.)	775
Andrew (R.). — Voir Baufay (L.)	207	Bouchikhi (B.). — Voir Michel (C.)	745
Antoine (J.). — Voir Beji (H.)	795	Bougnot (G.). — Voir Gouskov (L.)	781
Arnaud (G.), Flamant (G.), Muller (C.), Badie (J. M.) et Hernandez (D.). — Etude théorique et expérimentale du couplage entre un concentrateur solaire et un récepteur haute température	327	Bouillault (F.) et Abdel-Razek (A.). — Prise en compte du mouvement dans la détermination numérique des courants de Foucault dans une structure électromagnétique	103
Astier (R.), Duhamel (Ch.) et Bénard (C.). — Modèles de prévision et de simulation de l'irradiation solaire au pas de temps de l'heure	29	Bourquin (R.). — Voir Dulmet (B.)	619
Attal (B.), Débarre (D.), Müller-Dethlefs (K.) and Taran (J. P. E.). — Resonance-enhanced coherent anti-Stokes Raman scattering in C_2	39	Bourson (J.). — Voir Filloux (A.)	273
Aubret (J.) et Fauchais (P.). — Influence des potentiels d'interaction sur les propriétés de transport des plasmas thermiques : exemple d'application, le plasma argon hydrogène à la pression atmosphérique	51	Boustani (M.). — Voir Gouskov (L.)	781
Azizi (C.). — Voir Kamdem (J.)	213	Bréhat (F.). — Voir Wyncke (B.)	355
Badie (J. M.). — Voir Arnaud (G.)	327	Bresson (J.), de Contencin (F. X.), Chaussavoine (C.) et Longuemard (J. P.). — Visualisation par moyens acoustiques de la dynamique sédimentaire autour d'un obstacle sur fond marin	651
Badie (J. M.), Foro (R.), Hernandez (D.) et Rouanet (A.). — Réacteurs thermochimiques solaires. I. — Mise au point et caractérisation d'un réacteur à lit brassé	93	Brissaud (L.), Mouffron (J. P.), Garnier (J. M.) et Michelot (J. L.). — Préparation d'échantillons de carbone pour sources d'ions à pulvérisations	519
Bailly (B.). — Voir Sautreuil (B.)	769	Cabestany (J.) and Castañer (L.). — A simple solar cell series resistance measurement method	565
Baldacchini (G.), Gallerano (G. P.), Censi (D.), Tonelli (M.), Violino (P.), Grassano (U. M.), Meucci (M.) and Scacco (A.). — Development of colour centre lasers for spectroscopy applications	301	Cadene (M.), Rolland (M.) and Abadie (M. J. M.). — Polyacetylene thin film photovoltaic devices	691
Barret (C.), Chekir (F.), Neffati (T.) et Vapaille (A.). — Corrélations entre méthode de préparation, hauteur de barrière et états d'interface dans les contacts métal-GaAs	695	Cadiou (A.). — Répartition des températures dans un tuyau ou un ensemble de tuyaux axisymétriques contenant un fluide en écoulement et soumis à des conditions thermiques dissymétriques	153
Barthe (J.). — Voir Comby (G.)	263	Cadoz (J. L.). — Voir Champagnon (B.)	69
Bartoli (B.), Coscia (U.), Cuomo (V.), Fontana (F.) and Silvestrini (V.). — Statistical approach to long-term performances of photovoltaic systems	281	Camassel (J.). — Voir Mathieu (H.)	741
Baufay (L.), Andrew (R.), Pigeolet (A.) et Laude (L. D.). — Synthèses comparées d'AlSb par recuit laser et décharge capacitive	207	Cappy (A.), Vanoverschelde (A.), Zimmermann (J.), Philippe (P.), Versnaeyen (C.) et Salmer (G.). — Etude théorique et expérimentale du transistor à effet de champ à hétérojonction	719
Bédu (M.) et Jeanjean (M.). — Amélioration du rendement de pompage optique dans les lasers à iode	191	Cariolle (D.). — Voir Borghi (R.)	229
Beji (H.), Fitaire (M.) et Antoine (J.). — Etude du bruit acoustique d'arcs électriques : cas des fours à arcs industriels	795	Castañer (L.). — Voir Cabestany (J.)	565
Bellaouar (A.). — Voir Rossel (P.)	487	Catalanotti (S.). — Voir Ambrosone (G.)	645
Bénard (C.). — Voir Astier (R.)	29	Catalanotti (S.). — Voir Ambrosone (G.)	789
Bénière (F.). — Voir Reddy (K. V.)	613	Censi (D.). — Voir Baldacchini (G.)	301
Ben Chaala (A.). — Voir Gazanhes (C.)	9	Chalot (J. F.). — Voir Comby (G.)	263
Ben Chekroun (F.). — Voir Mathieu (H.)	741	Champagnon (B.), Duval (E.), Tribollet (B.) et Cadoz (J. L.). — Etude R.P.E. des déformations plastiques dans le corindon	69
Benmouna (M.). — Voir Berbar (B.)	677	Charpin (M. C.). — Voir Morvan (D.)	239
Berbar (B.), Jordan (A.) and Benmouna (M.). — Steady state temperature distribution in a cylindrical electrical conductor. Non-linear effects	677	Chaussavoine (C.). — Voir Bresson (J.)	651
Berger (X.). — Voir Pelletret (R.)	177	Chave (A.) et Leguerre (J. R.). — Cellules photovoltaïques utilisées en séparation spectrale. I. Comparaison des couplages de photopiles solaires du type $\text{Ga}_{1-x}\text{Al}_x\text{As-Si}$ et GaAs-Ge . Etude sous concentration	565

Chave (A.) et Leguerre (J. R.). — II. Couplage électrique de deux cellules solaires de type différent	587	Gerstenkorn (S.), Luc (P.) and Vergès (J.). — A test of the I_2 ground state molecular constants deduced from Fourier absorption spectroscopy : the Wood's resonance series ..	81
Chekir (F.). — Voir Barret (C.)	695	Giannetas (B.). — Voir Persephonis (P.)	295
Coelho (R.). — Sur la relaxation d'une charge d'espace	137	Giannetas (B.). — Voir Persephonis (P.)	731
Cohen-Solal (G.). — Voir Laroche (J. M.)	515	Gibart (P.). — Voir Williamson (D. L.)	475
Comby (G.), Quidort (J.), Chalot (J. F.), Valladas (G.), Zadra (A.), Petel (M.) et Barthe (J.). — Compteur multipointe à F.C. appliqué à la détection de l'émission exoélectronique thermostimulée (E.E.T.S.)	263	Gicquel (A.). — Voir Bergougnan (M. P.)	335
Coscia (U.). — Voir Ambrosone (G.)	645	Girard (A.). — Voir Borghi (R.)	229
Coscia (U.). — Voir Ambrosone (G.)	789	Goltzene (A.), Meyer (B.) et Schwab (C.). — Résonance paramagnétique de défauts générés par irradiation neutronique dans l'arséniure de gallium	703
Coscia (U.). — Voir Bartoli (B.)	281	Gonnard (P.). — Voir Ohanessian (H.)	479
Crozat (G.). — Voir Mauran (S.)	107	Gouskov (L.), Boustani (M.), Bougnot (G.), Gril (C.), Joulie (A.), Salsac (P.) et De Anda (F.). — Photodétecteurs à base $Ga_{1-x}Al_xSb$ dans la gamme 1.3-1.6 μm	781
Cuomo (V.). — Voir Bartoli (B.)	281	Graffeuil (J.). — Voir Kamdem (J.)	213
De Anda (F.). — Voir Gouskov (L.)	781	Grassano (U. M.). — Voir Baldacchini (G.)	301
David (J. P.), Roizes (A.), Bonnet (M.), Visentin (N.) et Icole (J.). — Caractérisation de l'interface couche implantée substrat semi-isolant LEC GaAs	751	Gril (C.). — Voir Gouskov (L.)	781
Débarre (D.). — Voir Attal (B.)	39	Hamidi (M.) et Rodot (H.). — Méthode de détermination de l'angle de croissance d'un matériau : application au silicium	75
De Contencin (F. X.). — Voir Bresson (J.)	651	Hamidi (M.). — Etude hydrostatique d'un système de croissance de ruban de silicium	683
Declémy (A.). — Voir Rullière (C.)	347	Hartmann-Boutron (F.). — Théorie des effets de relaxation dans les spectres Mössbauer. I. — Notions de base sur la relaxation	413
Delobelle (P.) et Varchon (D.). — Réalisation d'une machine de fluage biaxiale (traction-torsion) à contraintes constantes (σ_{xx} , σ_{yy})	667	Hartmann-Boutron (F.). — Théorie des effets de relaxation dans les spectres Mössbauer. II. — Méthodes de calcul des formes de raie	431
Denizart (M.). — Voir Pinna (H.)	659	Hérault (J. P.). — Voir Gazanhes (C.)	9
Deschamps (P.). — Voir Sullivan (N. S.)	253	Hernandez (D.). — Voir Arnaud (G.)	327
Desoppere (E.) and Van Oost (G.). — Design and testing of a magnetic shield for the Thomson scattering photomultiplier tubes in the stray field of the ERASMUS tokamak	359	Hernandez (D.). — Voir Badie (J. M.)	93
Desoppere (E.) and Van Oost (G.). — Thomson scattering system of the ERASMUS tokamak	803	Hennet (J. C.). — Modélisation et stimulation d'un champ d'héliostats réfléchissant le rayonnement solaire direct vers une cible fixe	287
Duhamel (Ch.). — Voir Astier (R.)	29	Huck (J.). — Voir Bondeau (A.)	307
Dulmet (B.) et Bourquin (R.). — Méthodes de détermination des courbes fréquence-température d'un résonateur à quartz vibrant en mode d'épaisseur	619	Huet (D.). — Voir Lambert (M.)	757
Du Trémolet de Lacheisserie (E.) and Krishnan (R.). — An improved capacitance method of measuring thermal expansion and magnetostriction of amorphous ribbons : application to FeNiCr metallic glasses	727	Icole (J.). — Voir David (J. P.)	751
Duval (E.). — Voir Champagnon (B.)	69	Imbert (P.). — Mesures de relaxation en spectrométrie Mössbauer d'émission	457
El Shérif (M.). — Voir Wyncke (B.)	355	Izvekov (V. P.). — Voir Pödör (B.)	737
Erman (M.). — Voir Alibert (C.)	709	Jacquot (C.). — Voir Wyncke (B.)	355
Ermolieff (A.). — Voir Roussel (C.)	1	Janot-Giorgetti (M. T.) et Lamotte (M.). — Utilisation d'un système de reconnaissance de la parole comme aide à l'acquisition orale d'une langue étrangère	595
Eyraud (L.). — Voir Ohanessian (H.)	479	Jarry (P.). — Voir Alibert (C.)	709
Eyraud (P.). — Voir Ohanessian (H.)	479	Jeanjean (M.). — Voir Bédou (M.)	191
Fan Jia Hua. — Voir Alibert (C.)	709	Jordan (A.). — Voir Berbar (B.)	677
Fauchais (P.). — Voir Aubret (J.)	51	Joaffrey (B.). — Voir Pinna (H.)	659
Faure (E.). — Voir Schwartz (L. M.)	635	Joulie (A.). — Voir Gouskov (L.)	781
Filloux (A.), Mugnier (J.), Bourson (J.) and Valeur (B.). — Fluorescent solar concentrators using liquid solutions	273	Kamdem (J.), Maimouni (R.), Azizi (C.), Graffeuil (J.) et Rossel (P.). — Méthodologies d'étude expérimentale et de conception assistée par ordinateur des amplificateurs de puissance à TEC GaAs	213
Fink (M.). — L'imagerie ultrasonore	527	Kowalchik (M.). — Voir Williamson (D. L.)	475
Fitaire (M.). — Voir Beji (H.)	795	Krawczyk (S.), Sautreuil (B.) et Viktorovitch (P.). — Structures $Al-Al_2O_3-InP$: analyse des processus de dérive et évaluation des hauteurs de barrières par photoémission interne	763
Flamant (G.). — Voir Arnaud (G.)	327	Krishnan (R.). — Voir Du Trémolet de Lacheisserie (E.)	727
Fontana (F.). — Voir Bartoli (B.)	281	Lambert (M.) et Huet (D.). — Epitaxie par jets moléculaires de $In_{0.53}Ga_{0.47}As$ et de InP sur substrats de InP	757
Foro (R.). — Voir Badie (J. M.)	93		
Frijlink (P.). — Voir Alibert (C.)	709		
Gallerano (G. P.). — Voir Baldacchini (G.)	301		
Gallet (P.), Papini (F.) and Ropke (A.). — Modelization of helio-thermal converters : application to the green house effect	169		
Garnier (J. M.). — Voir Brissaud (I.)	519		
Garrigues (M.). — Voir Sautreuil (B.)	769		
Gazanhes (C.), Hérault (J. P.), Miane (M.), Saul (H.) et Ben Chaala (A.). — Etude de la dispersion de vitesse d'une onde ultrasonore dans un composite stratifié	9		

- Lamotte (M.). — Voir Janot-Giorgetti (M. T.) 595
- Laroche (J. M.) et Cohen-Solal (G.). — Appareillage d'épitaxie de composés semiconducteurs par transport réactif à courte distance 515
- Laude (L. D.). — Voir Baufay (L.) 207
- Laurent (J.). — Voir Borghi (R.) 229
- Lauvray (H.). — Voir Morvan (D.) 239
- Le Bloa (A.). — Valeur du signal de la méthode D.L.T.S. à double corrélation 561
- Leguerre (J. R.). — Voir Chave (A.) 587
- Leguerre (J. R.). — Voir Chave (A.) 569
- Lepley (B.). — Voir Michel (C.) 745
- Leyris (J. P.), Aicardi (J. P.) et Soule (S.). — Courants thermostimulés et thermoluminescence dans AgGaS_2 147
- Liang (K.). — Voir Pinna (H.) 659
- Litovskii (R. N.). — Voir Lysenko (V. S.) 87
- Longuemard (J. P.). — Voir Bresson (J.) 651
- Louat (A.). — Voir Schwartz (L. M.) 635
- Louat (R.). — Voir Schwartz (L. M.) 635
- Louisnard (N.). — Voir Borghi (R.) 229
- Luc (P.). — Voir Gerstenkorn (S.) 81
- Lysenko (V. S.), Litovskii (R. N.), Roumenin (Ch. S.) and Smirnov (N. D.). — Magnetic-field effect in MOS transistor with injecting source 87
- Machet (C.). — Voir Septier (A.) 507
- Maimouni (R.). — Voir Kamdem (J.) 213
- Martinuzzi (S.). — Voir Zehaf (M.) 557
- Mathian (G.). — Voir Zehaf (M.) 557
- Mathieu (H.), Camassel (J.) and Ben Chekroun (F.). — Fine structure of the (A^0X) complex in InP 741
- Mauran (S.), Bodiot (D.) et Crozat (G.). — Optimisation des densités énergétiques de systèmes de stockage chimique basés sur des réactions solide-gaz renversables 107
- Maze (G.) et Ripoche (J.). — Méthode d'isolement et d'identification des résonances (M.I.R.) de cylindres et de tubes soumis à une onde acoustique plane dans l'eau 319
- Meucci (M.). — Voir Baldacchini (G.) 301
- Meyer (B.). — Voir Goltzene (A.) 703
- Miane (M.). — Voir Gazanhes (C.) 9
- Michel (C.), Lepley (B.), Bouchikhi (B.) et Ravelet (S.). — Passivation de l'InP par oxydation en plasma RF oxygène et par action de HNO_3 vapeur 745
- Michel (C.). — Voir Nguyen (P. H.) 775
- Michelot (J. L.). — Voir Brissaud (L.) 519
- Morvan (D.), Amoureux (J.), Charpin (M. C.) et Lauvray (H.). — Elimination du bore dans le silicium par fusion de zone sous plasma inductif haute fréquence : rôle des plasmas réactifs et du laitier. Caractérisation du silicium photovoltaïque 239
- Mouffron (J. P.). — Voir Brissaud (L.) 519
- Mugnier (J.). — Voir Filloux (A.) 273
- Muller (C.). — Voir Arnaud (G.) 327
- Müller-Dethlefs (K.). — Voir Attal (B.) 39
- Néel (P.). — Voir Sullivan (N. S.) 253
- Neffati (T.). — Voir Barret (C.) 695
- Nguyen (P. H.), Michel (C.) et Bottin (J.). — Etude de la conversion photovoltaïque : effets des résistances parasites des photopiles 775
- Ohanessian (H.), Gonnard (P.), Troccaz (M.), Eyraud (L.) et Eyraud (P.). — Caractérisation de la stabilité d'un élément piézoélectrique du type PZT sous compression uniaxiale rapide 479
- Papini (F.). — Voir Gallet (P.) 169
- Prasad (J. J. B.). — Voir Reddy (K. V.) 613
- Pée (Ph.). — Voir Rullière (C.) 347
- Pelletret (R.) et Berger (X.). — Capteur climatique 177
- Penot (F.). — Voir Puiggali (J. R.) 625
- Perdijon (J.). — Optique de couplage encerclant 129
- Persephonis (P.), Giannetas (B.) and Rigopoulos (R.). — A quadruple transmission line nitrogen laser 295
- Persephonis (P.), Giannetas (B.) and Rigopoulos (R.). — The performance of a multiple line N_2 laser 731
- Petel (M.). — Voir Comby (G.) 263
- Philippe (P.). — Voir Cappy (A.) 719
- Pigeolet (A.). — Voir Baufay (L.) 207
- Pinna (H.), Liang (K.), Denizart (M.) and Jouffrey (B.). — Electronic environment for a field emission gun in electron microscopy 659
- Podoleanu (A. G.). — Voir Popescu (I. M.) 313
- Pödör (B.) and Izvekov (V. P.). — Far-infrared lattice absorption in gallium phosphide 737
- Popescu (I. M.), Podoleanu (A. G.) et Sterian (P. E.). — Dispositif bistable magnéto-optique 313
- Puiggali (J. R.) et Penot (F.). — Analyse du comportement dynamique et thermique d'un séchoir solaire constitué d'un capteur à matrice poreuse couplé à une cheminée solaire 625
- Quidort (J.). — Voir Comby (G.) 263
- Ravelet (S.). — Voir Michel (C.) 745
- Reddy (K. V.), Prasad (J. J. B.) et Bénére (F.). — Mesure directe de l'électromigration sur des couches métalliques à l'aide de traceurs radioactifs 613
- Rigopoulos (R.). — Voir Persephonis (P.) 295
- Rigopoulos (R.). — Voir Persephonis (P.) 731
- Rioux-Damidaou (F.). — Calcul semi-tridimensionnel des champs et des courants dans les machines cylindriques asynchrones sans fer 113
- Ripoche (J.). — Voir Maze (G.) 319
- Rocher (A.). — Voir Williamson (D. L.) 475
- Rodot (H.). — Voir Hamidi (M.) 75
- Roizes (A.). — Voir David (J. P.) 751
- Rolland (M.). — Voir Cadene (M.) 691
- Ropke (A.). — Voir Gallet (P.) 169
- Rossel (P.), Tranduc (H.), Sanchez (J. L.) et Bellaouar (A.). — Détermination expérimentale des paramètres des transistors MOS 487
- Rossel (P.). — Voir Kamdem (J.) 213
- Rouanet (A.). — Voir Badie (J. M.) 93
- Roumenin (Ch. S.). — Voir Lysenko (V. S.) 87
- Roussel (C.) et Ermoloeff (A.). — Emission stimulée de MgZnTe excité par faisceau d'électrons pulsé de 25 K à 300 K 1
- Rullière (C.), Declémy (A.) et Pée (Ph.). — Réalisation d'un spectromètre d'absorption « picoseconde » monofaisceau. Application à la dynamique des états excités des molécules organiques 347
- Salmer (G.). — Voir Cappy (A.) 719
- Salsac (P.). — Voir Gouskov (L.) 781
- Sanchez (J. L.). — Voir Rossel (P.) 487
- Saul (H.). — Voir Gazanhes (C.) 9
- Sautreuil (B.), Bailly (B.), Blanchet (R.), Garrigues (M.) et Viktorovitch (P.). — Influence de la technique de dépôt d'isolant et des modes de décapage du semiconducteur sur les propriétés électriques de structures métal- Al_2O_3 -InP 769
- Sautreuil (B.). — Voir Krawczyk (S.) 763
- Scacco (A.). — Voir Baldacchini (G.) 301
- Schwab (C.). — Voir Goltzene (A.) 703
- Schwartz (L. M.), Faure (E.), Louat (R.) et Louat (A.). — Etude du rayonnement solaire global direct à Carpentras 635
- Septier (A.) et Machet (C.). — Calcul de la sensibilité et de la constante de temps d'une thermophile à éléments en couches minces et structure radiale 507
- Silvestrini (V.). — Voir Bartoli (B.) 281
- Singal (C. M.). — Voir Zehaf (M.) 557
- Smirnov (N. D.). — Voir Lysenko (V. S.) 87

Soufiani (A.). — Absorption, émission et réflexion du rayonnement électromagnétique par une paroi constituée de tubes parallèles jointifs	19	Van Oost (G.). — Voir Desoppere (E.)	359
Soule (S.). — Voir Leyris (J. P.)	147	Van Oost (G.). — Voir Desoppere (E.)	803
Sterian (P. E.). — Voir Popescu (I. M.)	313	Vanoverschelde (A.). — Voir Cappy (A.)	719
Strimer (P.). — Voir Wyncke (B.)	355	Vapaille (A.). — Voir Barret (C.)	695
Sullivan (N. S.), Deschamps (P.), Néel (P.) and Vaissière (J. M.). — Efficient fast-recovery scheme for NMR pulse spectrometers	253	Varchon (D.). — Voir Delobelle (P.)	667
Taran (J. P. E.). — Voir Attal (B.)	39	Vergès (J.). — Voir Gerstenkorn (S.)	81
Tartarin (J.). — Etude expérimentale de la zone pariétale d'un écoulement turbulent instationnaire en conduite bidimensionnelle	495	Versnaeyen (C.). — Voir Cappy (A.)	719
Theeten (J. B.). — Voir Alibert (C.)	709	Vicari (L.). — Voir Ambrosone (G.)	789
Tonelli (M.). — Voir Baldacchini (G.)	301	Viktorovitch (P.). — Voir Krawczyk (S.)	763
Tranduc (H.). — Voir Rossel (P.)	487	Viktorovitch (P.). — Voir Sautreuil (B.)	769
Tribollet (B.). — Voir Champagnon (B.)	69	Visentin (N.). — Voir David (J. P.)	751
Troccaz (M.). — Voir Ohanessian (H.)	479	Violino (P.). — Voir Baldacchini (G.)	301
Troise (G.). — Voir Ambrosone (G.)	645	Williamson (D. L.), Kowalchik (M.), Rocher (A.) and Gibart (P.). — Nature of defects in heavily Te-doped GaAs. ...	475
Troise (G.). — Voir Ambrosone (G.)	789	Wyncke (B.), Strimer (P.), El Shérif (M.), Bréhat (F.) et Jacquot (C.). — Stabilisation de la température d'un cryostat entre 1,6 K et 270 K pour spectrométrie dans l'infrarouge lointain	355
Vaissière (J. M.). — Voir Sullivan (N. S.)	253	Zadra (A.). — Voir Comby (G.)	263
Valladas (G.). — Voir Comby (G.)	263	Zehaf (M.), Mathian (G.), Singal (C. M.) and Martinuzzi (S.). — Passivation of intragrain defects by copper diffusion in p-type polycrystalline silicon	557
Valeur (B.). — Voir Filloux (A.)	273	Zimmermann (J.). — Voir Cappy (A.)	719

COLLOQUE N° 1 - 1983

Bendor Free Electron Laser Conference

Bendor (France), 1982

- Adamski (J.).- See Slater
(J.M.)..... C1-73
- Al-Abawi (H.), Fang (H.),
Fu (S.), McIver (J.K.),
Moore (G.T.) and Scully
(M.O.).- Optical instabi-
lities and coherence in
the free-electron-laser.. C1-377
- Barbini (R.), Vignola (G.),
Trillo (S.), Boni (R.),
De Simone (S.), Faini
(S.), Guiducci (S.),
Preger (M.), Serio (M.),
Spataro (B.), Tazzari
(S.), Tazzioli (F.),
Vescovi (M.), Cattoni
(A.), Sanelli (C.),
Castellano (M.), Cavallo
(N.), Cevenini (F.),
Masullo (M.R.), Patteri
(P.), Rinzivillo (R.),
Cutolo (A.) and Solimeno
(S.).- Preliminary res-
ults of the Adone storage
ring FEL experiment,
LELA..... C1-1
- Barbini (R.), Vignola (G.),
Trillo (S.), Cattoni
(A.), Dulach (B.),
Sanelli (C.), De Simone
(S.), Guiducci (S.),
Marchetti (C.), Preger
(M.) and Serio (M.).-
The LELA undulator : main
features and performance. C1-365
- Bazin (C.).- See Billardon
(M.)..... C1-29
- Becker (W.) and McIver
(J.K.).- Quantum descrip-
tions of free-electron
lasers..... C1-289
- Becker (W.) and McIver
(J.K.).- Fully quantized
many particle theory of a
free-electron laser..... C1-367
- Benson (S.), Deacon (D.A.G.),
Eckstein (J.N.), Madey
(J.M.J.), Robinson (K.),
Smith (T.I.) and Taber
(R.).- Review of recent
experimental results from
the Stanford 3 μ m free
electron laser..... C1-353
- Bergher (M.).- See Billardon
(M.)..... C1-29
- Bernstein (I.).- See Sprangle
(P.)..... C1-145
- Billardon (M.), Deacon
(D.A.G.), Elleaume (P.),
Ortega (J.M.), Robinson
(K.E.), Bazin (C.),
Bergher (M.), Madey
(J.M.J.), Petroff (Y.)
and Velghe (M.).- Recent
results of the ACO sto-
rage ring F.E.L. experi-
ment..... C1-29
- Bizzarri (U.), Ciocci (F.),
Dattoli (G.), De Angelis
(A.), Ercolani (M.),
Fiorentino (E.),
Gallerano (G.P.), Letardi
(T.), Marino (A.),
Messina (G.), Renieri
(A.), Sabia (E.) and
Vignati (A.).- Free electr-
on laser in the infrared :
the experimental activi-
ty at the ENEA Frascati
centre..... C1-313
- Boehmer (H.E.).- See Shih
(C.)..... C1-115
- Boni (R.).- See Barbini
(R.)..... C1-1
- Boyer (K.), Brau (C.A.),
Newnam (B.E.), Stein
(W.E.), Warren (R.W.),
Winston (J.G.) and
Young (L.M.).- High-
efficiency free-electr-
on laser results..... C1-109

Brau (C.A.).- See Boyer (K.).....	C1-109	Deacon (D.A.G.).- See Billardon (M.).....	C1-29
Caponi (M.Z.).- See Shih (C.).....	C1-115	Deacon (D.A.G.).- See Benson (S.).....	C1-353
Castellano (M.).- See Barbini (R.).....	C1-1	Deacon (D.A.G.).- See Robinson (K.E.).....	C1-379
Cattoni (A.).- See Barbini (R.).....	C1-1	De Angelis (A.).- See Bizzarri (U.).....	C1-313
Cattoni (A.).- See Barbini (R.).....	C1-365	De Martini (F.).- See Coisson (R.).....	C1-163
Cavallo (N.).- See Barbini (R.).....	C1-1	De Simone (S.).- See Barbini (R.).....	C1-1
Center (R.E.).- See Slater (J.M.).....	C1-73	De Simone (S.).- See Barbini (R.).....	C1-365
Cevenini (F.).- See Barbini (R.).....	C1-1	Dulach (B.).- See Barbini (R.).....	C1-365
Churchill (T.L.).- See Slater (J.M.).....	C1-73	Eckstein (J.N.).- See Benson (S.).....	C1-353
Ciocci (F.).- See Bizzarri (U.).....	C1-313	Edighoffer (J.A.).- See Shih (C.).....	C1-115
Coisson (R.) and De Martini (F.).- Transverse opti- cal klystrons : a feasi- bility experiment on har- monic generation.....	C1-163	Elleume (P.).- See Billardon (M.).....	C1-29
Colson (W.B.) and Renieri (A.).- Pulse propagation in free electron lasers.	C1-11	Elleume (P.).- Optical klys- trons.....	C1-333
Colson (W.B.).- See Freedman (R.A.).....	C1-369	Elliott (C.J.).- Stories of undulator light.....	C1-255
Colson (W.B.).- See Goldstein (J.C.).....	C1-371	Emanuelson (R.M.).- See Shaw (E.D.).....	C1-153
Cook (R.).- See Walsh (J.).	C1-389	Emanuelson (R.M.).- See Shaw (E.D.).....	C1-385
Cooper (R.K.), Morton (P.L.), Wilson (P.B.), Keefe (D.) and Faltens (A.).- Linac technology for free-elec- tron lasers.....	C1-185	Ercolani (M.).- See Bizzarri (U.).....	C1-313
Cutolo (A.).- See Barbini (R.).....	C1-1	Faini (S.).- See Barbini (R.).....	C1-1
Dattoli (G.) and Renieri (A.).- FEL quantum as- pects.....	C1-125	Faltens (A.).- See Cooper (R.K.).....	C1-185
Dattoli (G.).- See Bizzarri (U.).....	C1-313	Fang (H.).- See Al-Abawi (H.).....	C1-377
		Fiorentino (E.).- See Bizzarri (U.).....	C1-313
		Fornaca (S.).- See Shih (C.).....	C1-115

Freedman (R.A.) and Colson (W.B.).- Long pulses and sideband instability in free-electron laser oscillators.....	C1-369	Kroll (N.M.) and Rosenbluth (M.N.).- Theory of gain expanded free electron lasers.....	C1-85
Fu (S.).- See Al-Abawi (H.)	C1-377	Le Duff (J.).- High current limitations on storage ring FEL sources.....	C1-217
Gallerano (G.P.).- See Bizzarri (U.).....	C1-313	Letardi (T.).- See Bizzarri (U.).....	C1-313
Garate (E.).- See Walsh (J.).....	C1-389	Luccio (A.) and Pellegrini (C.).- One dimensional numerical simulation of a free electron laser-storage ring system.....	C1-373
Gaupp (A.).- Simulation of isochronous storage ring free electron laser.....	C1-147	Luccio (A.) and Yü (L.H.).- Design of the magnetic structure of the undulator for the free electron laser experiment.....	C1-375
Goldstein (J.C.), Colson (W.B.) and Warren (R.W.).- Tapered wiggler free electron lasers driven by non-monoenergetic electron beams.....	C1-371	Luccio (A.).- See Krinsky (S.).....	C1-113
Guiducci (S.).- See Barbini (R.).....	C1-1	McIver (J.K.).- See Al-Abawi (H.).....	C1-377
Guiducci (S.).- See Barbini (R.).....	C1-365	McIver (J.K.).- See Becker (W.).....	C1-289
Halbach (K.).- See Prosnitz (D.).....	C1-167	McIver (J.K.).- See Becker (W.).....	C1-367
Halbach (K.).- Permanent magnet undulators.....	C1-211	Mayey (J.M.J.).- Application of transverse gradient wigglers in high efficiency storage ring FEL's.....	C1-169
Heim (P.).- See Walsh (J.).....	C1-389	Mayey (J.M.J.).- See Benson (S.).....	C1-353
Herbster (G.A.).- See Shaw (E.D.).....	C1-153	Mayey (J.M.J.).- See Billardon (M.).....	C1-29
Herbster (G.A.).- See Shaw (E.D.).....	C1-385	Mayey (J.M.J.).- See Robinson (K.E.).....	C1-379
Hopf (F.).- Delay effect in laser amplifiers.....	C1-137	Mani (S.A.).- Tapered wigglers.....	C1-239
Hopkins (D.B.).- See Prosnitz (D.).....	C1-167	Marchetti (C.).- See Barbini (R.).....	C1-365
Johnson (B.).- See Walsh (J.).....	C1-389	Marino (A.).- See Bizzarri (U.).....	C1-313
Keefe (D.).- See Cooper (R.K.).....	C1-185	Masullo (M.R.).- See Barbini (R.).....	C1-1
Krinsky (S.), Luccio (A.), Pellegrini (C.), van Steenbergen (A.) and Yü (L.H.).- The Brookhaven free electron laser experiment.....	C1-113		

Messina (G.).- See Bizzarri (U.).....	C1-313	Quimby (D.C.).- See Slater (J.M.).....	C1-73
Moore (G.T.).- See Al-Abawi (H.).....	C1-377	Renieri (A.).- See Bizzarri (U.).....	C1-313
Morton (P.L.).- See Cooper (R.K.).....	C1-185	Renieri (A.).- See Colson (W.B.).....	C1-11
Munch (J.).- See Shih (C.).	C1-115	Renieri (A.).- See Dattoli (G.).....	C1-125
Murphy (J.).- See Walsh (J.).....	C1-389	Rinzivillo (R.).- See Barbini (R.).....	C1-1
Neil (G.R.).- See Shih (C.)	C1-115	Robinson (K.E.), Deacon (D.A.G.), Velghe (M.F.) and Madey (J.M.J.).- Additional bunch lengthening results on the ACO SRFEL	C1-379
Nelson (L.Y.).- See Slater (J.M.).....	C1-73	Robinson (K.).- See Benson (S.).....	C1-353
Newnam (B.E.).- See Boyer (K.).....	C1-109	Robinson (K.E.).- See Billardon (M.).....	C1-29
Ortega (J.M.).- See Billardon (M.).....	C1-29	Rosander (S.).- Microtrons for free electron lasers	C1-233
Patteri (P.).- See Barbini (R.).....	C1-1	Rosenbluth (M.N.).- See Kroll (N.M.).....	C1-85
Paul (A.C.).- See Prosnitz (D.).....	C1-167	Sabia (E.).- See Bizzarri (U.).....	C1-313
Pellegrini (C.).- See Krinsky (S.).....	C1-113	Sanelli (C.).- See Barbini (R.).....	C1-1
Pellegrini (C.).- See Luccio (A.).....	C1-373	Sanelli (C.).- See Barbini (R.).....	C1-365
Petroff (Y.).- See Billardon (M.).....	C1-29	Scully (M.O.).- See Al-Abawi (H.).....	C1-377
Poole (M.W.) and Smith (S.D.).- The UK free electron laser.....	C1-179	Segall (S.B.).- Resonator cavity design for two-stage FEL experiment....	C1-383
Preger (M.).- See Barbini (R.).....	C1-1	Serio (M.).- See Barbini (R.).....	C1-1
Preger (M.).- See Barbini (R.).....	C1-365	Serio (M.).- See Barbini (R.).....	C1-365
Prosnitz (D.), Sessler (A.M.), Halbach (K.), Hopkins (D.B.), Paul (A.C.), Stover (G.D.), Tanabe (J.T.) and Wurtele (J.S.).- Electron Laser Facility (ELF) at the LLNL ETA.....	C1-167	Sessler (A.M.).- See Prosnitz (D.).....	C1-167
Quimby (D.) and Slater (J.).- Transverse mode structure of a tapered-wiggler FEL oscillator.....	C1-397	Shaw (E.D.), Emanuelson (R.M.) and Herbster (G.A.).- Helical undulator study.....	C1-153

- Shaw (E.D.), Emanuelson (R.M.) and Herbster (G.A.).- Far infrared free electron laser..... C1-385
- Shih (C.), Neil (G.R.), Munch (J.), Fornaca (S.), Edighoffer (J.A.), Caponi (M.Z.) and Boehmer (H.E.).- TRW free electron laser experiment..... C1-115
- Slater (J.M.), Adamski (J.), Quimby (D.C.), Churchill (T.L.), Nelson (L.Y.) and Center (R.E.).- Status of the MSNW tapered-wiggler FEL experiment..... C1-73
- Slater (J.).- See Quimby (D.)..... C1-397
- Smith (S.D.).- See Poole (M.W.)..... C1-179
- Smith (T.I.).- See Benson (S.)..... C1-353
- Solimeno (S.).- See Barbini (R.)..... C1-1
- Spataro (B.).- See Barbini (R.)..... C1-1
- Sprangle (P.), Tang (C.M.) and Bernstein (I.).- Free electron laser oscillator startup analysis..... C1-145
- Sprangle (P.).- See Tang (C.M.)..... C1-393
- Sprangle (P.).- See Tang (C.M.)..... C1-395
- Stein (W.E.).- See Boyer (K.)..... C1-109
- Stover (G.D.).- See Prosnitz (D.)..... C1-167
- Taber (R.).- See Benson (S.)..... C1-353
- Tanabe (J.T.).- See Prosnitz (D.)..... C1-167
- Tang (C.M.) and Sprangle (P.).- A two-dimensional theory of pulse propagation in the FEL oscillator..... C1-393
- Tang (C.M.) and Sprangle (P.).- Two-dimensional theory of the FEL amplifier for pulsed electron beams..... C1-395
- Tang (C.M.).- See Sprangle (P.)..... C1-145
- Tazzari (S.).- See Barbini (R.)..... C1-1
- Tazzioli (F.).- See Barbini (R.)..... C1-1
- Trillo (S.).- See Barbini (R.)..... C1-1
- Trillo (S.).- See Barbini (R.)..... C1-365
- Van Steenberg (A.).- See Krinsky (S.)..... C1-113
- Velghe (M.).- Design and operating experience on laser cavity in a vacuum of 10^{-10} torr..... C1-387
- Velghe (M.).- See Billardon (M.)..... C1-29
- Velghe (M.).- See Robinson (K.E.)..... C1-379
- Vescovi (M.).- See Barbini (R.)..... C1-1
- Vignati (A.).- See Bizzarri (U.)..... C1-313
- Vignola (G.).- See Barbini (R.)..... C1-1
- Vignola (G.).- See Barbini (R.)..... C1-365
- Walsh (J.), Johnson (B.), Garate (E.), Cook (R.), Murphy (J.) and Heim (P.).- Cerenkov lasers.. C1-389
- Warren (R.W.).- See Goldstein (J.C.)..... C1-371
- Warren (R.W.).- See Boyer (K.)..... C1-109
- Wiedemann (H.).- Storage ring design optimization for FEL operation..... C1-201

Wilson (P.B.).- See Cooper (R.K.).....	C1-185	Young (L.M.).- See Boyer (K.).....	C1-109
Winston (J.G.).- See Boyer (K.).....	C1-109	Yü (L.H.).- See Krinsky (S.)	C1-113
Wurtele (J.S.).- See Prosnitz (D.).....	C1-167	Yü (L.H.).- See Luccio (A.)	C1-375

Colloque International sur la Conjugaison de Phase et les Instabilités Optiques

Cargèse (France), 1982

Adam (J.C.), Gourdin Serveni�re (A.) and Laval (G.).- Instabi- lities induced by re- sonant absorption of an electromagnetic wa- ve in an inhomogeneous plasma.....	C2-171	wave mixing and coherent anti-Stokes Raman scatter- ring.....	C2-39
Agrawal (G.P.).- Reso- nant intracavity pha- se conjugation in two and three-level sys- tems.....	C2-125	Cheung (M.M.).- Voir Durbin (S.D.).....	C2-161
Arakelian (S.M.).- Voir Durbin (S.D.).....	C2-161	Djeu (N.).- Voir Reintjes (J.).....	C2-27
Asaka (S.).- Voir Nakatsuka (H.).....	C2-205	Ducloy (M.).- Voir Bloch (D.).....	C2-101
Bigio (I.).- Voir Feldman (B.J.).....	C2-17	Durbin (S.D.), Arakelian (S.M.), Cheung (M.M.) and Shen (Y.R.).- High- ly nonlinear optical effects in liquid crystals.....	C2-161
Bloch (D.), Raj (R.K.), Peng (K.S.) and Ducloy (M.).- Doppler-free conjugate emission in resonant gas media : lineshape polarization properties and satu- ration.....	C2-101	Feldman (B.J.), Bigio (I.), Fisher (R.A.) and Slatkine (M.).- Some thoughts and obser- vations of phase con- jugation in the ultra- violet.....	C2-17
Bogges (T.F.).- Voir Smirl (A.L.).....	C2-71	Ferrier (J.L.).- Voir Rivoire (G.).....	C2-81
Borshch (A.).- Voir Kukhtarev (N.).....	C2-5	Fischer (B.).- New study and application of phase conjugation with photo- refractive crystals...	C2-59
Boulnois (J.L.).- Applica- tions of degenerate four-wave mixing to high resolution mole- cular spectroscopy at 10.6 μm	C2-113	Fisher (R.A.).- Voir Feldman (B.J.).....	C2-17
Brodin (M.).- Voir Kukhtarev (N.).....	C2-5	Gazengel (J.).- Voir Rivoire (G.).....	C2-81
Caro (R.G.).- Voir Gower (M.C.).....	C2-19	Gibbs (H.M.), Jewell (J.L.), Moloney (J.V.), Tai (K.), Tarn (S.S.), Weinberger (D.A.), Gossard (A.C.), McCall (S.L.), Passner (A.) and Weigmann (W.).- Optical bistability regenerative pulsa- tions and transverse effects in room-tempe- rature GaAs-AlGaAs superlattice etalons...	C2-195
Chandra (S.).- Relation between degenerate four-			

Giuliano (C.R.), Lind (R.C.), O'Meara (T.R.) and Valley (G.C.).- Optical phase conjugation in laser resonators.....	C2-45	Kukhtarev (N.), Borshch (A.), Brodin (M.), Volkov (V.) and Semenets (T.).- Laser beam critical behaviour and phase conjugation in the semiconductors resonant media and electrooptic crystals.....	C2-5
Gossard (A.C.).- Voir Gibbs (H.M.).....	C2-195		
Gourdin Serveni�re (A.).- Voir Adam (J.C.).....	C2-171		
Gower (M.C.) and Caro (R.G.).- Phase conjugation of KrF laser radiation.....	C2-19	Laval (G.).- Voir Adam (J.C.).....	C2-171
G�nter (P.).- Coherent light amplification and optical phase conjugation with photorefractive materials.....	C2-141	Levelut (A.).- Phase conjugation in acoustics.	C2-61
Halbout (J.M.) and Tang (C.L.).- Time resolved study of the subpicosecond dynamics of molecular rotations in liquids.....	C2-135	Lind (R.C.).- Voir Giuliano (C.R.).....	C2-45
Hopf (F.A.).- Bifurcations to chaos in optical bistability.....	C2-193	McCall (S.L.).- Voir Gibbs (H.M.).....	C2-195
Huignard (J.P.).- Degenerate four wave mixing in photorefractive B.S.O. crystals and applications.....	C2-3	Matsuoka (M.).- Voir Nakatsuka (H.).....	C2-205
Ikeda (K.).- Optical turbulence : chaos in optical bistability.....	C2-183	Moloney (J.V.).- Voir Gibbs (H.M.).....	C2-195
Ito (H.).- Voir Nakatsuka (H.).....	C2-205	Nakatsuka (H.), Asaka (S.), Ito (H.) and Matsuoka (M.).- Observations of periodic and chaotic instabilities in an all optical bistable system.....	C2-205
Jain (R.K.).- Voir Klein (M.B.).....	C2-149	O'Meara (T.R.).- Voir Giuliano (C.R.).....	C2-45
Jewell (J.L.).- Voir Gibbs (H.M.).....	C2-195	Passner (A.).- Voir Gibbs (H.M.).....	C2-195
Klein (M.B.), Jain (R.K.) and Valley (G.C.).- Degenerate four-wave mixing in semiconductors and ferroelectrics.....	C2-149	Peng (K.S.).- Voir Bloch (D.).....	C2-101
		Phu Xuan (N.).- Voir Rivoire (G.).....	C2-81
		Raj (R.K.).- Voir Bloch (D.).....	C2-101
		Reintjes (J.), Wexler (B.L.), Djeu (N.) and Walsh (J.L.).- Degenerate frequency mixing in saturable amplifiers	C2-27

Rivoire (G.), Ferrier (J.L.), Gazengel (J.) and Phu Xuan (N.).- Phase conjugation in liquids in the pico- second range.....	C2-81	Tai (K.).- Voir Gibbs (H.M.).....	C2-195
Saïkan (S.).- Polarization dependent properties of backward four-wave mixing.....	C2-93	Tang (C.L.).- Voir Halbout (J.M.).....	C2-135
Semenets (T.).- Voir Kukhtarev (N.).....	C2-5	Tarng (S.S.).- Voir Gibbs (H.M.).....	C2-195
Shank (C.V.).- Nonlinear interactions with in- tense femtosecond op- tical pulses.....	C2-69	Valley (G.C.).- Voir Giuliano (C.R.).....	C2-45
Shen (Y.R.).- Voir Durbin (S.D.).....	C2-161	Valley (G.C.).- Voir Klein (M.B.).....	C2-149
Siegman (A.).- Phase con- jugate oscillators....	C2-43	Volkov (V.).- Voir Kukhtarev (N.).....	C2-5
Slatkine (M.).- Voir Feldman (B.J.).....	C2-17	Walsh (J.L.).- Voir Reintjes (J.).....	C2-27
Smirl (A.L.), Wherrett (B.S.), Boggess (T.F.).- Picosecond interband saturation and intraband relaxa- tion in germanium.....	C2-71	Weigmann (W.).- Voir Gibbs (H.M.).....	C2-195
		Weinberger (D.A.).- Voir Gibbs (H.M.).....	C2-195
		Wexler (B.L.).- Voir Reintjes (J.).....	C2-27
		Wherrett (B.S.).- Voir Smirl (A.L.).....	C2-71

COLLOQUE N° 3 - 1983

Conférence Internationale sur la Physique et la Chimie des Polymères Conducteurs

Les Arcs (France), 1982

Abadie (M.J.M.).- Voir Bernard (O.).....	C3-345	Ball (R.), Su (W.P.) and Schrieffer (J.R.).- Photo-production of neutral versus charged solitons in trans (CH) _x	C3-429
Albert (J.P.) and Jouanin (C.) .- Effect of an isolated impurity on the electronic structure of (CH) _x	C3-387	Barbarin (E.), Berthet (G.), Blanc (J.P.), Dugay (M.), Fabre (C.), Germain (J.P.) and Robert (H.).- Electrical and magnetic properties of poly p-azophenylene.....	C3-749
Albert (J.P.).- Voir Jestin (M.)	C3-499	Bates (F.S.).- Voir Baker (G.L.).....	C3-11
Albert (J.P.).- Voir Kabbaï (M.)	C3-463	Batra (I.P.).- Voir Grant (P.M.).....	C3-437
Aldissi (M.).- Voir Schué (F.)	C3-17	Baughman (R.H.).- Voir Iqbal (Z.).....	C3-761
Aldissi (M.).- Voir Rommelmann (H.).....	C3-83	Baughman (R.H.).- Voir Shacklette (L.W.).....	C3-559
Alla (M.).- Voir Heinmaa (I.)..	C3-357	Baughman (R.H.).- Voir Kispert (L.D.).....	C3-317
André (J.J.), Bernard (M.), François (B.) and Mathis (C.).- Depinning of charge carriers in n-type semiconducting polyacetylene.....	C3-199	Baughman (R.H.), Murthy (N.S.), Miller (G.G.), Shacklette (L.W.) and Metzger (R.M.).- Structure and properties of conducting polyacetylene complexes.....	C3-53
André (J.J.).- Voir Davenas (J.)	C3-183	Bauhofer (W.).- Voir Ehinger (K.).....	C3-115
André (J.J.).- Voir Guillaud (G.).....	C3-101	Belinskii (A.E.).- Voir Ovchinnikov (A.A.).....	C3-511
André (J.M.).- Voir Brédas (J.L.).....	C3-373	Bénière (F.), Boils (D.), Cánepa (H.), Franco (J.), Le Corre (A.) and Louboutin (J.P.).- Solid state batteries with conducting polymers	C3-567
Armand (M.).- Conductive polymers as electrode materials.	C3-551	Benoit (C.).- Voir Bernard (O.)	C3-345
Armand (M.B.).- Voir Skotheim (T.A.).....	C3-615	Bernard (M.).- Voir André (J.J.)	C3-199
Baeriswyl (D.).- Impurity-induced defect states in polyacetylene.....	C3-381		
Baker (G.L.) and Bates (F.S.).- Soluble polyacetylene.....	C3-11		
Baker (G.L.).- Voir Orenstein (J.).....	C3-407		
Baker (G.L.).- Voir Vardeny (Z.).....	C3-325		

- Bernard (O.), Palpacuer (M.), Benoit (C.), Rolland (M.) and Abadie (M.J.M.).- Optical properties of heavily doped polyacetylene films C3-345
- Bernier (P.).- Voir Billaud (D.)..... C3-33
- Bernier (P.), El-Khodary (A.) and Rachdi (F.).- E.S.R. study during the electrochemical n-type doping of $(CH)_x$ C3-307
- Bernier (P.), El-Khodary (A.), Maurice (F.), Fabre (C.), Mirebeau (P.) and Ledunois (A.M.).- $(CH)_x$ as an electrode material: some properties during the electrochemical process..... C3-583
- Bernier (P.).- Voir Rachdi (F.) C3-97
- Berthet (G.).- Voir Barbarin (F.)..... C3-749
- Bidan (G.).- Voir Devreux (F.). C3-621
- Bigelow (R.).- Voir Epstein (A.J.)..... C3-61
- Bill (H.).- Voir Iqbal (Z.).... C3-761
- Billaud (D.), Haleem (M.A.), Lefrant (S.) et Krichene (S.).- Dopage et dégradation du polyacétylène par l'acide nitrique..... C3-175
- Billaud (D.), Kulszewicz (I.), Proń (A.), Bernier (P.) and Lefrant (S.).- Formation of highly conducting derivatives of polyacetylene through oxidation with selected metal halides C3-33
- Billaud (D.).- Voir Przyluski (J.)..... C3-29
- Billaud (D.).- Voir Selig (H.) C3-179
- Bishop (A.R.), Campbell (D.K.) and Fesser (K.).- Polarons in quasi-one-dimensional conducting polymers..... C3-423
- Blanc (J.P.).- Voir Barbarin (F.)..... C3-749
- Boils (D.).- Voir Bénéière (F.) C3-567
- Boils (D.), Schuë (F.), Sledz (J.) and Giral (L.).- Doping of $(CH)_x$ films with lanthanides salts..... C3-189
- Bott (D.C.), Chai (C.K.), Edwards (J.H.), Feast (W.J.), Friend (R.H.) and Horton (M.E.).- A new form of polyacetylene..... C3-143
- Bott (D.C.), Chai (C.K.), Gerrard (D.L.), Weatherhead (R.H.), White (D.) and Williams (K.P.J.).- Structural studies on undoped poly(acetylene)..... C3-45
- Boudreaux (D.S.).- Voir Brédas (J.L.)..... C3-373
- Brant (P.).- Voir Weber (D.C.) C3-639
- Brant (P.).- Voir White (C.T.) C3-443
- Brédas (J.L.), Thémans (B.), André (J.M.), Chance (R.R.), Boudreaux (D.S.) and Silbey (R.).- Theoretical studies of the physics of charged defect formation in doped organic polymers : towards a coherent theoretical picture. C3-373
- Brivio (G.P.) and Mulazzi (E.).- Structural properties of trans $(CH)_x$ from absorption and resonant Raman scattering spectra analysis..... C3-261
- Bubeck (Ch.).- Voir Tieke (B.).. C3-753
- Budrowski (C.).- Voir Przyluski (J.)..... C3-29
- Bulka (B.R.).- Electronic structure of some conducting polymers..... C3-459
- Campbell (D.K.).- Voir Bishop (A.R.)..... C3-423
- Cánepa (H.).- Voir Bénéière (F.) C3-567
- Cavanaugh (D.M.).- Voir Jones (T.E.)..... C3-333
- Cernia (E.), D'Ilario (L.) and Nencini (G.).- Potential energy calculations on polyacetylene..... C3-447

Cernia (E.), D'Illario (L.), Ferretti (E.) and Nencini (G.).- Doping kinetics of polyacetylene in the short range.....	C3-167	Clarke (T.C.).- Voir Dalton (L.R.).....	C3-229
Cernia (E.).- Voir Perego (G.).	C3-93	Clarke (T.C.).- Voir Scott (J.C.).....	C3-365
Chai (C.K.).- Voir Bott (D.C.).	C3-45	Clarke (T.C.).- Voir Shiren (N.S.).....	C3-223
Chai (C.K.).- Voir Bott (D.C.).	C3-143	Clarke (T.C.).- Voir Street (G.B.).....	C3-599
Champagne (M.).- Voir Gazard (M.).....	C3-537	Comès (R.).- Voir Robin (P.)...	C3-77
Chance (R.R.).- Voir Brédas (J.L.).....	C3-373	Comès (R.).- Voir Robin (P.)...	C3-87
Chapoy (L.L.) and Munck (D.K.).- Photoconductivity in orien- ted polymers and liquid crystalline model compounds containing carbazole.....	C3-697	Crecelius (G.).- Voir Fink (J.)	C3-683
Chatain (D.).- Voir Elsayed (T.).....	C3-131	Crecelius (G.).- Voir Fink (J.)	C3-741
Chien (J.C.W.).- Voir Reynolds (J.R.).....	C3-171	Cukor (P.).- Voir Tripathy (S.K.).....	C3-37
Chien (J.C.W.).- Voir Reynolds (J.R.).....	C3-693	Curran (D.J.).- Voir Reynolds (J.R.).....	C3-171
Chien (J.C.W.).- Voir Schen (M.A.).....	C3-163	Curtis (B.J.).- Voir Kiess (H.)	C3-285
Cho (S.I.).- Voir Sokol (P.E.)	C3-349	Dalton (L.).- Voir Shiren (N.S.)	C3-223
Chroboczek (J.A.) and Summerfield (S.).- AC hop- ping conduction in undoped transpolyacetylene.....	C3-517	Dalton (L.R.).- Voir Jones (M.T.).....	C3-455
Chung (T.C.).- Voir Etemad (S.).....	C3-413	Dalton (L.R.), Thomann (H.), Kim (H.), Tomkiewicz (Y.), Shiren (N.S.) and Clarke (T.C.).- Magnetic properties II : ENDOR of undoped cis- (CH) _x	C3-229
Chung (T.C.).- Voir MacDiarmid (A.G.).....	C3-513	Dalton (L.R.).- Voir Thomann (H.).....	C3-313
Chung (T.C.).- Voir Vardeny (Z.).....	C3-403	Datz (A.).- Voir Hanack (M.)...	C3-633
Clark (W.G.), Glover (K.), Mozurkewich (G.), Murayama (C.T.), Sanny (J.), Etemad (S.) and Maxfield (M.).- Electron spin motion in trans-(CH) _x	C3-239	Dandreaux (G.F.), Calvin (M.E.) and Wnek (G.E.).- Synthesis of graft and block copolymers containing (CH) _x segments.	C3-135
Clarke (T.C.), Kendrick (R.D.) and Yannoni (C.S.).- Nutation NMR studies of polyacetylene	C3-369	Davenas (J.), Xu (X.L.), Maitrot (M.), Gamoudi (M.), Guillaud (G.), André (J.J.), François (B.) and Mathis (C.).- Stability of polyacetylene doped by ion implantation.....	C3-183
		Davenas (J.).- Voir Guillaud (G.).....	C3-101

Davidov (D.), Roth (S.), Neumann (W.).- ESR and con- ductivity studies of doped polyacetylene.....	C3-295	Elert (M.L.), Mintmire (J.W.) and White (C.T.).- Tight- binding studies for electro- active organic polymers.....	C3-451
Dellepiane (G.).- Voir Tubino (R.).....	C3-329	Elhout (J.).- Voir Elsayed (T.)	C3-131
Devreux (F.), Genoud (F.), Nechtschein (M.), Travers (J.P.) and Bidan (G.).- Investigation on the physi- cal properties of poly- pyrrole.....	C3-621	El-Khodary (A.).- Voir Bernier (P.).....	C3-307
Devreux (F.).- Voir Genoud (F.).....	C3-291	El-Khodary (A.).- Voir Bernier (P.).....	C3-583
Devreux (F.).- Voir Nechtschein (M.).....	C3-209	Elsayed (T.), Elhout (J.), François (B.), Mathis (C.), Chatain (D.) et Lacabanne (C.).- Thermostimulated creep study of undoped polyacety- lene CH _x films.....	C3-131
D'Ilario (L.).- Voir Cernia (E.).....	C3-167	Elsenbaumer (R.L.).- Voir Shacklette (L.W.).....	C3-559
D'Ilario (L.).- Voir Zanobi (A.)	C3-309	Emin (D.) and Ngai (K.L.).- Hopping conduction in light- ly doped polyacetylene.....	C3-471
D'Ilario (L.).- Voir Cernia (E.)	C3-447	Emma (T.).- Voir Tripathy (S.K.).....	C3-37
Dray (M.A.) and Seymour (R.J.).- Poly(2,2'-bithiophene) : an electrochromic conducting polymer.....	C3-595	Epstein (A.J.), Rommelmann (H.), Bigelow (R.), Gibson (H.W.), Hoffman (D.M.) and Tanner (D.B.).- Coordinated study of nearly metallic polyacetylene : role of solitons	C3-61
Dubois (J.C.).- Voir Gazard (M.)	C3-537	Epstein (A.J.).- Voir Gibson (H.W.).....	C3-651
Dubois (J.C.).- Voir Schué (F.)	C3-17	Epstein (A.).- Voir Robin (P.)	C3-77
Ducas (L.R.).- Voir Soos (Z.G.).....	C3-467	Epstein (A.J.).- Voir Robin (P.).....	C3-87
Dugay (M.).- Voir Barbarin (F.)	C3-749	Epstein (A.J.).- Voir Rommelmann (H.).....	C3-83
Edwards (J.H.).- Voir Bott (D.C.).....	C3-143	Epstein (A.J.).- Voir Sokol (P.E.).....	C3-349
Ehinger (K.).- Voir Roth (S.)..	C3-69	Erlandsson (R.) and Lundström (I.).- XPS spectra of BF ₄ ⁻ doped polypyrrole in states of different conductivity.....	C3-713
Ehinger (K.), Bauhofer (W.), Menke (K.) and Roth (S.).- Electrical transport proper- ties of iodine doped poly- acetylene.....	C3-115	Etemad (S.).- Voir Clark (W.G.)	C3-239
Ehrenfreund (E.), Moses (D.) and Heeger (A.J.).- The effect of vibronic transition on the interband optical-absorption in (CH) _x	C3-491		
Elert (M.L.).- Voir White (C.T.)	C3-443		
Elert (M.L.).- Voir White (C.T.)	C3-481		

- Etemad (S.), Feldblum (A.),
MacDiarmid (A.G.), Chung
(T.-C.) and Heeger (A.J.).-
Polarons and solitons in
trans-(CH)_x : an optical
study..... C3-413
- Fabre (C.).- Voir Barbarin (F.) C3-749
- Fabre (C.).- Voir Bernier (P.). C3-583
- Fasol (G.) and Friend (R.H.).-
Transient photoluminescence
in cis-polyacetylene..... C3-341
- Faulques (E.) and Lefrant (S.).-
Raman study of doped poly-
acetylenes..... C3-337
- Faulques (E.).- Voir Rachdi
(F.)..... C3-97
- Feast (W.J.).- Voir Bott (D.C.) C3-143
- Feldblum (A.).- Voir Etemad (S.) C3-413
- Feldberg (S.W.).- Voir Skotheim
(T.A.)..... C3-615
- Fernquist (R.).- Voir
Rommelmann (H.)..... C3-83
- Ferretti (E.).- Voir Cernia (E.) C3-167
- Fesser (K.).- Voir Bishop (A.R.) C3-423
- Fink (J.), Crecelius (G.),
Ritsko (J.J.), Stamm (M.),
Freund (H.-J.) and Gonska
(H.).- π electron delocali-
zation in poly-(p-phenylene)
(PPP), polyphenylene sulfide
(PPS) and polyphenylene oxide
(PPO) and AsF₅ doping of
PPP..... C3-741
- Fink (J.), Ritsko (J.J.) and
Crecelius (G.).- Thermal
transformation of local to
extended electronic states
in polyacrylonitrile..... C3-683
- Fischer (J.E.) and Milliken (J.)
.- Ionic limit in graphite-
fluoroarsenate intercalation
compounds..... C3-723
- Flandrois (S.), Hauw (C.) and
François (B.).- Analogies
between graphite intercala-
tion compounds and doped po-
lyacetylenes..... C3-523
- Flood (J.D.) and Heeger (A.J.).-
Photogeneration of solitons
in trans (CH)_x : the
reversed spin charge rela-
tion of the photoexcitations C3-397
- Franco (J.).- Voir Bénéière (F.) C3-567
- François (B.).- Voir André
(J.J.)..... C3-199
- François (B.).- Voir Davenas
(J.)..... C3-183
- François (B.).- Voir Elsayed
(T.)..... C3-131
- François (B.).- Voir Flandrois
(S.)..... C3-523
- François (B.) and Mathis (C.)
.- Chemical N doping of po-
lyacetylene..... C3-21
- François (B.).- Voir Guillaud
(G.)..... C3-101
- François (B.).- Voir Ziliox
(M.)..... C3-361
- Freund (H.-J.).- Voir Fink (J.) C3-741
- Friend (R.H.).- Voir Bott (D.C.) C3-143
- Friend (R.H.).- Voir Fasol (G.) C3-341
- Froyer (G.), Goblot (J.Y.),
Guilbert (J.L.), Maurice
(F.) and Pelous (Y.).- Poly
(para phenylene) : some pro-
perties related to the syn-
thesis method..... C3-745
- Froyer (G.).- Voir Krichene
(S.)..... C3-733
- Froyer (G.).- Voir Maurice (F.) C3-587
- Fujimoto (H.).- Voir Kume (K.). C3-353
- Fujimoto (H.).- Voir Tanaka (J.) C3-279
- Gaines (J.R.).- Voir Sokol
(P.E.)..... C3-349
- Galtier (M.), Gay (J.M.),
Montaner (A.) and Ribert
(J.L.).- Semi conductor to
metal transition in MoCl₅
doped polyacetylene..... C3-107
- Galvin (M.E.).- Voir Dandreaux
(G.F.)..... C3-135

Galvin (M.E.).- Voir Thomann (H.).....	C3-313	Gibson (H.W.), Weagley (R.J.), Prest (W.M.), Mosher (R.) and Kaplan (S.).- <u>Cis-trans</u> isomerization of polyacetylene.....	C3-123
Galvin (M.E.) and Wnek (G.E.).- Electrically conductive polymer-polymer composites....	C3-151	Giral (L.).- Voir Boils (D.)...	C3-189
Gamoudi (M.).- Voir Davenas (J.)	C3-183	Giral (L.).- Voir Schuë (F.)...	C3-17
Garnier (F.).- Voir Gazard (M.)	C3-537	Glover (K.).- Voir Clark (W.G.)	C3-239
Gay (J.M.).- Voir Galtier (M.)	C3-107	Goblot (J.Y.).- Voir Froyer (G.).....	C3-745
Gazard (M.), Dubois (J.C.), Champagne (M.), Garnier (F.) and Tourillon (G.).- Electro-optical properties of thin films of polyheterocycles...	C3-537	Godler (F.), Perscheid (B.), Kaindl (G.), Menke (K.) and Roth (S.).- Mössbauer study of SbF ₅ -doped polyacetylene	C3-233
Geiss (R.H.).- Voir Street (G.B.).....	C3-599	Gonska (H.).- Voir Fink (J.)...	C3-741
Genoud (F.).- Voir Devreux (F.)	C3-621	Gottfredson (D.M.).- Voir Jones (T.E.).....	C3-333
Genoud (F.).- Voir Nechtschein (M.).....	C3-209	Gourley (K.D.).- Voir Reynolds (J.R.).....	C3-693
Genoud (F.), Devreux (F.), Nechtschein (M.) and Travers (J.P.).- ESR study of oxygen trapping in trans-(CH) _x	C3-291	Grant (P.M.) and Batra (I.P.).- Self-consistent crystal potential and band structure of three-dimensional trans-polyacetylene.....	C3-437
Georger (J.).- Voir Tripaphy (S.K.).....	C3-37	Guglielmi (M.).- Voir Nechtschein (M.).....	C3-209
Germain (J.P.).- Voir Barbarin (F.).....	C3-749	Guilbert (J.L.).- Voir Froyer (G.).....	C3-745
Gerrard (D.L.).- Voir Bott (D.C.).....	C3-45	Guillaud (G.).- Voir Davenas (J.).....	C3-183
Gibson (H.W.), Epstein (A.J.), Rommelmann (H.), Tanner (D.B.), Xiao-Quing, Yang and Pochan (J.M.).- Substituted polyacetylene by cyclopolymerization : poly (1,6-heptadiyne) and poly (propiolic anhydride).....	C3-651	Guillaud (G.), Maitrot (M.), Davenas (J.), Xu (X.L.), François (B.), Mathis (C.) and André (J.J.).- Photoconductivity of polyacetylene..	C3-101
Gibson (H.W.).- Voir Epstein (A.J.).....	C3-61	Guiseppi-Elie (A.) and Wnek (G.E.).- Surface chemistry of polyacetylene.....	C3-159
Gibson (H.W.).- Voir Robin (P.)	C3-77	Guiseppi-Elie (A.) and Wnek (G.E.).- Stability of iodine-doped polyacetylene in aqueous environments.....	C3-193
Gibson (H.W.).- Voir Robin (P.)	C3-87		
Gibson (H.W.).- Voir Sokol (P.E.).....	C3-349	Haleem (M.A.).- Voir Billaud (D.).....	C3-175

- Hanack (M.), Datz (A.), Kobel (W.), Koch (J.), Metz (J.), Mezger (M.), Schneider (O.) and Schulze (H.-J.).- Synthesis and properties of conducting bridged macrocyclic metal complexes..... C3-633
- Harbeke (G.).- Voir Kiess (H.). C3-285
- Haupt (S.G.).- Voir Webert (D.C.)..... C3-639
- Hauw (C.).- Voir Flandrois (S.) C3-523
- Heeger (A.J.).- Voir Ehrenfreund (E.)..... C3-491
- Heeger (A.J.).- Voir Etemad (S.)..... C3-413
- Heeger (A.J.).- Voir Flood (J.D.)..... C3-397
- Heeger (A.J.).- Voir Kaufmann (J.H.)..... C3-577
- Heeger (A.J.).- Voir MacDiarmid (A.G.)..... C3-543
- Heeger (A.J.).- Voir Vardeny (Z.)..... C3-403
- Heinmaa (I.), Alla (M.), Vainrub (A.), Lippmaa (E.), Khidekel (M.L.), Kotov (A.I.) and Kozub (G.I.).- ^{13}C NMR studies of iodine doped polyacetylene C3-357
- Hicks (J.C.).- Voir Jones (T.E.)..... C3-333
- Hocker (J.).- Voir Stamm (M.).. C3-667
- Hocker (J.) and Schneider (G.).- A new "processable" polyacetylene modification..... C3-147
- Hoffman (D.M.).- Voir Epstein (A.J.)..... C3-61
- Holczer (K.).- Voir Nechtschein (M.)..... C3-209
- Holloway (J.H.).- Voir Selig (H.)..... C3-179
- Holmström (C.).- Voir Kuivalainen (P.)..... C3-757
- Holmström (C.).- Voir Stubb (H.)..... C3-737
- Horton (M.E.).- Voir Bott (D.C.) C3-143
- Inabe (T.), Lyding (J.W.), Moguel (M.K.) and Marks (T.J.).- Dopant flexibility and processability studies with electrically conductive, face-to-face metallomacrocyclic polymers..... C3-625
- Inokuchi (H.).- Voir Tanaka (J.) C3-279
- Iqbal (Z.), Bill (H.) and Baughman (R.H.).- Vibrational spectra and structure of undoped and doped polyparaphenylene C3-761
- Ishida (H.).- Voir Wellinghoff (S.T.)..... C3-677
- Ishiguro (T.).- Voir Kuroda (S.) C3-303
- Ishiguro (T.).- Voir Tokumoto (M.)..... C3-299
- Ishihara (S.).- Voir Kume (K.). C3-353
- Isotalo (H.).- Voir Stubb (H.). C3-737
- Jayaraman (T.V.).- Voir Kispert (L.D.)..... C3-317
- Jenekhe (S.).- Voir Wellinghoff (S.T.)..... C3-677
- Jestin (M.).- Voir Kabbaj (M.). C3-463
- Jestin (M.), Kabbaj (M.), Albert (J.P.) and Jouanin (C.).- Optical absorption in doped polyacetylene C3-499
- Jones (T.E.), Hicks (J.C.), Stierwalt (D.L.), Cavanaugh (D.M.) and Gottfredson (D.M.).- Extended range optical absorption spectra of electrochemically doped trans $(\text{CH})_x$ C3-333
- Jones (M.T.), Thomann (H.), Kim (H.), Dalton (L.R.), Robinson (B.H.) and Tomkiewicz (Y.).- A theoretical analysis of electron Zeeman and hyperfine tensors for polyacetylene C3-455
- Joseph (J.).- Voir Kispert (L.D.)..... C3-317

Jotter (R.).- Voir Wolmershäuser (G.).....	C3-729	Kendrick (R.D.).- Voir Clarke (T.C.).....	C3-369
Jouanin (C.).- Voir Albert (J.P.).....	C3-387	Kertesz (M.).- Voir Knoll (P.).	C3-155
Jouanin (C.).- Voir Jestin (M.).....	C3-499	Khidekel (M.L.).- Voir Heinmaa (I.).....	C3-357
Jouanin (C.).- Voir Kabbaj (M.).....	C3-463	Kiess (H.), Harbeke (G.), Curtis (B.J.) and Keller (R.).- Near IR-optical ab- sorption of undoped and doped (CH) _x	C3-285
Kabbaj (M.).- Voir Jestin (M.).	C3-499	Kim (H.).- Voir Dalton (L.R.).	C3-229
Kabbaj (M.), Jestin (M.), Albert (J.P.) and Jouanin (C.).- Study of disorder in poly- acetylene	C3-463	Kim (H.).- Voir Jones (M.T.)..	C3-455
Kahlert (H.).- Voir Leising (G.)	C3-111	Kinoshita (N.).- Voir Kuroda (S.).....	C3-303
Kahlert (H.).- Voir Leising (G.)	C3-139	Kinoshita (N.).- Voir Tokumoto (M.).....	C3-299
Kaindl (G.).- Voir Godler (F.).	C3-233	Kispert (L.D.), Joseph (J.), Jayaraman (T.V.), Shacklette (L.W.) and Baughman (R.H.).- An in situ EPR study of electrochemi- cally doped trans poly- acetylene.....	C3-317
Kajzar (F.); Messier (J.) and Zyss (J.).- Non-linear sus- ceptibility of Langmuir-Blo- gett polydiacetylene thin films	C3-709	Kivelson (S.) and Sethna (J.P.).- Quantum and ther- mal nucleation in polydi- acetylene.....	C3-657
Kaner (P.).- Voir Kaufman (J.H.)	C3-577	Knoll (P.), Kuzmany (H.), Surjan (P.) and Kertesz (M.) .- Preparation and properties of high quality polyacety- lene	C3-155
Kaner (R.B.).- Voir MacDiarmid (A.G.).....	C3-543	Kobayashi (T.).- Voir Shirakawa (H.).....	C3-3
Kanicki (J.).- Review of con- ductor-polymeric semicon- ductor solar cells	C3-529	Kobel (W.).- Voir Hanack (M.)..	C3-633
Kaplan (S.).- Voir Gibson (H.W.)	C3-123	Koch (J.).- Voir Hanack (M.)...	C3-633
Karasz (F.E.).- Voir Reynolds (J.R.).....	C3-171	Kotov (A.I.).- Voir Heinmaa (I.)	C3-357
Karasz (F.E.).- Voir Reynolds (J.R.).....	C3-693	Kozub (G.I.).- Voir Heinmaa (I.)	C3-357
Karasz (F.E.).- Voir Schen (M.A.).....	C3-163	Krichene (S.), Lefrant (S.), Froyer (G.), Maurice (F.) and Pelous (Y.).- Raman scattering induced by undop- ed and doped polyparaphen- ylene.....	C3-733
Kaufman (J.H.), Heeger (A.J.), Kaner (R.), Melé (E.J.), MacDiarmid (A.G.).- Electric field enhanced diffusion in polyacetylene.....	C3-577	Krichene (S.).- Voir Billaud (D.).....	C3-175
Kedrowski (T.).- Voir Wellingtonhoff (S.T.)	C3-677		
Kelen (T.).- Voir Vancsó (G.)..	C3-701		
Keller (R.).- Voir Kiess (H.)..	C3-285		

- Kucharski (Z.), Łukasiak (M.), Suwalski (J.) and Pron (A.).- Mössbauer spectroscopy studies of polyacetylene doped chemically and electrochemically with iron chlorides C3-321
- Kuivalainen (P.), Stubb (H.), Raatikainen (P.) and Holmström (C.).- Electron spin resonance studies of magnetic defects in FeCl_3 -doped polyparaphenylene $(\text{p-C}_6\text{H}_4)_x$ C3-757
- Kuivalainen (P.).- Voir Stubb (H.)..... C3-737
- Kulesza (M.).- Voir Wacławek (W.)..... C3-673
- Kulshewicz (I.).- Voir Billaud (D.)..... C3-33
- Kume (K.), Mizuno (K.), Mizoguchi (K.), Nomura (K.), Takayama (H.), Ishihara (S.), Tanaka (J.), Tanaka (M.), Fujimoto (H.) and Shirakawa (H.).- Temperature dependence of NMR T_1 and χ in Br_3 , AsF_6 -doped $(\text{CH})_x$ C3-353
- Kuroda (S.).- Voir Tokumoto (M.)..... C3-299
- Kuroda (S.), Tokomoto (M.), Kinoshita (N.), Ishiguro (T.) and Shirakawa (H.).- Distribution of spin density in undoped $(\text{CH})_x$ C3-303
- Kuzmany (H.).- Structural aspects of polyacetylene from resonance Raman scattering C3-255
- Kuzmany (H.).- Voir Knoll (P.) C3-155
- Lacabanne (C.).- Voir Elsayed (T.)..... C3-131
- Le Corre (A.).- Voir Bénéière (F.)..... C3-567
- Lee (V.Y.).- Voir Street (G.B.) C3-599
- Ledunois (A.M.).- Voir Bernier (P.) C3-583
- Lefrant (S.).- Voir Krichene (S.) C3-733
- Lefrant (S.).- Voir Faulques (E.)..... C3-337
- Lefrant (S.).- Resonance Raman scattering induced by polyacetylene and derivatives.. C3-247
- Lefrant (S.).- Voir Billaud (D.)..... C3-33
- Lefrant (S.).- Voir Billaud (D.)..... C3-175
- Lefrant (S.).- Voir Rachdi (F.) C3-97
- Leising (G.), Stelzer (F.) and Kahlert (H.).- Synthesis and properties of $(\text{CH})_x$ -films prepared by polymerization of BTM-TCDT..... C3-139
- Leising (G.) and Kahlert (H.).- Thermal properties of doped and undoped $(\text{CH})_x$ C3-111
- Lieser (G.).- Voir Tieke (B.).. C3-753
- Lillya (C.P.).- Voir Reynolds (J.R.)..... C3-171
- Lillya (C.P.).- Voir Reynolds (J.R.)..... C3-693
- Lindberg (J.J.).- Voir Stubb (H.)..... C3-737
- Lippmaa (E.).- Voir Heinmaa (I.)..... C3-357
- Louboutin (J.P.).- Voir Bénéière (F.)..... C3-567
- Lugli (G.).- Voir Perego (G.).. C3-93
- Łukasiak (M.).- Voir Kucharski (Z.)..... C3-321
- Lundström (I.).- Voir Erlandsson (R.)..... C3-713
- Lyding (J.W.).- Voir Inabe (T.) C3-625
- MacDiarmid (A.G.).- Voir Etemad (S.)..... C3-413
- MacDiarmid (A.G.) and Chung (T.-C.).- Polaron-soliton model for macroscopic conduction in doped polyacetylene..... C3-513

- | | |
|---|---|
| MacDiarmid (A.G.), Kaner (R.B.)
Mammone (R.J.) and Heeger
(A.J.).- The aqueous and non-
aqueous electrochemistry of
polyacetylene : application
in high power density rechar-
geable batteries C3-543 | Mehring (M.), Seidel (H.), Weber
(H.) and Wegner (G.).- High
resolution NMR and time re-
solved ESR on polyacetylene. C3-217 |
| MacDiarmid (A.G.).- Voir
Kaufman (J.H.)..... C3-577 | Mel   (E.J.).- Voir Kaufman (J.H.) C3-577 |
| MacInnes (D.).- Voir Teoh (H.) C3-687 | Mel   (E.J.).- Voir Rice (M.J.). C3-393 |
| Maitrot (M.).- Voir Davenas
(J.)..... C3-183 | Mel   (E.J.).- Theory of inelas-
tic light scattering pro-
cesses in (CH) _x C3-267 |
| Maitrot (M.).- Voir Guillaud
(G.)..... C3-101 | Menke (K.).- Voir Ehinger (K.). C3-115 |
| Maki (K.).- Soliton diffusion
in polyacetylene C3-485 | Menke (K.).- Voir Godler (F.).. C3-233 |
| Mammone (R.J.).- Voir
MacDiarmid (A.G.)..... C3-543 | Menke (K.).- Voir Roth (S.).... C3-69 |
| Marks (T.J.).- Voir Inabe (T.) C3-625 | Messier (J.).- Voir Kajzar (F.) C3-709 |
| Mathis (C.).- Voir Andr   (J.J.) C3-199 | Metz (P.D.).- Voir Teoh (H.)... C3-687 |
| Mathis (C.).- Voir Davenas
(J.)..... C3-183 | Metz (J.).- Voir Hanack (M.)... C3-633 |
| Mathis (C.).- Voir Elsayed
(T.)..... C3-131 | Metzger (R.M.).- Voir Baughman
(R.H.)..... C3-53 |
| Mathis (C.).- Voir Fran  ois
(B.)..... C3-21 | Meurer (B.).- Voir Ziliox (M.). C3-361 |
| Mathis (C.).- Voir Guillaud
(G.)..... C3-101 | Mezger (M.).- Voir Hanack (M.). C3-633 |
| Mathis (C.).- Voir Ziliox (M.). C3-361 | Mih  ly (G.).- Voir Pekker (S.). C3-203 |
| Maurice (F.).- Voir Krichene
(S.)..... C3-733 | Mikawa (H.).- Voir Nogami (T.). C3-573 |
| Maurice (F.), Froyer (G.) and
Pelous (Y.).- Electrochemical
oxidation of polyparapheny-
lene..... C3-587 | Miller (G.G.).- Voir Baughman
(R.H.)..... C3-53 |
| Maurice (F.).- Voir Bernier
(P.)..... C3-583 | Milliken (J.).- Voir Peebles
(D.L.)..... C3-591 |
| Maurice (F.).- Voir Froyer (G.) C3-745 | Milliken (J.).- Voir Fischer
(J.E.)..... C3-723 |
| Maxfield (M.).- Voir Clark
(W.G.)..... C3-239 | Mintmire (J.W.), White (C.T.),
and Peebles (D.L.).- Dielec-
tric properties of polyace-
tylene..... C3-507 |
| Megnamisi-B  lomb   (M.).- Desi-
gned synthesis of novel one-
dimensional materials with
pseudo-(SN) _x bundle struc-
ture C3-717 | Mintmire (J.W.).- Voir Elert
(M.L.)..... C3-451 |
| | Mintmire (J.W.).- Voir White
(C.T.)..... C3-481 |
| | Mirebeau (P.).- Voir Bernier
(P.)..... C3-583 |
| | Mirebeau (P.).- Electronic
and ionic transport proper-
ties of electrodeposited
polypyrrole films..... C3-579 |

- Misurkin (I.A.).- Voir
Ovchinnikov (A.A.)..... C3-511
- Mizogami (S.).- Voir Murakami
(M.)..... C3-705
- Mizoguchi (K.).- Voir Kume (K.) C3-353
- Mizuno (K.).- Voir Kume (K.)... C3-353
- Moguel (M.K.).- Voir Inabe (T.) C3-625
- Montaner (A.).- Voir Galtier
(M.)..... C3-107
- Moses (D.).- Voir Ehrenfreund
(E.)..... C3-491
- Moses (D.).- Voir Vardeny (Z.). C3-403
- Mosher (R.).- Voir Gibson
(H.W.)..... C3-123
- Mozurkewich (G.).- Voir Clark
(W.G.)..... C3-239
- Mulazzi (E.).- Voir Brivio
(G.P.)..... C3-261
- Munck (D.K.).- Voir Chapoy
(L.L.)..... C3-697
- Murakami (N.), Yasujima (H.),
Yumoto (Y.), Mizogami (S.)
and Yoshimura (S.).- Electrical
and structural properties
of a new conducting polymers :
pyrolytic poly(p-phenylene-
1,3,4-oxadiazole)..... C3-705
- Murayama (C.T.).- Voir Clark
(W.G.)..... C3-239
- Murday (J.S.).- Voir Peebles
(D.L.)..... C3-591
- Murthy (N.S.).- Voir Baughman
(R.H.)..... C3-53
- Nagy (T.T.).- Voir Vancsó (G.). C3-701
- Nawa (M.).- Voir Nogami (T.)... C3-573
- Nazzari (A.).- Voir Street (G.B.) C3-599
- Nechtschein (M.).- Voir Devreux
(F.)..... C3-621
- Nechtschein (M.).- Voir Genoud
(F.)..... C3-291
- Nechtschein (M.), Devreux (F.),
Genoud (F.), Guglielmi (M.)
and Holczer (K.).- Spin dyna-
mics and soliton motion in
trans-(CH)_x..... C3-209
- Nemoto (H.).- Voir Tokumoto (M.) C3-299
- Nencini (G.).- Voir Cernia (E.) C3-167
- Nencini (G.).- Voir Cernia (E.) C3-447
- Neumann (W.).- Voir Davidov (D.) C3-295
- Ngai (K.L.).- Voir Emin (D.).. C3-471
- Nogami (T.), Mikawa (H.) and
Nawa (M.).- Lightweight,
stable, and rechargeable
battery and capacitor with
activated carbon fiber elec-
trode C3-573
- Nohr (R.S.).- Voir Weber (D.C.) C3-639
- Nomura (K.).- Voir Kume (K.).. C3-353
- Ohzeki (K.).- Voir Yamabe (T.) C3-645
- Orenstein (J.).- Voir Vardeny
(Z.)..... C3-325
- Orenstein (J.), Baker (G.L.)
and Vardeny (Z.).- Photo-
generated gap states in
polyacetylene..... C3-407
- Ovchinnikov (A.A.), Belinskii
(A.E.), Misurkin (I.A.) and
Ukrainskii (I.I.).- Peierls
instability and vibrational
spectra of polyacetylene... C3-511
- Palpacuer (M.).- Voir Bernard
(O.)..... C3-345
- Parodi (O.).- Models for the
kinetics of cis-trans isome-
rizations in polyacetylenes. C3-119
- Pedretti (U.).- Voir Perego
(G.)..... C3-93
- Peebles (D.L.), Murday (J.S.),
Weber (D.C.) and Milliken
(J.).- Electrical characteris-
tics of an aluminum : trans-
polyacetylene : gold photo-
diode..... C3-591
- Peebles (D.L.).- Voir Mintmire
(J.W.)..... C3-507

Pekker (S.) and Mihály (G.).- Thermal decomposition of iodine doped polyacetylene..	C3-203	Raatikainen (P.).- Voir Stubb (H.).....	C3-737
Pelous (Y.).- Voir Froyer (G.).	C3-745	Rachdi (F.).- Voir Bernier (P.)	C3-307
Pelous (Y.).- Voir Krichene (S.)	C3-733	Rachdi (F.), Bernier (P.), Faulques (E.), Lefrant (S.) and Schuë (F.).- n-type doping of (CH) _x : mole- cular diffusion of the do- pant.....	C3-97
Pelous (Y.).- Voir Maurice (F.)	C3-587		
Peo (M.).- Voir Roth (S.).....	C3-69		
Perego (G.), Lugli (G.), Pedretti (U.) and Cernia (E.).- An X-ray investi- gation on cis-trans poly- acetylenes.....	C3-93	Reynolds (J.R.), Karasz (F.E.) Chien (J.C.W.), Gourley (K.D.) and Lillya (C.P.).- Electri- cally conducting aromatic polymers : poly(phenylene vi- nylene) and its analogs.....	C3-693
Perscheid (B.).- Voir Godler (F.).....	C3-233	Reynolds (J.R.), Chien (J.C.W.) Karasz (F.E.), Lillya (C.P.) and Curran (D.J.).- Iron (III) perchlorate doping of polyacetylene.....	C3-171
Pflugger (P.).- Voir Street (G.B.).....	C3-599	Ribet (J.L.).- Voir Galtier (M.)	C3-107
Pflugger (P.) and Street (G.B.).- The chemical structure of conducting polyheterocyclic films : XPS studies.....	C3-609	Rice (M.J.) and Melé (E.J.).- Elementary excitations of a lineary conjugated diatomic polymer	C3-393
Philipp (A.).- Voir Röss (W.)..	C3-127	Ritsko (J.J.).- Voir Fink (J.).	C3-683
Piaggio (P.).- Voir Tubino (R.)	C3-329	Ritsko (J.J.).- Voir Fink (J.).	C3-741
Piseri (L.).- Voir Tubino (R.).	C3-329	Robert (H.).- Voir Barbarin (F.)	C3-749
Pochan (J.M.).- Voir Gibson (H.W.).....	C3-651	Robin (P.), Pouget (J.P.), Comès (R.), Gibson (H.W.) and Epstein (A.J.).- Structural study of the cis-to-trans thermal isomerization in po- lyacetylene	C3-77
Pouget (J.P.).- Voir Robin (P.)	C3-77		
Pouget (J.P.).- Voir Robin (P.)	C3-87	Robin (P.), Pouget (J.P.), Comès (R.), Gibson (H.W.) and Epstein (A.J.).- X-ray dif- fraction studies of iodine doped polyacetylene	C3-87
Prest (W.M.).- Voir Gibson (H.W.).....	C3-123	Robinson (B.H.).- Voir Jones (M.T.).....	C3-455
Proń (A.).- Voir Billaud (D.).	C3-33	Roland (M.).- Voir Schuë (F.)..	C3-17
Proń (A.).- Voir Kucharski (Z.)	C3-321	Rolland (M.).- Voir Bernard (O.)	C3-345
Proń (A.).- Voir Przyluski (J.)	C3-29	Rommelmann (H.).- Voir Epstein (A.J.).....	C3-61
Proń (A.).- Voir Selig (H.)...	C3-179		
Przyluski (J.), Billaud (D.), Zagorska (M.), Budrowski (C.) and Proń (A.).- Inser- tion of FeCl ₄ ⁻ , AlCl ₄ ⁻ and HSO ₄ ⁻ ions into polyac- etylene-study of the reac- tion conditions and proper- ties of the products.....	C3-29	Rommelmann (H.).- Voir Gibson (H.W.).....	C3-651
Raatikainen (P.).- Voir Kuivalainen (P.).....	C3-757		

- Rommelmann (H.), Fernquist (R.)
Epstein (A.J.), Woerner (T.)
and Aldissi (M.).- Effects
of sample mounting techniques
on apparent polyacetylene
morphology..... C3-83
- Röss (W.), Philipp (A.) and
Seeger (K.).- Corbino resis-
tance of iodine doped poly-
acetylene..... C3-127
- Roth (S.).- Voir Davidov (D.). C3-295
- Roth (S.).- Voir Ehinger (K.). C3-115
- Roth (S.).- Voir Godler (F.).. C3-233
- Roth (S.), Ehinger (K.), Menke
(K.), Peo (M.) and Schweizer
(R.J.).- Polyacetylene : la
chasse aux solitons C3-69
- Rubner (M.).- Voir Tripathy
(S.K.)..... C3-37
- Sanny (J.).- Voir Clark (W.G.) C3-239
- Sato (N.).- Voir Tanaka (J.).. C3-279
- Schen (M.A.), Chien (J.C.W.)
and Karasz (F.E.).- Molecu-
lar weight and kinetics of
acetylene polymerization .. C3-163
- Schneider (O.).- Voir Hanack
(M.)..... C3-633
- Schneider (G.).- Voir Hocker
(J.)..... C3-147
- Schrieffer (J.R.).- Voir Ball
(R.)..... C3-429
- Schuë (F.).- Voir Boils (D.)... C3-189
- Schuë (F.), Aldissi (M.), Dubois
(J.C.), Giral (L.), Roland
(M.) and Sledz (J.).- Polyme-
rization of acetylene with
new catalysts. New doping
agents. Morphology and elec-
trical conductivity of the
doped polyacetylene films .. C3-17
- Schuë (F.).- Voir Rachdi (F.).. C3-97
- Schulze (H.-J.).- Voir Hanack
(M.)..... C3-633
- Schweizer (R.J.).- Voir Roth
(S.)..... C3-69
- Scott (J.C.).- Voir Street
(G.B.)..... C3-599
- Scott (J.C.) and Clarke (T.C.).-
Nuclear magnetic relaxation
in polyacetylene C3-365
- Seeger (K.).- Voir Röss (W.)... C3-127
- Seidel (H.).- Voir Mehring (M.) C3-217
- Selig (H.), Holloway (J.H.),
Proñ (A.) and Billaud (D.).-
Doping of (CH)_x films
with metal penta- and hexa-
fluorides C3-179
- Sethna (J.P.).- Voir Kivelson
(S.)..... C3-657
- Seymour (R.J.).- Voir Druy
(M.A.)..... C3-595
- Shacklette (L.W.), Elsenbaumer
(R.L.) and Baughman (R.H.).-
Electrochemical cells em-
ploying polyacetylene and
poly-(p-phenylene) as active
materials C3-559
- Shacklette (L.W.).- Voir
Baughman (R.H.)..... C3-53
- Shacklette (L.W.).- Voir Kispert
(L.D.)..... C3-317
- Shimizu (M.).- Voir Tanaka (J.) C3-279
- Shirakawa (H.) and Kobayashi
(T.).- Chemical doping of
polyacetylene by transition
metal halides C3-3
- Shirakawa (H.).- Voir Kume (K.) C3-353
- Shirakawa (H.).- Voir Kuroda
(S.)..... C3-303
- Shirakawa (H.).- Voir Tokumoto
(M.)..... C3-299
- Shiren (N.S.), Tomkiewicz (Y.)
Thomann (H.), Dalton (L.),
and Clarke (T.C.).- Magnetic
properties I: electronic T₂
and T₁ in undoped (CH)_x
and (CD)_x..... C3-223
- Shiren (N.S.).- Voir Dalton
(L.R.)..... C3-229

- Siddiqui (A.S.).- Photogeneration and geminate recombination of charge carriers in a quasi-one-dimensional system..... C3-495
- Silbey (R.).- Voir Brédas (J.L.)..... C3-373
- Skotheim (T.A.), Feldberg (S.W.) and Armand (M.B.).- Polypyrrole electrodes. Charge transfer to aqueous and solid polymer electrolytes..... C3-615
- Sledz (J.).- Voir Boils (D.)... C3-189
- Sledz (J.).- Voir Schué (F.)... C3-17
- Sokol (P.E.), Gaines (J.R.), Cho (S.I.), Tanner (D.B.), Gibson (H.W.) and Epstein (A.J.).- Frequency and temperature dependence of ^1H NMR of trans-(CH)_x..... C3-349
- Soos (Z.G.) and Ducasse (L.R.).- Electronic correlations and midgap absorption in polyacetylene C3-467
- Spegt (P.).- Voir Ziliox (M.).. C3-361
- Stamm (M.) and Hocker (J.).- Structural changes in polyparaphenylene by the doping with AsF₅ and alkali metals C3-667
- Stamm (M.).- Voir Fink (J.).... C3-741
- Stelzer (F.).- Voir Leising (G.) C3-139
- Stierwalt (D.L.).- Voir Jones (T.E.) C3-333
- Strait (J.).- Voir Vardeny (Z.) C3-403
- Street (G.B.), Clarke (T.C.), Geiss (R.H.), Lee (V.Y.), Nazzari (A.), Pfluger (P.) and Scoot (J.C.).- Characterization of polypyrrole C3-599
- Street (G.B.).- Voir Pfluger (P.)..... C3-609
- Stubb (H.).- Voir Kuivalainen (P.)..... C3-757
- Stubb (H.), Isotalo (H.), Kuivalainen (P.), Lindberg (J.J.), Raatikainen (P.) and Holmström (C.).- dc and microwave conductivity of FeCl₃-doped polyparaphenylene (p-C₆H₄)_x..... C3-737
- Su (W.P.).- Voir Ball (R.)..... C3-429
- Summerfield (S.).- Voir Chroboczek (J.A.)..... C3-517
- Surjan (P.).- Voir Knoll (P.). C3-155
- Suwalski (J.).- Voir Kucharski (Z.)..... C3-321
- Takayama (H.).- Voir Kume (K.) C3-353
- Tanaka (K.).- Voir Yamabe (T.) C3-645
- Tanaka (J.), Tanaka (M.), Fujimoto (H.), Shimizu (M.), Sato (N.) and Inokuchi (H.).- Spectral studies on the electronic structure of polyacetylene..... C3-279
- Tanaka (J.).- Voir Kume (K.).. C3-353
- Tanaka (M.).- Voir Kume (K.).. C3-353
- Tanaka (M.).- Voir Tanaka (J.) C3-279
- Tanner (D.B.).- Voir Gibson (H.W.)..... C3-651
- Tanner (D.B.).- Voir Epstein (A.J.)..... C3-61
- Tanner (D.B.).- Voir Sokol (P.E.)..... C3-349
- Teoh (H.), MacInnes (D.) and Metz (P.D.).- Electrical conductivity of doped polyacrylonitrile (PAN)..... C3-687
- Thémans (B.).- Voir Brédas (J.L.)..... C3-373
- Thomann (H.), Dalton (L.R.), Galvin (M.E.), Wnek (G.E.) and Tomkiewicz (Y.).- Magnetic properties of polyacetylene composites..... C3-313
- Thomann (H.).- Voir Dalton (L.R.)..... C3-229
- Thomann (H.).- Voir Jones (M.T.) C3-455

- Thomann (H.).- Voir Shiren
(N.S.)..... C3-223
- Tieke (B.), Bubeck (Ch.) and
Lieser (G.).- Doping of poly-
paraphenylene - a spectro-
scopic study of thin transpa-
rent films..... C3-753
- Tokumoto (M.).- Voir Kuroda
(S.)..... C3-303
- Tokumoto (M.), Kinoshita (N.),
Kuroda (S.), Ishiguro (T.),
Shirakawa (H.) and Nemoto
(H.).- Magnetic resonance
studies on iodine doping of
polyacetylene C3-299
- Tomkiewicz (Y.).- Voir Dalton
(L.R.)..... C3-229
- Tomkiewicz (Y.).- Voir Jones
(M.T.)..... C3-455
- Tomkiewicz (Y.).- Voir Shiren
(N.S.)..... C3-223
- Tomkiewicz (Y.).- Voir Thomann
(H.)..... C3-313
- Tourillon (G.).- Voir Gazard
(M.)..... C3-537
- Travers (J.P.).- Voir Devreux
(F.)..... C3-621
- Travers (J.P.).- Voir Genoud
(F.) C3-291
- Tripathy (S.K.), Rubner (M.)
Emma (T.), Georger (T.) and
Cukor (P.).- Structural stu-
dies of polyacetylene and
its blends C3-37
- Tubino (R.), Piseri (L.),
Dellepiane (G.) and Piaggio
(P.).- Dispersion curves and
resonant Raman spectrum of
trans polyacetylene C3-329
- Tüdös (F.).- Voir Vancsó (G.). C3-701
- Turcsányi (B.).- Voir Vancsó
(G.)..... C3-701
- Ukrainskii (I.I.).- Voir
Ovchinnikov (A.A.)..... C3-511
- Vainrub (A.).- Voir Heinmaa
(I.)..... C3-357
- Vancsó (G.), Nagy (T.T.),
Turcsányi (B.), Kelen (T.)
and Tüdös (F.).- Formation
of fixed paramagnetic
solitons in a polyacetylene
analogue polymer matrix :
ESR studies in thermally
decomposed PVC..... C3-701
- Vardeny (Z.), Orenstein (J.) and
Baker (G.L.).- Photo induced
infrared active phonons in
trans polyacetylene C3-325
- Vardeny (Z.).- Voir Orenstein
(J.)..... C3-407
- Vardeny (Z.), Strait (J.), Moses
(D.), Chung (T.-C.) and Heeger
(A.J.).- Picosecond photoin-
duced optical anisotropy in
trans - (CH)_x : direct
measurement of soliton diffu-
sion..... C3-403
- Wacławek (W.), Kulesza (M.) and
Ząbkowska (M.).- Metallic
conductivity of copper phtha-
locyanine-carbon black com-
posites..... C3-673
- Weagley (R.J.).- Voir Gibson
(H.W.)..... C3-123
- Weatherhead (R.H.).- Voir Bott
(D.C.)..... C3-45
- Weber (D.C.).- Voir Peebles
(D.L.)..... C3-591
- Weber (H.).- Voir Mehring (M.). C3-217
- Weber (D.C.), Brant (P.), Nohr
(R.S.), Haupt (S.G.) and
Wynne (K.J.).- Conducting
partially oxidized group
IIIA halo-phthalocyanines... C3-639
- Wegner (G.).- Voir Mehring (M.) C3-217
- Weill (G.).- Voir Ziliox (M.).. C3-361
- Wellingshoff (S.T.), Kedrowski
(T.), Jenekhe (S.) and Ishida
(H.).- Synthesis and charac-
terization of highly conduc-
ting, environmentally stable,
iodine complexes of a soluble
poly N-methyl 3,3'carbazolyl C3-677
- White (C.T.), Brant (P.) and
Elert (M.L.).- Cross-links
in polyacetylene..... C3-443

White (C.T.), Elert (M.L.) and Mintmire (J.W.).- Effects of off-diagonal disorder on soliton- and polaron-like states in trans-polyacetylene..	C3-481	Yannoni (C.S.).- Voir Clarke (T.C.).....	C3-369
White (D.).- Voir Bott (D.C.)	C3-45	Yasujima (H.).- Voir Murakami (M.).....	C3-705
White (C.T.).- Voir Elert (M.L.)	C3-451	Yata (S.).- Voir Yamabe (T.)...	C3-645
White (C.T.).- Voir Mintmire (J.W.).....	C3-507	Yoshimura (S.).- Voir Murakami (M.).....	C3-705
Wilhelm (T.).- Voir Wolmershäuser (G.).....	C3-729	Yumoto (Y.).- Voir Murakami (M.).....	C3-705
Williams (K.P.J.).- Voir Bott (D.C.).....	C3-45	Ząbkowska (M.).- Voir Wacławek (W.).....	C3-673
Wnek (G.E.).- Voir Dandreaux (G.F.).....	C3-135	Zagorska (M.).- Voir Przyłuski (J.).....	C3-29
Wnek (G.E.).- Voir Galvin (M.E.).....	C3-151	Zannoni (G.) and Zerbi (G.).- Density of vibrational states of chemically and structurally disordered polyacetylene.....	C3-503
Wnek (G.E.).- Voir Guiseppi-Elie (A.).....	C3-159	Zannoni (G.).- Voir Zerbi (G.).	C3-273
Wnek (G.E.).- Voir Guiseppi-Elie (A.).....	C3-193	Zanobi (A.) and D'Ilario (L.).- EPR and IR investigation on cis-trans isomerization and oxidation of polyacetylene films.....	C3-309
Wnek (G.E.).- Voir Thomann (H.)	C3-313	Zerbi (G.) and Zannoni (G.).- Dynamics and vibrational spectroscopy of doped polyacetylene as one dimensional disordered crystal.....	C3-273
Woerner (T.).- Voir Rommelmann (H.).....	C3-83	Zerbi (G.).- Voir Zannoni (G.).	C3-503
Wolmershäuser (G.), Jotter (R.) and Wilhelm (T.).- Conducting SN polymers with integrated organic groups.....	C3-729	Ziliox (M.), François (B.), Mathis (C.), Meurer (B.), Spegt (P.) and Weill (G.).- NMR investigations of native and doped polyacetylene films.....	C3-361
Wynne (K.J.).- Voir Weber (D.C.).....	C3-639	Zotos (X.).- Quantum sine-Gordon thermodynamics.....	C3-477
Xiao-Quing, Yang.- Voir Gibson (H.W.).....	C3-651	Zyss (J.).- Voir Kajzar (F.)..	C3-709
Xu (X.L.).- Voir Davenas (J.)..	C3-183		
Xu (X.L.).- Voir Guillaud (G.).	C3-101		
Yamabe (T.), Tanaka (K.), Ohzeki (K.) and Yata (S.).- Electric conductivity of polyacenic system - toward one-dimensional graphite	C3-645		

COLLOQUE N° 3 - 1983

Colloque International du CNRS sur la Physique et la Chimie des Métaux Synthétiques et Organiques

Les Arcs (France), 1982

Abderraba (A.), Laversanne (R.) Dupart (E.), Coulon (C.), Delhaes (P.) and Hauw (C.).- Electrocrystallisation and physical properties of di- methyltetraathiafulvalenium salts.....	C3-1243	Amzil (J.), Brutus (M.), Le Coustumer (G.), Hakiki (M.), Hemidy (J.F.), Mollier (Y.), Sauve (J.P.) et Stavaux (M.).- "Métaux organiques": synthè- ses à partir de nouveaux don- neurs d'électrons dérivés de bis(chalcogénopyranylidènes) et de bis(dithiole-1,2 ylidènes)-3:3'.....	C3-1249
Acrivos (J.V.).- Voir Parkin (S.S.P.).....	C3-1011	Andres (K.).- Voir Schwenk (H.)	C3-1041
Acampora (L.A.).- Voir Jones (M.T.).....	C3-1159	Antonio (M.R.).- Voir Averill (B.A.).....	C3-1373
Aharon-Shalom (E.).- Voir Lacoe (C.).....	C3-767	Anzai (H.).- Voir Ishiguro (T.)	C3-831
Aharon-Shalom (E.).- Voir Schwenk (H.).....	C3-1041	Anzai (H.).- Voir Ishiguro (T.)	C3-1063
Ahmad (M.M.).- Voir Cooper (J.R.)	C3-1391	Anzai (H.).- Voir Kagoshima (S.)	C3-1289
Albouy (P.A.), Pouget (J.P.) and Strzelecka (H.).- Diffuse X ray scattering and order-disorder effects in the iodide chain compound 4- (2,6 diphenyl, 4-H-thiopyran- 4 ylidene)-2,6 diphenyl iodi- de, $\text{DIPS}\Phi_4(\text{I}_3)_{0.76}$	C3-1339	Anzai (H.).- Voir Kajimura (K.)	C3-1059
Alcácer (L.).- Voir Lindegaard- Andersen (A.).....	C3-1325	Anzai (H.).- Voir Kinoshita (N.).....	C3-1029
Allen (J.G.).- Voir Ashwell (G.J.).....	C3-1261	Anzai (H.), Moriya (T.), Nozaki (K.), Ukachi (T.) and Saito (G.).- Effects of solvents and cell design for crystal growth of organic metals....	C3-1195
Almeida (M.).- Voir Lindegaard- Andersen (A.).....	C3-1325	Anzai (H.), Tokumoto (M.) and Ishiguro (T.).- Polypyridi- nium-TCNQ complex : a new organic conductor	C3-1229
Almeida (M.).- Voir Steigmeier (E.F.).....	C3-1445	Apel (W.) and Rice (T.M.).- The combined effect of dis- order and interaction on the conductance of a one dimensional fermion system..	C3-935
Amiell (J.).- Voir Delhaes (P.)	C3-1239	Apostol (M.).- Voir Bâldea (I.)	C3-1557
Amiell (J.).- Voir Maaroufi (A.)	C3-1397		

- | | | | |
|--|---------|---|---------|
| Ashwell (G.J.) and Allen (J.G.).-
TCNQ simple salts of diqua-
ternised 4,4'-bipyridyl..... | C3-1261 | Batistić (I.) and Barišić (S.).-
Analytic calculation of the
charge distribution around
the soliton in the 1D system | C3-1543 |
| Aubry (S.).- Voir Le Daëron
(P.Y.)..... | C3-1573 | Bechgaard (K.).- Voir Bouffard
(S.)..... | C3-1437 |
| Auderset (H.).- Voir Steigmeier
(E.F.)..... | C3-1445 | Bechgaard (K.).- Voir Brusetti
(R.)..... | C3-1051 |
| Ausser (K.H.).- Voir Sigg (J.). | C3-1421 | Bechgaard (K.).- Voir Brusetti
(R.)..... | C3-1055 |
| Averill (B.A.), Kauzlarich
(S.M.) and Antonio (M.R.).-
Intercalation of tetrathia-
fulvalene, tetrathiatetracene
and related molecules into
iron oxychloride..... | C3-1373 | Bechgaard (K.).- Voir Creuzet
(F.)..... | C3-1099 |
| Ayroles (R.).- Voir Granier (T.) | C3-1301 | Bechgaard (K.).- Voir Delrieu
(J.M.)..... | C3-1033 |
| Azevedo (L.J.).- Dimensionality
in (TMTSF) ₂ PF ₆ | C3-813 | Bechgaard (K.).- Voir Gallois
(B.)..... | C3-1071 |
| Azevedo (L.J.).- Voir Clark
(W.G.)..... | C3-1493 | Bechgaard (K.).- Voir Garoche
(P.)..... | C3-1047 |
| Baeriswyl (D.).- Voir Steigmeier
(E.F.)..... | C3-1445 | Bechgaard (K.).- Voir Jacobsen
(C.S.)..... | C3-859 |
| Bail (B.).- Voir Dormann (E.).. | C3-1413 | Bechgaard (K.).- Voir Johannsen
(I.)..... | C3-1361 |
| Bâldea (I.) and Apostol (M.).-
Electron-phonon coupling in
KCP..... | C3-1557 | Bechgaard (K.).- Voir Maily
(D.)..... | C3-1025 |
| Bandrauk (A.D.), Truong (K.D),
Carlone (C.) and Jandl (S.).-
Phase transitions in TMAITCNQ
by resonance Raman spectro-
scopy..... | C3-1473 | Bechgaard (K.).- Voir Maily
(D.)..... | C3-1037 |
| Banovetz (L.M.).- Voir Williams
(J.M.)..... | C3-941 | Bechgaard (K.).- Voir Miljak
(M.)..... | C3-893 |
| Barišić (S.).- Coulomb contribu-
tion to the forward coupling
constant - implications for
superconductivity..... | C3-991 | Bechgaard (K.).- Voir Moret
(R.)..... | C3-957 |
| Barišić (S.).- Voir Batistić
(I.)..... | C3-1543 | Bechgaard (K.).- Voir Mortensen
(K.)..... | C3-963 |
| Barišić (S.).- Voir Bjeliš (A.) | C3-1539 | Bechgaard (K.).- Voir Mortensen
(K.)..... | C3-1349 |
| Barišić (S.).- Voir Megtert (S.) | C3-1345 | Bechgaard (K.).- Voir Ng (H.K.) | C3-867 |
| Bates (F.E.).- Voir Eldridge
(J.E.)..... | C3-1465 | Bechgaard (K.).- Voir Pouget
(J.P.)..... | C3-969 |
| Bates (F.E.).- Voir Eldridge
(J.E.)..... | C3-1469 | Bechgaard (K.).- Voir Takahashi
(T.)..... | C3-805 |
| | | Bechgaard (K.).- Voir Thorup
(N.)..... | C3-1017 |
| | | Bechgaard (K.).- Voir Tomić (S.) | C3-1075 |

- Bechgaard (K.).- Voir Tomić (S.) C3-1081
- Bechgaard (K.).- Voir Tomić (S.) C3-1083
- Bechgaard (K.).- Voir Yamaji (K.)..... C3-1321
- Bender (K.), Schweitzer (D.) and Keller (H.J.).- Electric conductivity and thermopower of quasi one-dimensional (peryleno)₂(AsF₆)_{0.75}(PF₆)_{0.95}·0.85CH₂Cl₂ crystals..... C3-1433
- Beno (M.A.).- Voir Williams (J.M.)..... C3-941
- Ben Salem (A.).- Voir Meerschaut (A.)..... C3-1681
- Benson (R.C.).- Voir Potember (R.S.)..... C3-1597
- Bernier (P.).- Voir Liautard (B.)..... C3-1087
- Bertinotti (A.) and Luzet (D.).- The polaron paracrystal and the relation between diffuse and discrete satellites in 1-D bis(oxalato)platinites.. C3-1551
- Bettoli (M.G.).- Voir Bragadin (M.)..... C3-1357
- Bjeliš (A.) and Barišić (S.).- Van der Waals interactions between metallic chains versus Madelung energy of the charge transfer..... C3-1339
- Bjeliš (A.).- Voir Megtert (S.) C3-1345
- Blackman (G.S.).- Voir Williams (J.M.)..... C3-941
- Blanc (C.).- Voir Fournel (A.) C3-879
- Bloch (A.N.) and Mazumdar (S.). Short-range Coulomb effects and the chemical systematics of conducting organic charge-transfer salts..... C3-1273
- Bloch (D.), Voiron (J.), Vettier (C.), Bray (J.W.) and Oostra (S.).- High pressure effects in MEM-(TCNQ)₂..... C3-1317
- Bouffard (S.).- Voir Forró (L.) C3-927
- Bouffard (S.).- Voir Forró (L.) C3-1417
- Bouffard (S.), Ribault (M.), Jérôme (D.) and Bechgaard (K.).- Shubnikov-de Haas oscillations in TMTSF-DMTCNQ C3-1437
- Bourbonnais (C.) and Caron (L.G.).- The influence of one-dimensional quantum fluctuations in quasi-one dimensional conductors..... C3-911
- Boslo (R.), Pecile (C.) and Tosi (P.).- Infrared studies of phase transitions in single- and two-chain organic charge transfer conductors.. C3-1457
- Braam (J.M.).- Voir Williams (J.M.)..... C3-941
- Bradley (R.M.) and Doniach (S.).- Quantum tunneling in one-dimensional superconducting systems..... C3-919
- Bragadin (M.), Scarponi (G.), Ossola (F.), Pucciarelli (F.) and Bettoli (M.G.).- Semiconductor properties of the anodic polymer obtained on platinum from selenocyanate ammoniate..... C3-1357
- Bray (S.W.).- Voir Bloch (D.).. C3-1317
- Brazovskii (S.), Kirova (N.) and Yakovenko (V.).- Electronic excitations in quasi one-dimensional dielectrics..... C3-1525
- Brom (H.B.).- Voir Korving (W.H.)..... C3-1425
- Bruinman (R.) and Emery (V.J.).- Theory of anion ordering in in TMTSF compounds..... C3-1115
- Brun (G.).- Voir Liautard (B.) C3-951
- Brun (G.).- Voir Liautard (B.) C3-1087
- Brunner (H.).- Voir Sigg (J.).. C3-1421
- Brunetti (R.), Bechgaard (K.), Longarich (G.G.) and Friend (R.H.).- High field magnetoresistance measurements of (TMTSF)₂ClO₄..... C3-1055
- Brunetti (R.), Caroché (P.) and Bechgaard (K.).- The magnetic field dependence of the specific heat in (TMTSF)₂ClO₄.. C3-1051

- | | | | |
|--|---------|--|---------|
| Brusetti (R.).- Voir Garoche
(P.)..... | C3-1047 | Chasseau (D.).- Voir Lapouyade
(R.)..... | C3-1235 |
| Brutus (M.).- Voir Amzil (J.).. | C3-1249 | Chasseau (D.), Gaultier (J.),
Miane (J.L.), Coulon (C.),
Delhaes (P.), Flandrois (S.)
Fabre (J.M.) and Giral (L.).-
A new series of radical cation
salts : the trimethylenetetra-
thiafulvalenium pseudo hali-
des salts (tTTF ₂ -X')..... | C3-1223 |
| Carlier (R.).- Voir Le Berre
(V.)..... | C3-1269 | Chen (C.H.).- Voir Fleming
(R.M.)..... | C3-1651 |
| Carlone (C.).- Voir Bandrauk
(A.D.)..... | C3-1473 | Clark (W.G.), Glover (K.), Lan
(M.D.) and Azevedo (L.J.).-
Crossover from localized to
mobile electrons in Qn(TCNQ) ₂ | C3-1493 |
| Carlson (C.D.).- Voir Williams
(J.M.)..... | C3-941 | Clark (W.G.).- Voir Weger (M.). | C3-1673 |
| Carneiro (K.).- Voir Parkin
(S.S.P.)..... | C3-791 | Comès (R.).- Voir Epstein (A.J.) | C3-1479 |
| Carneiro (K.).- Voir Steigmeier
(E.F.)..... | C3-1445 | Comès (R.).- Voir Moret (R.)... | C3-957 |
| Carneiro (K.).- Voir Williams
(J.M.)..... | C3-941 | Comès (R.).- Voir Pouget (J.P.) | C3-969 |
| Carneiro (K.) and Underhill
(A.E.).- Molecular orde-
ring versus electronic in-
stabilities. A route to
chaos?..... | C3-1007 | Comès (R.).- Voir Yamaji (K.).. | C3-1321 |
| Caron (L.G.).- Voir Bourbonnais
(C.)..... | C3-911 | Conwell (E.M.).- Solitons in
bis-tetramethyltetraselena-
fulvalene hexafluorophosphate
[(TMTSF) ₂ PF ₆]..... | C3-1133 |
| Cassoux (P.).- Voir Kulel (F.) | C3-1265 | Conwell (E.M.) and Howard (I.A.)
Solitons in quasi one-dimen-
sional crystals..... | C3-1487 |
| Cassoux (P.).- Voir Valade (L.) | C3-1183 | Cooper (J.R.), Miljak (M.),
Ahmad (M.M.) and Underhill
(A.E.).- Magnetic susceptibi-
lity of the one-dimensional
metal Li _x Pt(C ₂ S ₂ (CN) ₂) ₂ .
2H ₂ O..... | C3-1391 |
| Chaikin (P.M.), Mu-Yong Choi
and Greene (R.L.).- Super-
conductivity and anomalous
magnetotransport in
(TMTSF) ₂ ClO ₄ | C3-783 | Cooper (J.R.).- Voir Miljak
(M.)..... | C3-893 |
| Chaikin (P.M.).- Voir Fuller
(W.W.)..... | C3-1709 | Coppersmith (S.N.).- Scaling
behavior near the pinning
transition of the discrete
Frenkel-Kontorova model..... | C3-1579 |
| Chaikin (P.M.).- Voir Lacoe
(R.C.)..... | C3-767 | Corvan (P.J.).- Voir Hatfield
(E.W.)..... | C3-1377 |
| Chaikin (P.M.).- Voir Mu-Yong
Choi..... | C3-1067 | Coulon (C.).- Voir Abderraba
(A.)..... | C3-1243 |
| Challener (W.A.), Richards
(P.L.) and Greene (R.L.).-
Far infrared properties of
(TMTSF) ₂ ClO ₄ | C3-873 | Coulon (C.).- Voir Chasseau (D.) | C3-1223 |
| Chasseau (D.).- Voir Delhaes
(P.)..... | C3-1239 | Coulon (C.).- Voir Delhaes (P.) | C3-1239 |
| Chasseau (D.).- Voir Gallois
(B.)..... | C3-1071 | | |

- Coulon (C.).- Voir Gallois (B.) C3-1307
- Coulon (C.).- Voir Maaroufi (A.) C3-1091
- Coulon (C.).- Physical properties of the TMTTF salts and TMTSF/TMTTF alloys : competition between the stacks instabilities C3-885
- Cowan (D.O.).- Voir Lerstrup (K.A.)..... C3-1247
- Creuzet (F.).- Voir Mailly (D.) C3-1025
- Creuzet (F.), Parkin (S.S.P.), Jérôme (D.), Bechgaard (K.) and Fabre (J.M.).- Transport properties under pressure of the organic conductors (TMTTF)₂X ; X = PF₆, ClO₄, Br..... C3-1099
- Creuzet (F.).- Voir Takahashi (T.)..... C3-1095
- De Boer (J.).- Voir Janssen (G.) C3-1587
- De Boer (J.).- Voir Oostra (S.) C3-1387
- De Boer (J.L.).- Voir Visser (R.J.J.)..... C3-1219
- De Czito (F.).- Voir Pei-Ling Hsieh..... C3-1753
- De Lange (P.).- Voir Oostra (S.) C3-1383
- De Lange (P.).- Voir Oostra (S.) C3-1387
- Delhaes (P.).- Voir Abderraba (A.)..... C3-1243
- Delhaes (P.), Dupart (E.), Amiell (J.), Coulon (C.), Fabre (J.M.), Giral (L.), Chasseau (D.) and Gallois (B.).- Synthesis and physical properties of dimethyl trimethylene tetrathiafulvalenium salts..... C3-1239
- Delhaes (P.).- Voir Chasseau (D.)..... C3-1223
- Delhaes (P.).- Voir Lapouyade (R.)..... C3-1235
- Delhaes (P.).- Voir Maaroufi (A.)..... C3-1091
- Delrieu (J.M.), Sullivan (N.S.) and Bechgaard (K.).- Low field E.S.R. in the superconducting relaxed state of (TMTSF)₂ClO₄ at low temperature..... C3-1033
- Devreux (F.).- Voir Travers (J.P.)..... C3-1295
- Devreux (F.).- ⁹³Nb NMR study of NbSe₃..... C3-1665
- Dinse (K.P.).- Voir Sigg (J.).. C3-1421
- Doniach (S.).- Voir Bradley (R.M.)..... C3-919
- Dormann (E.), Stöcklein (W.), Sachs (G.), Bail (B.) and Schworer (M.).- Electron spin resonance and relaxation in (fluoranthene)₂PF₆.. C3-1413
- Dumas (J.).- Voir Schlenker (C.)..... C3-1757
- Dupart (E.).- Voir Delhaes (P.) C3-1239
- Dupart (E.).- Voir Abderraba (A.)..... C3-1243
- Eldridge (J.E.), Fortier (N.), Bates (F.E.) and Miller (J.S.).- Far-infrared properties of trimethylammonium iodide tetracyanoquinodimethane..... C3-1465
- Eldridge (J.E.) and Bates (F.E.).- The low-temperature optical properties of TTF-TCNQ in the far-infrared C3-1469
- Emery (V.J.).- Voir Bruinsma (R.)..... C3-1115
- Emery (V.J.).- Some basic questions in organic superconductivity..... C3-977
- Engler (E.M.).- Voir Parkin (S.S.P.)..... C3-791
- Engler (E.M.).- Voir Parkin (S.S.P.)..... C3-791
- Engler (E.M.).- Voir Parkin (S.S.P.)..... C3-1105
- Engler (E.M.).- Voir Parkin (S.S.P.)..... C3-1111

Engler (E.M.).→ Voir Sakai (M.)	C3-1313	Fillion (G.).→ Voir Maaroufi (A.).....	C3-1091
Engler (E.M.).→ Voir Schumaker (R.R.).....	C3-1139	Flandrois (S.).→ Voir Chasseau (D.).....	C3-1223
Enkelmann (V.).→ Radical cation salts of arenes. Synthesis, structures and properties...	C3-1147	Flandrois (S.).→ Voir Maaroufi (A.).....	C3-1091
Enkelmann (V.).→ Voir Geserich (H.P.).....	C3-1461	Flandrois (S.).→ Voir Maaroufi (A.).....	C3-1397
Enoki (T.).→ Voir Saito (G.)...	C3-1215	Flandrois (S.).→ Voir Strzelecka (H.).....	C3-1201
Epstein (A.J.), Kaufer (J.W.), Rommelmann (H.), Miller (J.S.), Comès (R.) and Pouget (J.P.).→ Solitons in nearly commensurate organic charge transfer crystals.....	C3-1479	Fleming (R.M.), Chen (C.H.) and Moncton (D.E.).→ Electric field induced structural changes in NbSe ₃ ?.....	C3-1651
Epstein (A.J.).→ Voir Rommelmann (H.).....	C3-1441	Forró (L.), Mermilliod (N.) and Bouffard (S.).→ Triplet excitons in (NPQn) _{1-x} (NEQn) _x (TCNQ) ₂	C3-1417
Erata (T.).→ Voir Nagasawa (H.)	C3-1737	Forró (L.), Bouffard (S.) and Zuppiroli (L.).→ New results on irradiated organic compounds.....	C3-927
Fabre (J.M.).→ Voir Chasseau (D.).....	C3-1223	Fortier (N.).→ Voir Eldridge (J.E.).....	C3-1465
Fabre (J.M.).→ Voir Creuzet (F.)	C3-1099	Fournel (A.), More (C.), Roger (G.), Sorbier (J.P.) and Blanc (C.).→ Tunneling in organic superconductors.....	C3-879
Fabre (J.M.).→ Voir Delhaes (P.)	C3-1239	Friend (R.H.).→ Voir Brusetti (R.).....	C3-1055
Fabre (J.M.), Galaine (C.) and Giral (L.).→ New organic conductors in TTF family.....	C3-1153	Fukuyama (H.).→ Voir Iwabuchi (S.).....	C3-1001
Fabre (J.M.).→ Voir Pouget (J.P.).....	C3-969	Fukuyama (H.) and Hara (J.).→ Phase - variable description of solitons in Peierls distorted state.....	C3-1501
Fabre (J.M.).→ Voir Takahashi (T.).....	C3-1095	Fuller (W.W.), Wolf (S.A.), Wieting (T.J.), Lacoe (R.C.), Chaikin (P.M.) and Huang (C.Y.).→ Pressure effects in HfTe ₅ and ZrTe ₅	C3-1709
Feinberg (D.) and Ranninger (J.).→ Charge ordering in 1-D molecular type crystals.....	C3-1561	Fung (K.K.).→ Voir Steeds (J.W.)	C3-1623
Fenton (E.W.) and Psaltakis (G.C.).→ Coexistence of superconductivity and spin density waves : (TMTSF) ₂ X...	C3-1129	Galaine (C.).→ Voir Fabre (J.M.)	C3-1153
Fenton (E.W.).→ Voir Psaltakis (G.C.).....	C3-1125		
Filhol (A.).→ Voir Gallois (B.)	C3-1071		
Filhol (A.).→ Voir Gallois (B.)	C3-1307		
Filippini (C.).→ Voir Schlenker (C.).....	C3-1757		

- Gallois (B.), Gaultier (J.), Pouget (J.P.), Coulon (C.) and Filhol (A.).- Phase transition description down to 10K in the first ternary 1d organic conductor : $\text{TMA}^+\text{TCNQ}^{2/3-}(\text{I}_3^-)^{1/3}$ C3-1307
- Gallois (B.), Chasseau (D.), Gaultier (J.), Hauw (C.), Filhol (A.) and Bechgaard (K.).- $(\text{TMTSF})_2\text{ClO}_4$: mean structure at 7K. Comparative study with 300 K and 125 K data..... C3-1071
- Gallois (B.).- Voir Delhaes (P.)..... C3-1239
- Garoché (P.), Brusetti (R.) and Bechgaard (K.).- Quenched and relaxed low temperature states in $(\text{TMTSF})_2\text{ClO}_4$ C3-1047
- Garoché (P.).- Voir Brusetti (R.)..... C3-1051
- Gaultier (J.).- Voir Chasseau (D.)..... C3-1223
- Gaultier (J.).- Voir Gallois (B.)..... C3-1071
- Gaultier (J.).- Voir Gallois (B.)..... C3-1307
- Geserich (H.P.), Koch (B.), Ruppel (W.), Wilckens (R.), Schweitzer (D.), Enkelmann (V.), Wegner (G.), Wieners (G.) and Keller (H.J.).- Plasma reflectance of the one-dimensional organic metals of the type $(\text{arene})_2\text{XF}_6$ (arene = perylene, pyrene or fluoranthene ; X=P, As, Sb)..... C3-1461
- Gionis (V.).- Voir Strzelecka (H.)..... C3-1201
- Giral (L.).- Voir Chasseau (D.)..... C3-1223
- Giral (L.).- Voir Delhaes (P.)..... C3-1239
- Giral (L.).- Voir Fabre (J.M.)..... C3-1153
- Girlando (A.), Pecile (C.) and Painelli (A.).- Vibrational spectroscopy of mixed stack organic semiconductors : comparison with segregated stack systems..... C3-1547
- Gleizes (A.).- Voir Valade (L.)..... C3-1183
- Glover (K.).- Voir Clark (W.G.)..... C3-1493
- Gor'kov (L.P.) and Lebed' (A.G.).- Domain walls and their properties in quasi-one-dimensional crystals..... C3-1531
- Graja (A.), Przybylski (M.), Sekretarczyk (G.), Pukacki (W.), Rajchel (A.), Willis (M.R.), Wallwork (S.C.), Mihály (G.) and Mihály (L.).- Physical properties of a new highly conducting TCNQ salt : $\text{MPht}(\text{TCNQ})_2$ C3-1365
- Graja (A.).- Voir Świetlik (R.)..... C3-1457
- Granier (I.) and Ayroles (R.).- Studies of structural transitions in TMA-TCNQ-I by high voltage electron diffraction..... C3-1301
- Grant (P.M.).- Electronic structure of the 2:1 charge transfer salts of TMTCF..... C3-847
- Grant (P.M.).- The c-axis interaction in $(\text{TMTSF})_2\text{X}$ C3-1121
- Greene (R.L.).- Voir Chaikin (P.M.)..... C3-783
- Greene (R.L.).- Voir Challener (W.A.)..... C3-873
- Greene (R.L.).- Voir Mu-Yong Choi..... C3-1067
- Greene (R.L.).- Voir Parkin (S.S.P.)..... C3-791
- Greer (D.L.).- Voir Williams (J.M.)..... C3-941
- Gressier (P.), Meerschaut (A.), Guemas (L.), Rouxel (J.), Monceau (P.).- New one dimensional Vb transition metal tetrachalcogenides. Structural and transport properties.... C3-1741
- Gruber (H.) and Sassik (H.).- Influence of Mo- and Co-impurities on the non-ohmic dc-conductivity in NbSe_3 C3-1717
- Grüner (G.).- Voir Johnston (D.C.)..... C3-1749

- | | | | |
|---|---------|---|---------|
| Grüner (G.).- Voir Pei-Ling Hsieh..... | C3-1753 | Helberg (H.W.).- Tensor of polarizability in (TMTSF) ₂ X crystals | C3-1021 |
| Grüner (G.).- Voir Klemm (R.A.) | C3-1689 | Hemidy (J.F.).- Voir Amzil (J.) | C3-1249 |
| Grüner (G.).- Voir Weger (M.).. | C3-1673 | Hijmans (T.W.).- Voir Korving (W.H.)..... | C3-1425 |
| Grüner (G.) and Zettl (A.).- Long range phase coherence in the current-carrying charge density wave state..... | C3-1631 | Hirsh (J.E.).- Voir Scalapino (D.J.)..... | C3-1507 |
| Grüner (G.) and Zettl (A.).- Switching and hysteresis in NbSe ₃ | C3-1745 | Hoffman (R.C.).- Voir Potember (R.S.)..... | C3-1597 |
| Guemas (L.).- Voir Gressier (P.)..... | C3-1741 | Hoffmann (S.K.).- Voir Hatfield (E.W.)..... | C3-1377 |
| Guemas (L.).- Voir Meerschaut (A.)..... | C3-1681 | Horovitz (B.).- Solitons in charge and spin density wave systems..... | C3-1519 |
| Guemas (L.).- Voir Pouget (J.P.)..... | C3-1729 | Horovitz (B.).- Voir Gutfreund (H.)..... | C3-983 |
| Gutfreund (H.), Horovitz (B.) and Weger (M.).- Organic superconductors - the role of umklapp, retardation and anisotropy..... | C3-983 | Horovitz (B.).- Voir Sokoloff (J.B.)..... | C3-1667 |
| Hakiki (M.).- Voir Amzil (J.). | C3-1249 | Horovitz (B.) and Trullinger (S.E.).- AC conductivity of near-commensurate charge density waves-application to NbSe ₃ and TaS ₃ | C3-1721 |
| Hara (J.).- Voir Fukuyama (M.). | C3-1501 | Howard (I.A.).- Voir Conwell (E.M.)..... | C3-1487 |
| Harada (S.).- Voir Izumi (M.).. | C3-1705 | Huang (C.Y.).- Voir Fuller (W.W.)..... | C3-1709 |
| Hartzstein (C.), Zevin (V.) and Weger (M.).- The low temperature P-T phase diagram of TTF-TCNQ..... | C3-1335 | Hunziker (M.).- Voir Ramakrishna (B.L.)..... | C3-1409 |
| Hatfield (W.E.), Hoffmann (S.K.), Corvan (P.J.), Singh (P.), Sethulekshmi (C.N.) and Metzger (R.M.).- Excited state EPR of sigma-bonded TCNQ dimers in [Cu(DMP) ₂] ₂ [TCNQ] ₂ | C3-1377 | Ido (M.).- Voir Kawabata (K.).. | C3-1647 |
| Hausser (K.H.).- Voir Sigg (J.) | C3-1421 | Inokuchi (H.).- Voir Saito (G.) | C3-1215 |
| Hauw (C.).- Voir Gallois (B.).. | C3-1071 | Interrante (L.).- Voir Valade (L.)..... | C3-1183 |
| Hauw (C.).- Voir Abderraba (A.) | C3-1243 | Ishida (T.), Mazaki (H.) and Nakada (I.).- Third-harmonic susceptibility $ \chi_3 $ of quasi-one-dimensional superconductors Nb ₃ S ₄ , Nb ₃ Se ₄ and Nb ₃ Te ₄ | C3-1701 |
| Hauw (C.).- Voir Lapouyade (R.)..... | C3-1235 | Ishiguro (T.).- Voir Anzai (H.) | C3-1229 |
| Helberg (H.W.).- Voir Krause (A.) | C3-1429 | Ishiguro (T.).- Voir Kinoshita (N.)..... | C3-1029 |

- Ishiguro (T.), Ukachi (T.), Tokumoto (M.), Murata (K.), Kajimura (K.), Anzai (H.), Kato (K.) and Saito (G.).- Mechanical twinning of $(\text{TMTSF})_2\text{ClO}_4$ single crystal. C3-1063
- Ishiguro (T.).- Voir Kajimura (K.)..... C3-1059
- Ishiguro (T.), Murata (K.), Kajimura (K.), Kinoshita (N.), Tokumoto (H.), Tokumoto (M.), Ukachi (T.), Anzai (H.) and Saito (G.).- Superconductivity and metal-nonmetal transitions in $(\text{TMTSF})_2\text{ClO}_4$ C3-831
- Isihara (A.) and Mukai (M.).- Cyclotrons anomaly in 2-D conductors..... C3-1449
- Iwabuchi (S.) and Fukuyama (H.).- On magnetic properties of $(\text{TMTSF})_2\text{PF}_6$ at ambient pressure..... C3-1001
- Izumi (M.), Uchinokura (K.), Yoshizaki (R.), Harada (S.), Nakayama (T.), Yamada (A.) and Matsuura (E.).- Transport properties and Fermi surfaces in HfTe_5 and ZrTe_5 C3-1705
- Jacobsen (C.), Tanner (D.B.) and Bechgaard (K.).- Infrared and optical properties of TMTSF_2X C3-859
- Jacobsen (C.S.).- Voir Johannsen (I.)..... C3-1361
- Jacobsen (C.S.).- Voir Mortensen (K.)..... C3-963
- Jacobsen (C.S.).- Voir Mortensen (K.)..... C3-1349
- Jandl (S.).- Voir Bandrauk (A.D.)..... C3-1473
- Janossy (A.).- Voir Pei-Ling Hsieh..... C3-1753
- Jansen (S.).- Voir Jones (A.T.) C3-1159
- Janssen (G.), Visser (R.), Jonkman (H.Th.), De Boer (J.) and Kommandeur (J.).- Transfer integrals for TCNQ salts.... C3-1587
- Jérôme (D.).- Voir Tomić (S.).. C3-1081
- Jérôme (D.).- Voir Mailly (D.). C3-1025
- Jérôme (D.).- Voir Bouffard (S.) C3-1437
- Jérôme (D.).- Organic superconductors : three years only!.. C3-775
- Jérôme (D.).- Voir Tomić (S.).. C3-1075
- Jérôme (D.).- Voir Creuzet (F.) C3-1099
- Jérôme (D.).- Voir Takahashi (T.)..... C3-805
- Jérôme (D.).- Voir Tomić (S.).. C3-1083
- Jérôme (D.).- Voir Takahashi (T.)..... C3-1095
- Johannsen (I.).- Voir Thorup (N.)..... C3-1017
- Johannsen (I.).- Voir Maaroufi (A.)..... C3-1397
- Johannsen (I.), Mortensen (K.), Jacobsen (C.S.), Thorup (N.), Rindorf (G.) and Bechgaard (K.).- Conducting cation-radical salts based on DBTTF and its selenium analogue, DBTSF..... C3-1361
- Johnston (D.C.), Stokes (J.P.), Pei-Ling Hsieh and Grüner (G.).- Characterization of the CDW transition on orthorhombic TaS_3 by thermoelectric power and magnetic susceptibility measurements..... C3-1749
- Jones (M.T.), Jansen (S.), Acampora (L.A.) and Sandman (D.J.).- Electrochemical and ESR studies of 5,6,11,12-bis(dichalcogeno)tetracenes and their cation radicals..... C3-1159
- Jonkman (H.Th.).- Voir Janssen (G.)..... C3-1587
- Jonkman (H.Th.), Zwinderman (H.J.) and Kommandeur (J.).- Calculations of the electronic ($4k_F$) and magnetic ($2k_F$) phase transitions from a Hubbard Hamiltonian with an exponentially dependent intersite-transfer integral... C3-1281
- Kagoshima (S.) and Anzai (H.).- Diffuse X-ray studies of the Peierls and the spin Peierls transitions in TMTTF-TCNQ and TMTTF-bromanil..... C3-1289

- | | | | |
|--|---------|--|---------|
| Kagoshima (S.).- Voir Schlenker (C.)..... | C3-1757 | Kirova (N.).- Voir Brazovskii (S.)..... | C3-1525 |
| Kagoshima (S.).- Voir Sakai (M.) | C3-1313 | Klemm (R.A.), Schrieffer (J.R.) and Grüner (G.).- Dynamics of pinned charge density waves in NbSe ₃ | C3-1689 |
| Kajimura (K.).- Voir Ishiguro (T.)..... | C3-831 | Kobayashi (H.).- Voir Saito (G.) | C3-1215 |
| Kajimura (K.), Tokumoto (H.), Tokumoto (M.), Murata (K.), Ukachi (T.), Anzai (H.), Ishiguro (T.) and Saito (G.).- Magnetoresistance of (TMTSF) ₂ ClO ₄ | C3-1059 | Koch (B.).- Voir Geserich (H.P.) | C3-1461 |
| Kajimura (K.).- Voir Ishiguro (T.)..... | C3-1063 | Kommandeur (J.).- Voir Janssen (G.)..... | C3-1587 |
| Kaminskii (V.F.), Kostuchenko (E.E.), Shibaeva (R.P.), Yagubkii (E.B.) and Zvarykina (A.V.).- Quasi-one-dimensional conductors based on thiatetracene (TTT) and tetraselenotetracene (TSeT) with metal complex mercury anions : synthesis, structure properties..... | C3-1167 | Kommandeur (J.).- Voir Jonkman (H.Th.)..... | C3-1281 |
| Kanai (Y.).- Voir Nagasawa (H.) | C3-1737 | Kommandeur (J.).- Voir Korving (W.H.)..... | C3-1425 |
| Kato (K.).- Voir Ishiguro (T.). | C3-1063 | Komorowski (L.).- Calculation of the charge transfer in ion-radical salts..... | C3-1211 |
| Kaufer (J.W.).- Voir Epstein (A.J.)..... | C3-1479 | Komorowski (L.) and Małachowicz (G.).- Crystallization of TCNQ salts from acetonitrile in the presence of association equilibria..... | C3-1207 |
| Kaufer (J.W.).- Voir Rommelmann (H.)..... | C3-1441 | Komorowski (L.).- Magnetic doublet states in quasi-1D tetracyanoquinodimethanides. | C3-1593 |
| Kauzlarich (S.M.).- Voir Averill (B.A.)..... | C3-1373 | Korving (W.H.), Hijmans (T.W.), Brom (H.B.), Oostra (S.), Sawatzky (G.A.) and Kommandeur (J.).- DMM-TCNQ ₂ : a spin-Peierls or magnetic phase transition..... | C3-1425 |
| Kawabata (K.), Ido (M.) and Sambongi (T.).- Correlation between superconductivity and charge-density-waves in Nb _{1-x} Ta _x Se ₃ | C3-1647 | Kostuchenko (E.E.).- Voir Kaminskii (V.F.)..... | C3-1167 |
| Keller (H.J.).- Voir Geserich (H.P.)..... | C3-1461 | Krause (A.), Schäfer (H.W.) and Helberg (H.W.).- Thermal expansion of organic conductors..... | C3-1429 |
| Keller (H.J.).- Voir Bender (K.)..... | C3-1433 | Krivnov (V.Ya.).- Voir Ovchinnikov (A.A.)..... | C3-1513 |
| Kinoshita (N.).- Voir Ishiguro (T.)..... | C3-831 | Krogmann (K.).- Voir Underhill (A.E.)..... | C3-1331 |
| Kinoshita (N.), Ukachi (T.), Tokumoto (M.), Anzai (H.), Ishiguro (T.), Saito (G.), Yamabe (T.) and Teramae (H.). ESR anisotropy of (TMTSF) ₂ ClO ₄ | C3-1029 | Kubel (F.), Strähle (J.) and Cassoux (P.).- New conducting iron complexes derived from the 1,3-dithiol-2-thion 4,5-dithiolate ligand (DMIT) ²⁻ .. | C3-1265 |

- Kuppuswamy (P.).- Voir Ramakrishna (B.L.)..... C3-1409
- Kwak (J.F.).- The Bechgaard salts : magnetotransport, dimensionality, spin density waves, and the threshold field..... C3-839
- Lacoe (R.C.), Chaikin (P.M.), Wudl (F.) and Aharon-Shalom (E.).- The Bechgaard phase, asymmetric anions and $T_c > 3K$ C3-767
- Lacoe (R.C.).- Voir Fuller (W.W.)..... C3-1709
- Lagier (R.).- Voir Parkin (S.S.P.)..... C3-791
- Lamache (M.) and Moradpour (A.).- Electrochemical solid-state study of organic conducting materials..... C3-1189
- Lan (M.D.).- Voir Clark (W.G.)..... C3-1493
- Lapouyade (R.), Morand (J.P.), Chasseau (D.), Hauw (C.) and Delhaes (P.).- Radical-cation salts of substituted perylenes..... C3-1235
- Laversanne (R.).- Voir Abderraba (A.)..... C3-1243
- Lebed' (A.G.).- Voir Gor'kov (L.P.)..... C3-1531
- Le Berre (V.), Carlier (R.), Simonet (J.) and Talec (A.).- Redox polymeric film formation by oxidation of dibenzocrown ethers..... C3-1269
- Le Coustumer (G.).- Voir Amzil (J.)..... C3-1249
- Le Daëron (P.Y.) and Aubry (S.).- Metal-insulator transition in incommensurate Peierls chains by extinction of the Fröhlich conductivity..... C3-1573
- Lee (V.Y.).- Voir Schumaker (R.R.)..... C3-1139
- Lee (V.Y.).- Voir Parkin (S.S.P.)..... C3-791
- Lerstrup (K.A.) and Cowan (D.O.).- BDMT-TXF - a new series of tetrachalcogen fulvalenes... C3-1247
- Liautard (B.), Peytavin (S.), Brun (G.) and Bernier (P.).- 1H NMR relaxation studies of the organic conductor series $(TMTTF)_2X$; $X = BF_4, PF_6, SCN$. C3-1087
- Liautard (B.), Peytavin (S.), Brun (G.) and Maurin (M.).- Structural studies and physical properties in the organic conductors series $(TMTTF)_2X$ and $(TMTSF)_2X$ C3-951
- Lindegard-Andersen (A.), Almeida (M.), Alcácer (L.) and Mortensen (K.).- X-ray topographic studies of TEA $(TCNQ)_2$ crystals C3-1325
- Lindegard-Andersen (A.).- Voir Mortensen (K.)..... C3-963
- Lindegard-Andersen (A.).- Voir Mortensen (K.)..... C3-1349
- Little (W.A.).- Excitonic conductivity - the missing link C3-819
- Loesing (D.M.).- Voir Williams (J.M.)..... C3-941
- Lonzarich (G.G.).- Voir Brusetti (R.)..... C3-1055
- Luzet (D.).- Voir Bertinotti (A.)..... C3-1551
- Maaroufi (A.), Flandrois (S.), Coulon (C.), Delhaes (P.), Morand (J.P.) and Fillion (G.).- Susceptibility anisotropy in TMTTF salts..... C3-1091
- Maaroufi (A.), Flandrois (S.), Amiel (J.) and Johannsen (I.).- Magnetic properties (static and EPR) of TTF-TCNQ C3-1397
- Mailly (D.), Ribault (M.) and Bechgaard (K.).- Anisotropy of the Meissner effect and the diamagnetic shielding in $(TMTSF)_2ClO_4$ C3-1037
- Maily (D.).- Voir Tomić (S.).. C3-1075
- Maily (D.), Bechgaard (K.), Creuzet (F.), Takahashi (T.), Ribault (M.) and Jérôme (D.).- Some properties of $(TMTSF)_2FSO_3$ at low temperature under pressure..... C3-1025

Małachowicz (G.).- Voir Komorowski (L.).....	C3-1207	Metzger (R.M.).- Voir Hatfield (W.E.).....	C3-1377
Manoharan (P.T.).- Voir Ramakrishna (B.L.).....	C3-1405	Metzger (R.M.) and Panetta (C.A.).- Progress in cohesive energies, and in building or- ganic unimolecular rectifiers	C3-1605
Manoharan (P.T.).- Voir Ramakrishna (B.L.).....	C3-1409	Miane (J.L.).- Voir Chasseau (D.).....	C3-1223
Marcus (J.).- Voir Schlenker (C.).....	C3-1757	Mihály (G.).- Voir Graja (A.)..	C3-1365
Matsuura (E.).- Voir Izumi (M.)	C3-1705	Mihály (L.).- Voir Graja (A.)..	C3-1365
Maurin (M.).- Voir Liautard (B.)	C3-951	Mikawa (H.).- Voir Nogami (T.).	C3-1253
Mayerle (J.J.).- Voir Parkin (S.S.P.).....	C3-1105	Miljak (M.).- Voir Cooper (J.R.)	C3-1391
Mazaki (H.).- Voir Ishida (T.).	C3-1701	Miljak (M.), Cooper (J.R.) and Bechgaard (K.).- Magnetic susceptibility and anisotropy of the organic supercon- ductor (TMTSF) ₂ ClO ₄	C3-893
Mazumdar (S.).- Voir Bloch (A.N.).....	C3-1273	Miller (J.S.).- Voir Epstein (A.J.).....	C3-1479
Mayr (W.), Philipp (A.) and Seeger (K.).- Microwave har- monic mixing in NbSe ₃	C3-1693	Miller (J.S.).- Voir Rommelmann (H.).....	C3-1441
McKernan (S.).- Voir Steeds (J.W.).....	C3-1623	Miller (J.S.).- Voir Eldridge (J.E.).....	C3-1465
Meerschaut (A.).- Chemistry and characterization of group V transition metal trichalco- genides.....	C3-1615	Mizuno (M.).- Voir Underhill (A.E.).....	C3-1331
Meerschaut (A.), Ben Salem (A.), Guemas (L.), Rouxel (J.), Monceau (P.) and Salva (H.).- A new family of compounds exhibiting the FeNb ₃ Se ₁₀ structural type : structural and resistivity measurements	C3-1681	Mollier (Y.).- Voir Amzil (J.).	C3-1249
Meerschaut (A.).- Voir Gressier (P.).....	C3-1741	Monceau (P.).- Voir Gressier (P.).....	C3-1741
Meerschaut (A.).- Voir Pouget (J.P.).....	C3-1729	Monceau (P.).- Voir Meerschaut (A.).....	C3-1681
Megtert (S.), Bjeliš (A.), Przystawa (J.) and Barišić (S.).- Landau theory of pres- sure induced phase transitions in TTF-TCNQ.....	C3-1345	Monceau (P.).- Voir Richard (J.).....	C3-1685
Mermilliod (N.).- Voir Forró (L.).....	C3-1417	Monceau (P.), Salva (H.) and Wang (Z.Z.).- Charge density wave dynamics in the incom- mensurate and commensurate TaS ₃	C3-1639
Mermilliod (N.) and Sellier (N.).- Chemical nature of irradia- tion defects in some TCNQ salts.....	C3-1353	Moncton (D.E.).- Voir Fleming (R.M.).....	C3-1651
		Monod (P.).- Voir Tomić (S.)...	C3-1083
		Morand (J.P.).- Voir Lapouyade (R.).....	C3-1235
		Morand (J.P.).- Voir Maaroufi (A.).....	C3-1091

- Moradpour (A.).- Voir Lamache (M.)..... C3-1189
- More (C.).- Voir Fournel (A.).. C3-879
- Moret (R.).- Voir Pouget (J.P.) C3-969
- Moret (R.), Pouget (J.P.), Comès (R.) and Bechgaard (K.).- Structural phase transitions in the $(\text{TMTSF})_2\text{X}$ and $(\text{TMTTF})_2\text{X}$ series : a survey with some new results C3-957
- Moret (R.).- Voir Pouget (J.P.) C3-1729
- Moriya (T.).- Voir Anzai (H.).. C3-1195
- Mortensen (K.), Jacobsen (C.S.), Lindegaard-Andersen (A.) and Bechgaard (K.).- Anomalous phase transition in the organic conductor : $(\text{TMTSF})_2\text{H}_2\text{F}_3$ C3-963
- Mortensen (K.), Jacobsen (C.S.), Lindegaard-Andersen (A.) and Bechgaard (K.).- $4k_F$ and $2k_F$ transition in the organic conductor : DBTTF-TCNQCl_2 C3-1349
- Mortensen (K.).- Voir Johannsen (I.)..... C3-1361
- Mortensen (K.).- Voir Lindegaard-Andersen (A.)..... C3-1325
- Mortensen (K.).- Voir Thorup (N.)..... C3-1017
- Mu-Yong Choi.- Voir Chaikin (P.M.)..... C3-783
- Mukai (M.).- Voir Ishihara (A.). C3-1449
- Müller (E.), von Schütz (J.U.) and Wolf (H.C.).- Electron spin resonance on the radical cation salt naphthalene $_2\text{AsF}_6$ C3-1401
- Murao (T.).- Electronic structure of soliton-like excitation in 1-D conductors..... C3-1583
- Murata (K.).- Voir Ishiguro (T.) C3-831
- Murata (K.).- Voir Ishiguro (T.) C3-1063
- Murata (K.).- Voir Kajimura (K.) C3-1059
- Mutka (H.).- Charge density wave domains in irradiated 1T-TaS_2 : relation with the transport properties..... C3-1713
- Mu-Yong Choi, Chaikin (P.M.) and Greene (R.L.).- Low temperature transport measurements on $(\text{TMTSF})_2\text{ClO}_4$ C3-1067
- Nagasawa (H.), Erata (T.), Onoda (M.), Suzuki (H.), Kanai (Y.) and Kagoshima (S.).- Strong electron-phonon interaction in quasi-one-dimensional conductor $\text{M}_x\text{V}_2\text{O}_5$ systems..... C3-1737
- Nakada (I.).- Voir Ishida (T.). C3-1701
- Nakayama (T.).- Voir Izumi (M.) C3-1705
- Nechtschein (M.).- Voir Travers (J.P.)..... C3
- Ng (H.K.), Timusk (T.) and Bechgaard (K.).- Far-infrared properties of $(\text{TMTSF})_2\text{ClO}_4$ at low temperatures.... C3-867
- Nogami (T.), Ohnishi (S.), Tanaka (H.) and Mikawa (H.).- Electrocrystallization of the complexes of tetrathia-tetracene and synthesis of tetraselenaanthracene..... C3-1253
- Nozaki (K.).- Voir Anzai (H.).. C3-1195
- Ohnishi (S.).- Voir Nogami (T.) C3-1253
- Okada (S.).- Voir Takahashi (S.) C3-1733
- Ong (N.P.).- Nonlinear ac dynamics and conduction noise in NbSe_3 C3-1659
- Ong (N.P.).- Voir Wagner (R.J.) C3-1697
- Onoda (M.).- Voir Nagasawa (H.) C3-1737
- Oostra (S.).- Voir Korving (W.H.)..... C3-1425
- Oostra (S.), De Boer (J.), and De Lange (P.).- Magnetic properties of some morpholinium $(\text{TCNQ})_2$ salts..... C3-1387
- Oostra (S.), De Lange (P.) and Visser (R.J.J.).- Triplet excitons in $\text{MEM}(\text{TCNQ})_2$ C3-1383
- Oostra (S.), Visser (R.J.J.), Sawatzky (G.A.) and Schwerdtfeger (C.F.).- Magnetic sub-chain anisotropy in the crossing chain compound $\text{HMM}(\text{TCNQ})_2$ C3-1381

Oostra (S.).- Voir Bloch (D.)..	C3-1317	Peytavin (S.).- Voir Liautard (B.).....	C3-951
Ossola (F.).- Voir Bragadin (M.)	C3-1357	Peytavin (S.).- Voir Liautard (B.).....	C3-1087
Ovchinnikov (A.A.) and Krivnov (V.Ya.).- Correlation functions of quasi-one-dimensional systems.....	C3-1513	Philipp (A.).- Voir Mayr (W.)..	C3-1693
Painelli (A.).- Voir Girlando (A.).....	C3-1547	Poehler (T.O.).- Voir Potember (R.S.).....	C3-1597
Panetta (C.A.).- Voir Metzger (R.M.).....	C3-1605	Potember (R.S.), Hoffman (R.C.), Benson (R.C.) and Poehler (T.O.).- Erasable optical switching in semiconductor organic charge-transfer complexes.....	C3-1597
Papavassiliou (G.C.).- Some new conducting complexes of nickel.....	C3-1257	Pouget (J.P.).- Voir Albouy (P.A.).....	C3-1339
Parkin (S.S.P.), Mayerle (J.J.) and Engler (E.M.).- Anion ordering in $(\text{TMTTF})_2\text{ReO}_4$: a displacive transition.....	C3-1105	Pouget (J.P.).- Voir Epstein (A.J.).....	C3-1479
Parkin (S.S.P.).- Voir Creuzet (F.).....	C3-1099	Pouget (J.P.).- Voir Gallois (B.).....	C3-1307
Parkin (S.S.P.) and Acrivos (J.V.).- XANES in $(\text{TMTSeF})_2\text{ReO}_4$: polarisation of the Se K edge.....	C3-1011	Pouget (J.P.).- Voir Moret (R.)	C3-957
Parkin (S.S.P.), Engler (E.M.), Schumaker (R.R.), Lagier (R.), Lee (V.Y.), Voiron (J.), Carneiro (K.), Scott (J.C.) and Greene (R.L.).- A sulphur based organic molecular superconductor : $(\text{BEDT-TTF})_4(\text{ReO}_4)_2$	C3-791	Pouget (J.P.), Moret (R.), Comès (R.), Shirane (G.), Bechgaard (K.) and Fabre (J.M.).- X-ray evidence of competing orderings in $(\text{TMTSF})_2\text{ClO}_4$ and related alloys.....	C3-969
Parkin (S.S.P.), Scott (J.C.), Torrance (J.B.) and Engler (E.M.).- Magnetic study of the phase transitions in $(\text{TMTTF})_2\text{X}$ salts.....	C3-1111	Pouget (J.P.), Moret (R.), Meerschaut (A.), Guemas (L.) and Rouxel (J.).- X-ray observation of 1-D precursor effects in NbSe_3 and new diffuse scattering features in $\text{FeNb}_3\text{Se}_{10}$	C3-1729
Pecile (C.).- Voir Bozio (R.)	C3-1453	Pouget (J.P.).- Voir Schlenker (C.).....	C3-1757
Pecile (C.).- Voir Girlando (A.).....	C3-1547	Pouget (J.P.).- Voir Tomić (S.)	C3-1081
Pei-Ling Hsieh.- Voir Johnston (D.C.).....	C3-1749	Pouget (J.P.).- Voir Yamaji (K.)	C3-1321
Pei-Ling Hsieh, de Czito (F.), Janossy (A.) and Grüner (G.).- Effect of disorder on the charge density wave transitions and transport in orthorhombic TaS_3	C3-1753	Prisner (Th.).- Voir Sigg (J.).	C3-1421
		Przybylski (M.), Pukacki (W.) and Zuppiroli (L.).- Electrical properties of an irradiated methyl-pyridinium-TCNQ salt.....	C3-1369
		Przybylski (M.).- Voir Graja (A.).....	C3-1365

- Przystawa (J.).- Voir Megtert
(S.)..... C3-1345
- Psaltakis (G.C.) and Fenton
(E.W.).- Reponse of an organic
superconductor to an
electromagnetic field..... C3-1125
- Psaltakis (G.C.).- Voir Fenton
(E.W.)..... C3-1129
- Pucciarelli (F.).- Voir Bragadin
(M.)..... C3-1357
- Pukacki (W.).- Voir Graja (A.). C3-1365
- Pukacki (W.).- Voir Przybylski
(M.)..... C3-1369
- Rajchel (A.).- Voir Graja (A.). C3-1365
- Ramakrishna (B.L.), Kuppuswamy
(P.), Manoharan (P.T.) and
Hunziker (M.).- Structural
and magnetic investigations
on the charge transfer ion-
radical salt - $\text{TMPD}^+ \text{Ni mnt}_2^-$ C3-1409
- Ramakrishna (B.L.) and Manoharan
(P.T.).- Interchain interac-
tions in the highly one di-
mensional tetraethyl ammonium
bis(maleonitrile dithiolato)
nickelate $-\text{NET}_4 \text{Ni mnt}_2$... C3-1405
- Ranninger (J.).- Voir Feinberg
(D.)..... C3-1561
- Renard (M.) and Wang (Z.Z.).-
Two CDW's locking model in
orthorhombic TaS_3 C3-1761
- Ribault (M.).- Voir Tomić (S.) C3-1075
- Ribault (M.).- Voir Bouffard
(S.)..... C3-1437
- Ribault (M.).- Voir Bouffard
(S.)..... C3-1437
- Ribault (M.).- Voir Mailly (D.) C3-1025
- Ribault (M.).- Voir Mailly (D.) C3-1037
- Ribault (M.).- Superconducti-
vity ?..... C3-827
- Rice (T.M.).- Voir Apel (W.)... C3-935
- Richards (P.L.).- Voir Challenger
(W.A.)..... C3-873
- Richard (J.), Salva (H.), Saint
Lager (M.C.) and Monceau (P.).-
Charge density wave fluctua-
tions in TaSe_3 and NbSe_3 C3-1685
- Rindorf (G.).- Voir Johannsen
(I.)..... C3-1361
- Rindorf (G.).- Voir Thorup (N.) C3-1017
- Rivory (J.).- Voir Strzelecka
(H.)..... C3-1201
- Roger (G.).- Voir Fournel (A.). C3-879
- Rommelmann (H.).- Voir Epstein
(A.J.)..... C3-1479
- Rommelmann (H.), Kaufer (J.W.)
Epstein (A.J.) and Miller
(J.S.).- Noise in highly
correlated commensurate char-
ge transfer salts..... C3-1441
- Rosch (M.).- Voir Underhill
(A.E.)..... C3-1331
- Roucau (C.).- New results
obtained by electron diffrac-
tion on the one-dimensional
conductors TaS_3 and NbS_3 C3-1725
- Rouxel (J.).- Voir Gressier (P.) C3-1741
- Rouxel (J.).- Voir Meerschaut
(A.)..... C3-1681
- Rouxel (J.).- Voir Pouget (J.P.) C3-1729
- Ruppel (W.).- Voir Geserich
(H.P.)..... C3-1461
- Sachs (G.).- Voir Dormann (E.). C3-1413
- Saint Lager (M.C.).- Voir Richard
(J.)..... C3-1685
- Saito (G.).- Voir Anzai (H.)... C3-1195
- Saito (G.), Enoki (T.), Inokuchi
(H.) and Kobayashi (H.).-
Suppression of the Peierls
transition by chemical modi-
fication..... C3-1215
- Saito (G.).- Voir Ishiguro (T.) C3-831
- Saito (G.).- Voir Ishiguro (T.) C3-1063
- Saito (G.).- Voir Kajimura (K.) C3-1059
- Saito (G.).- Voir Kinoshita
(N.)..... C3-1029

Sakai (M.), Kagoshima (S.) and Engler (E.M.).- Diffuse X-ray studies of $\text{TTF}_{0.01}\text{TSeF}_{0.99}\text{-TCNQ}$ and DSeDTF-TCNQ	C3-1313	Schumaker (R.R.).- Voir Parkin (S.S.P.).....	C3-791
Salva (H.).- Voir Meerschaut (A.).....	C3-1681	Schweitzer (D.).- Voir Bender (K.).....	C3-1433
Salva (H.).- Voir Monceau (P.).	C3-1639	Schweitzer (D.).- Voir Geserich (H.P.).....	C3-1461
Salva (H.).- Voir Richard (J.).	C3-1685	Schweitzer (D.).- Voir Sigg (J.).....	C3-1421
Sambongi (T.).- Voir Kawabata (K.).....	C3-1647	Schwenk (H.), Andres (K.), Wudl (F.) and Aharon-Shalom (E.).- Diamagnetic anisotropy, isotope shift and cooling-speed effects in superconducting $(\text{TMTSF})_2\text{ClO}_4$ crystals.....	C3-1041
Sambongi (T.).- Voir Takahashi (S.).....	C3-1733	Schwerdtfeger (C.F.).- Voir Oostra (S.).....	C3-1381
Sandman (D.J.).- Voir Jones (M.T.).....	C3-1159	Schwoerer (M.).- Voir Dormann (E.).....	C3-1413
Sassik (H.).- Voir Gruber (H.)	C3-1717	Scott (J.C.).- Voir Parkin (S.S.P.).....	C3-791
Sauve (J.P.).- Voir Amzil (J.).	C3-1249	Scott (J.C.).- Voir Parkin (S.S.P.).....	C3-1111
Sawatzky (G.A.).- Voir Korving (W.H.).....	C3-1425	Seeger (K.).- Voir Mayr (W.)...	C3-1693
Sawatzky (G.A.).- Voir Oostra (S.).....	C3-1381	Sekretarczyk (G.).- Voir Graja (A.).....	C3-1365
Scalapino (D.J.) and Hirsch (J.E.).- Electronic polarizabilities of a 1/4-filled extended Hubbard model.....	C3-1507	Sellier (N.).- Voir Mermilliod (N.).....	C3-1353
Scarponi (G.).- Voir Bragadin (M.).....	C3-1357	Sethulekshmi (C.N.).- Voir Hatfield (W.E.).....	C3-1377
Schäfer (H.W.).- Voir Krause (A.).....	C3-1429	Shibaeva (R.P.).- Voir Kaminskii (V.F.).....	C3-1167
Schlenker (C.), Filippini (C.), Marcus (J.), Dumas (J.), Pouget (J.P.) and Kagoshima (S.).- Peierls transition in the quasi-one-dimensional blue bronzes $\text{K}_{0.30}\text{MoO}_3$ and $\text{Rb}_{0.30}\text{MoO}_3$	C3-1757	Shirane (G.).- Voir Pouget (J.P.).....	C3-969
Schrieffer (J.R.).- Voir Klemm (R.A.).....	C3-1689	Sigg (J.), Prisner (Th.), Dinse (K.P.), Brunner (H.), Schweitzer (D.) and Ausser (K.H.).- Electron spin echo determination of spin diffusion in the one dimensional conductor $(\text{fluoranthenyl})_2^+(\text{PF}_6)_x^- (\text{SbF}_6)_{1-x}$ ($x \approx 0.5$).....	C3-1421
Schulz (H.J.).- Quantum fluctuations in quasi-one-dimensional superconductors.....	C3-903	Simonet (J.).- Voir Le Berre (V.).....	C3-1269
Schumaker (R.R.), Lee (V.Y.) and Engler (E.M.).- New synthetic approaches to tetrathiafulvalene derivatives : systematic modifications of BEDT-TTF and TMTTF donors.....	C3-1139	Singh (P.).- Voir Hatfield (W.E.).....	C3-1377

- Sokoloff (J.B.) and Horovitz (B.).- Theory of the narrow band noise spectrum and metastable conductivity due to sliding charge density waves... C3-1667
- Soling (H.).- Voir Thorup (N.). C3-1017
- Sólyom (J.).- On the possibility of two phase transitions in HMTTF-TCNQ..... C3-1569
- Sólyom (J.).- The effect of impurities and electron-phonon interaction on the phase diagram of 1-D conductors... C3-1565
- Sorbier (J.P.).- Voir Fournel (A.)..... C3-879
- Stavaux (M.).- Voir Amzil (J.). C3-1249
- Steeds (J.W.), Fung (K.K.) and McKernan (S.).- Analysis of time dependent images of NbSe₃..... C3-1623
- Steigmeier (E.F.), Auderset (H.) Baeriswyl (D.), Almeida (M.) and Carneiro (K.).- Peierls instability in the organic linear chain semi conductor TEA(TCNQ)₂..... C3-1445
- Stokes (J.P.).- Voir Johnston (D.C.)..... C3-1749
- Stöcklein (W.).- Voir Dormann (E.)..... C3-1413
- Strähle (J.).- Voir Kubel (F.). C3-1265
- Strzelecka (H.).- Voir Albouy (P.A.)..... C3-1339
- Strzelecka (H.), Gionis (V.), Rivory (J.) and Frandroids (S.).- Liquid crystalline organic conductors..... C3-1201
- Sullivan (N.S.).- Voir Delrieu (J.M.)..... C3-1033
- Sullivan (J.C.).- Voir Williams (J.M.)..... C3-941
- Suzuki (H.).- Voir Nagasawa (H.) C3-1737
- Swietlik (R.) and Graja (A.).- Spectral studies of the phase transitions in MTPP (TCNQ)₂ and MEM(TCNQ)₂..... C3-1457
- Takahashi (T.), Creuzet (F.), Jérôme (D.) and Fabre (J.M.).- ¹H-NMR. relaxation studies on the nature of the semiconducting state of (TMTTF)₂Br and (TMTTF)₂PF₆ : magnetism..... C3-1095
- Takahashi (T.), Jérôme (D.) and Bechgaard (K.).- A magnetic state in the organic superconductor (TMTSF)₂ClO₄ : cooling rate and strong magnetic field effects..... C3-805
- Takahashi (T.).- Voir Mailly (D.)..... C3-1025
- Takahashi (S.), Sambongi (T.) and Okada (S.).- Conduction properties of ZrTe₃..... C3-1733
- Tallec (A.).- Voir Le Berre (V.) C3-1269
- Tamegai (T.).- Voir Tsutsumi (K.)..... C3-1677
- Tanaka (C.).- Voir Tanaka (J.). C3-997
- Tanaka (H.).- Voir Nogami (T.). C3-1253
- Tanaka (J.) and Tanaka (C.).- Magnetic susceptibilities of conductive charge transfer complexes..... C3-997
- Tanner (D.B.).- Voir Jacobsen (C.S.)..... C3-859
- Teramae (H.).- Voir Kinoshita (N.)..... C3-1029
- Thorup (N.).- Voir Johannsen (I.)..... C3-1361
- Thorup (N.), Rindorf (G.), Soling (H.), Johannsen (I.), Mortensen (K.) and Bechgaard (K.).- Structural studies of some (TMTSF)₂X compounds.... C3-1017
- Timusk (T.).- Voir Ng (H.K.)... C3-867
- Tokumoto (H.).- Voir Ishiguro (T.)..... C3-831
- Tokumoto (H.).- Voir Kajimura (K.)..... C3-1059
- Tokumoto (M.).- Voir Kinoshita (N.)..... C3-1029
- Tokumoto (M.).- Voir Anzai (H.) C3-1229

Tokumoto (M.).- Voir Ishiguro (T.).....	C3-831	Ukachi (T.).- Voir Ishiguro (T.).....	C3-831
Tokumoto (M.).- Voir Ishiguro (T.).....	C3-1063	Ukachi (T.).- Voir Ishiguro (T.).....	C3-1063
Tokumoto (M.).- Voir Kajimura (K.).....	C3-1059	Ukachi (T.).- Voir Kajimura (K.).....	C3-1059
Tomić (S.), Jérôme (D.), Monod (P.) and Bechgaard (K.).- Influence of the anion disorder on the low temperature behaviour of the organic superconductor (TMTSF) ₂ ClO ₄ .	C3-1083	Ukachi (T.).- Voir Kinoshita (N.).....	C3-1029
Tomić (S.), Jérôme (D.), Mailly (D.), Ribault (M) and Bechgaard (K.).- Influence of the disorder potential of the anions on the ground state of the organic alloy (TMTSF) ₂ (ClO ₄) _{1-x} (ReO ₄) _x	C3-1075	Underhill (A.E.).- Voir Carneiro (K.).....	C3-1007
Tomić (S.), Pouget (J.P.), Jérôme (D.), Bechgaard (K.) and Williams (J.M.).- Influence of disorder on the metal insulator phase transition in (TMTSF) ₂ BrO ₄	C3-1081	Underhill (A.E.).- Voir Cooper (J.R.).....	C3-1391
Torrance (J.B.).- Voir Parkin (S.S.P.).....	C3-1111	Underhill (A.E.), Mizuno (M.), Krogmann (K.) and Rosch (M.).- [H ₃ NCH ₂ CH ₂ NH ₃] _{0.82} [Pt(C ₂ O ₄) ₂]. 2H ₂ O - a new partially oxidised bis(oxalato)platinate....	C3-1331
Torrance (J.B.).- Origin of antiferromagnetic ordering in Bechgaard salts.....	C3-799	Valade (L.), Cassoux (P.), Gleizes (A.) and Interrante (H.).- Two-dimensionality and anisotropy to the conductivity of a mixed valence nickel bisdithiolato-complex.....	C3-1183
Tosi (P.).- Voir Bozio (R.)....	C3-1453	Vettier (C.).- Voir Bloch (D.).	C3-1317
Travers (J.P.), Devreux (F.) and Nechtschein (M.).- NMR studies of molecular motion and spin dynamics in TEA (TCNQ) ₂	C3-1295	Visser (R.).- Voir Janssen (G.)	C3-1587
Trullinger (S.E.).- Voir Horovitz (B.).....	C3-1721	Visser (R.J.J.).- Voir Oostra (S.).....	C3-1381
Truong (K.D.).- Voir Bandrauk (A.D.).....	C3-1473	Visser (R.J.J.).- Voir Oostra (S.).....	C3-1383
Tsutsumi (K.) and Tamegai (T.).- Temperature dependence of the upper threshold field E _{T1} in NbSe ₃	C3-1677	Visser (R.J.J.) and De Boer (J.L.).- Structural aspects of substituted morpholinium TCNQ complexes.....	C3-1219
Uchinokura (K.) .- Voir Izumi (M.).....	C3-1705	Voiron (J.).- Voir Bloch (D.)..	C3-1317
Ukachi (T.).- Voir Anzai (H.)..	C3-1195	Voiron (J.).- Voir Parkin (S.S.P.).....	C3-791
		Von Schütz (J.U.).- Voir Müller (E.).....	C3-1401
		Wagner (R.J.) and Ong (N.P.).- Shifted cyclotron resonance in NbSe ₃	C3-1697
		Wallwork (S.C.).- Voir Graja (A.).....	C3-1365
		Wang (Z.Z.).- Voir Monceau (P.)	C3-1639

- | | | | |
|---|---------|---|---------|
| Wang (Z.Z.).- Voir Renard (M.). | C3-1761 | Wudl (F.).- Voir Schwenk (K.).. | C3-1041 |
| Weger (M.), Clark (W.G.) and
Grüner (G.).- The relaxation
oscillator model for the
narrow band noise in NbSe ₃ .. | C3-1673 | Yagubskii (E.B.).- Voir Kaminskii
(V.F.)..... | C3-1167 |
| Weger (M.).- Voir Gutfreund (H.) | C3-983 | Yakovenko (V.).- Voir Brazovskii
(S.)..... | C3-1525 |
| Weger (M.).- Voir Hartzstein
(C.)..... | C3-1335 | Yamada (A.).- Voir Izumi (M.).. | C3-1705 |
| Wegner (G.).- Voir Geserich
(H.P.)..... | C3-1461 | Yamabe (T.).- Voir Kinoshita
(N.)..... | C3-1029 |
| Wieners (G.).- Voir Geserich
(H.P.)..... | C3-1461 | Yamaji (K.), Pouget (J.P.), Comès
(R.) and Bechgaard (K.).-
Analysis of 2k _F X-ray dif-
fuse scattering intensity
in HMTSF-TCNQ..... | C3-1321 |
| Wieting (T.J.).- Voir Fuller
(W.W.)..... | C3-1709 | Yoshizaki (R.).- Voir Izumi (M.) | C3-1705 |
| Wilckens (R.).- Voir Geserich
(H.P.)..... | C3-1461 | Zettl (A.).- Voir Grüner (G.).. | C3-1631 |
| Williams (J.M.).- Voir Tomić
(S.)..... | C3-1081 | Zettl (A.).- Voir Grüner (G.).. | C3-1745 |
| Willis (M.R.).- Voir Graja (A.) | C3-1365 | Zevin (V.).- Voir Hartzstein
(C.)..... | C3-1335 |
| Williams (J.M.), Beno (M.A.),
Sullivan (J.C.), Banovetz
(L.M.), Braam (J.M.), Blackman
(G.S.), Carlson (C.D.), Greer
(D.L.), Loesing (D.M.) and
Carneiro (K.).- The design
of organic metals based on
TMTSF and TMTTF : novel struc-
tural implications and pre-
dictions..... | C3-941 | Ziman (T.A.L.).- Singular spec-
tra in one-dimensional random
systems..... | C3-1555 |
| Wolf (S.A.).- Voir Fuller (W.W.) | C3-1709 | Zuppiroli (L.).- Voir Forró
(L.)..... | C3-927 |
| Wolf (H.C.).- Voir Müller (E.). | C3-1401 | Zuppiroli (L.).- Voir Przybylski
(M.)..... | C3-1369 |
| Wudl (F.).- Voir Lacoe (R.C.).. | C3-767 | Zvarykina (A.V.).- Voir Kaminskii
(V.F.)..... | C3-1167 |
| | | Zwinderman (A.J.).- Voir Jonkman
(H.Th.)..... | C3-1281 |

COLLOQUE N° 4 - 1983

Propriétés et Structure des Dislocations dans les Semiconducteurs

Aussois (France), 1983

Alexander (H.).- Voir Weber (E.R.).....	C4-319	Bourret (A.), Desseaux-Thibault (J.) et Lancon (F.).- La structure du coeur des dislocations dans le silicium CZ étudiée par microscopie électronique...	C4-15
Altmann (S.L.).- Voir Lodge (K.W.).....	C4-37	Bourret (A.).- Précipitation de l'oxygène sur les dislocations du silicium CZ : analyse thermodynamique et stabilité.....	C4-227
Amelinckx (S.).- Voir Bender (H.).....	C4-261	Bredikhin (S.I.) and Shmurak (S.Z.).- Deformation luminescence in II-VI crystals.	C4-183
Ammor (L.).- Voir Amzil (H.)..	C4-415	Breitenstein (O.) and Heydenreich (J.).- Combined electron microscopical and DLST (esp. DSLTS) investigations in semiconductors....	C4-207
Amzil (H.), Ammor (L.), Psaila (E.), Zehaf (M.), Mathian (G.), Martinuzzi (S.), Crest (J.P.), Oualid (J.), Pichaud (B.) et Minari (F.) .- Corrélation entre les dislocations, les concentrations en carbone et les longueurs de diffusion dans du silicium polycristallin C.G.E.....	C4-415	Bresse (J.F.).- Some examples of quantitative E.B.I.C. mode for the study of the electrical properties of dislocations in semiconductor devices.....	C4-465
Attal (J.), Dandonneau (J.M.), Zahouni (M.) et Ly Cong Can .- La microscopie acoustique et ses applications aux défauts dans les semiconducteurs.....	C4-479	Broniatowski (A.).- Transient electrical properties of low angle tilt boundaries in grown germanium bicrystals.....	C4-339
Auleytner (J.).- Voir Klimkiewicz (M.).....	C4-313	Bugiel (E.).- Voir Kittler....	C4-437
Auzel (F.).- Photoacoustics, new methods to study optical properties of dislocations.....	C4-489	Castaldini (A.), Cavallini (A.) and Gondi (P.).- Lattice defect effects in induced current scanning microscopy.....	C4-305
Bender (H.), Claeys (C.), Van Landuyt (J.), Declerck (G.), Amelinckx (S.) and Van Overstraeten (R.).- Electron microscopical study of oxygen related defects in Czochralski silicon.....	C4-261	Cavallini (A.).- Voir Castaldini (A.).....	C4-305
Booker (G.R.).- Voir Ourmazd (A.).....	C4-289	Chevalier (J.P.).- Voir Duseaux (M.).....	C4-397
Booker (G.R.).- Voir Wilshaw (P.R.).....	C4-445	Claeys (C.).- Voir Bender (H.)	C4-261

Coret (A.).- Voir Haydar (A.).	C4-169	Farvacque (J.L.).- Voir Vignaud (D.).	C4-157
Cornier (J.P.).- Voir Duseaux (M.).	C4-397	Ferre (D.) and Farvacque (J.L.).- Galvanomagnetic properties of plastically deformed InSb.	C4-163
Crest (J.P.).- Voir Amzil (H.).	C4-415	Ferre (D.).- Voir Farvacque (J.L.).	C4-115
Dandonneau (J.M.).- Voir Attal (J.).	C4-479	Figielski (T.), Wosiński (T.) and Morawski (A.).- Creation of As _{Ga} defects by plastic deformation of GaAs crystals.	C4-353
Declerck (G.).- Voir Bender (H.).	C4-261	George (A.).- Voir Louchet (F.).	C4-51
Demenet (J.L.).- Voir Rabier (J.).	C4-243	Gondi (P.).- Voir Castaldini (A.).	C4-305
Desoyer (J.C.).- Voir Rivaud (G.).	C4-387	Gottschalk (H.).- On the motion of dislocation bends in terms of the kink model.	C4-475
Desseaux-Thibault (J.).- Voir Bourret (A.).	C4-15	Gottschalk (H.).- Dislocation bends in high stress deformed silicon crystals.	C4-69
Di-Persio (J.) and Kesteloot (R.).- On some aspects of the mobility of dislocations in slightly n-doped InSb single crystals.	C4-469	Gwinner (D.).- Hydrogenation effects on radiative recombination in twisted silicon	C4-141
Donolato (C.).- Quantitative evaluation of the EBIC contrast of dislocations.	C4-269	Haasen (P.), Müller (H.) and Zoth (G.).- The plasticity of a semiconducting compound : CdTe, electrical measurement and chemomechanical effect.	C4-365
Dupuy (M.).- Cathodoluminescence studies of dislocations in semiconductors.	C4-277	Hallais (J.).- Voir Duseaux (M.).	C4-397
Dupuy (M.).- Voir Sieber (B.).	C4-297	Hamilton (B.), Peaker (A.R.) and Wight (D.R.).- Luminescence and deep level studies of line dislocations in gallium phosphide.	C4-233
Duseaux (M.), Schiller (C.), Cornier (J.P.), Chevalier (J.P.) and Hallais (J.).- Elimination of dislocations in GaAs single crystals.	C4-397	Haydar (A.) and Coret (A.).- Characterization of stress field and electric activity of dislocations in semiconductors.	C4-169
Emelin (V.Ya.), Klassen (N.V.), Negrii (V.D.) and Ossipyan (Yu.A.).- Optical properties of plastically deformed Al _{0.5} In _{0.5} VI crystals.	C4-125	Heggie (M.I.) and Jones (R.).- Energy levels and properties of defects on reconstructed dislocations in silicon.	C4-43
Farber (B.Ya.).- Voir Nikitenko (V.I.).	C4-85		
Farvacque (J.L.), Ferre (D.) and Vignaud (D.).- Experimental studies of energy states associated with dislocations in III-V compounds.	C4-115		
Farvacque (J.L.).- Voir Ferre (D.).	C4-163		

- | | | | |
|--|--------|---|--------|
| Heydenreich (J.).- Voir Breitenstein (O.)..... | C4-207 | Lancon (F.).- Voir Bourret (A.)..... | C4-15 |
| Hirsch (P.B.).- Voir Roberts (S.G.)..... | C4-75 | Lapicciarella (A.).- Voir Lodge (K.W.)..... | C4-37 |
| Huber (A.M.), Laurencin (G.) et Razeghi (M.).- Etude des défauts dans les couches hétéroépitaxiales de matériaux III-V par analyse métallographique sur biseau chimique..... | C4-409 | Laurencin (G.).- Voir Huber (A.M.)..... | C4-409 |
| Hutchison (J.L.).- Elucidation of dislocation core structures in silicon by high resolution electron microscopy..... | C4-3 | Lodge (K.W.), Lapicciarella (A.), Tomassini (N.) and Altmann (S.L.).- Core structure of 90° partial dislocations in diamond.... | C4-37 |
| Jones (R.).- Theories of dislocation mobility in semiconductors..... | C4-61 | Louchet (F.) and George (A.).- Dislocation mobility measurements : an essential tool for understanding the atomic and electronic core structures of dislocations in semiconductors..... | C4-51 |
| Jones (R.) and King (T.E.G.).- Band structure of vacancies and dislocations in diamond | C4-461 | Ly Cong Can.- Voir Attal (J.). | C4-479 |
| Jones (R.).- Voir Heggie (M.I.)..... | C4-43 | Maeda (K.) and Takeuchi (S.).- Recombination enhanced mobility of dislocations in III-V compounds..... | C4-375 |
| Kesteloot (R.).- Voir Di Persio (J.)..... | C4-469 | Marklund (S.).- Structure and energy levels of dislocations in silicon..... | C4-25 |
| King (T.E.G.).- Voir Jones (R.)..... | C4-461 | Martinuzzi (S.).- Voir Amzil (H.)..... | C4-415 |
| Kittler (M.), Seifert (W.), Bugiel (E.) and Richter (H.).- Characterization of dislocations and their effects in silicon device technology..... | C4-437 | Mathian (G.).- Voir Amzil (H.) | C4-415 |
| Klassen (N.V.).- Voir Emelin (V.Ya.)..... | C4-125 | Minari (F.).- Voir Amzil (H.). | C4-415 |
| Klimkiewicz (M.) and Auleytner (J.).- X-ray and scanning cathodoluminescence imaging of small-angle grain boundaries and dislocations in CdTe crystals..... | C4-313 | Morawski (A.).- Voir Figielski (T.)..... | C4-353 |
| Kveder (V.V.), Ossipyan (Yu.A.) and Shalynin (A.I.).- Spin-dependent recombination at dislocation dangling bonds in Si..... | C4-345 | Müller (H.).- Voir Haasen (P.) | C4-365 |
| Labusch (R.).- Electrical transport in the dislocation core..... | C4-113 | Negrii (V.D.).- Voir Emelin (V.Ya.)..... | C4-125 |
| | | Nikitenko (V.I.), Farber (B.Ya.) and Yakimov (E.B.).- Asymmetry of isolated dislocations mobility in the Ge and Si single crystals.. | C4-85 |
| | | Ossipyan (Yu.A.), Rtishchev (A.M.) and Steinman (E.A.).- The effect of hydrogen on dislocation photoluminescence in silicon..... | C4-255 |
| | | Ossipyan (Yu.A.).- Voir Kveder (V.V.)..... | C4-345 |

Ossipyan (Yu.A.).- Dislocation electron spectrum and the mechanism of dislocation microwave conduction in semiconductors.....	C4-103	Roberts (S.G.), Pirouz (P.) and Hirsch (P.B.).- A simple technique for measuring doping effects on dislocation motion in silicon.....	C4-75
Ossipyan (Yu.A.).- Voir Emelin (V.Ya.).....	C4-125	Rtishchev (A.M.).- Voir Ossipyan (Yu.A.).....	C4-255
Oualid (J.).- Voir Amzil (H.).	C4-415	Schiller (C.).- Voir Duseaux (M.).....	C4-397
Ourmazd (A.), Wilshaw (P.R.) and Booker (G.R.).- The temperature dependence of EBIC contrast from individual dislocations in silicon.....	C4-289	Schröter (W.) and Seibt (M.).- Capacitance transient spectroscopy of states localized at dislocations.....	C4-329
Ourmazd (A.).- Voir Wilshaw (P.R.).....	C4-445	Schröter (W.).- Voir Zozime (A.).....	C4-189
Pasemann (L.).- Theoretical description of the influence of dislocations on the luminescence of light-emitting diodes.....	C4-423	Seibt (M.).- Voir Schröter (W.).....	C4-329
Peaker (A.R.).- Voir Hamilton (B.).....	C4-233	Seifert (W.).- Voir Kittler (M.).....	C4-437
Persson (A.).- Electron states associated with partial dislocation in diamond.....	C4-453	Shalynin (A.I.).- Voir Kveder (V.V.).....	C4-345
Pichaud (B.).- Voir Amzil (H.).	C4-415	Shmurak (S.Z.).- Voir Bredikhin (S.I.).....	C4-183
Pirouz (P.).- Voir Roberts (S.G.).....	C4-75	Sieber (B.) and Dupuy (M.).- Defects in cadmium telluride as studied by SEM/EBIC..	C4-297
Pohoryles (B.).- Hydrogenation studies of deformed n-Si...	C4-359	Siethoff (H.).- Recovery processes in the high-temperature deformation of germanium, silicon and indium antimonide.....	C4-217
Psaila (E.).- Voir Amzil (H.).	C4-415	Steinman (E.A.).- Voir Ossipyan (Yu.A.).....	C4-255
Rabier (J.), Veyssi�re (P.) and Demenet (J.L.).- Plastic deformation of silicon at low temperature and the influence of doping.....	C4-243	Suezawa (M.) and Sumino (K.).- Photoluminescence from dislocated silicon crystals...	C4-133
Razeghi (M.).- Voir Huber (A.M.).....	C4-409	Suezawa (M.).- Photoacoustic spectroscopy of dislocated silicon crystals.....	C4-485
Richter (H.).- Voir Kittler (M.).....	C4-437	Sumino (K.).- Interaction between dislocations and impurities in silicon.....	C4-195
Rivaud (G.) and Desoyer (J.C.).- Plastic deformation of II-VI compounds with sphalerite structure : example ZnSe, ZnTe.....	C4-387	Sumino (K.).- Voir Suezawa (M.).....	C4-133
		Takeuchi (S.).- Voir Maeda (K.).....	C4-375

Teichler (H.) and Veth (H.).- Deep electron levels and further effects of topolo- gical disorder by disloca- tions.....	C4-93	Wight (D.R.).- Voir Hamilton (B.).....	C4-233
Tomassini (N.).- Voir Lodge (K.W.).....	C4-37	Wilshaw (P.R.), Ourmazd (A.) and Booker (G.R.).- Some aspects of the measurements of electrical effects of dislocations in silicon using a computerised EBIC system.....	C4-445
Van Landuyt (J.).- Voir Bender (H.).....	C4-261	Wilshaw (P.R.).- Voir Ourmazd (A.).....	C4-289
Van Overstraeten (R.).- Voir Bender (H.).....	C4-261	Wosiński (T.).- Voir Figielski (T.).....	C4-353
Veth (H.).- Voir Teichler (H.)	C4-93	Yakimov (E.B.).- Voir Nikitenko (V.I.).....	C4-85
Veyssi�re (P.).- Voir Rabier (J.).....	C4-243	Zahouni (M.).- Voir Attal (J.)	C4-479
Vignaud (D.) and Farvacque (J.L.).- Optical absorption studies of dislocation in- duced deep levels in InSb..	C4-157	Zehaf (M.).- Voir Amzil (H.)..	C4-415
Vignaud (D.).- Voir Farvacque (J.L.).....	C4-115	Zoth (G.).- Voir Haasen (P.)..	C4-365
Vyvenko (O.).- Strain induced effects of dislocations in CdS : shift of excitonic li- nes. Photovoltaic effect...	C4-149	Zozime (A.) et Schr�ter (W.).- Relaxation longue dur�e de la photoconductivit� dans CdTe.....	C4-189
Weber (E.R.) and Alexander (H.).- Deep level defects in plastically deformed si- licon.....	C4-319		

COLLOQUE N° 5 - 1983

Interactions Laser-Solides, Recuits par Faisceaux d'Energie

Strasbourg (France), 1983

Abdel Harith (M.).- Voir Pospieszczyk (A.).....	C5-129	Axmann (A.).- Voir Contreras (G.).....	C5-193
Adams (A.E.) and Morgan (S.L.) .- The application of laser annealing to dopant profil- ing for semiconductor devi- ces.....	C5-433	Axmann (A.).- Voir Wagner (J.).	C5-61
Ahmed (H.).- Voir Davis (J.R.).	C5-337	Baeri (P.).- Effect of fast solidification on impuri- ty trapping and amorphous formation in Si.....	C5-157
Ahmed (H.).- Voir Godfrey (D.J.).....	C5-229	Baeri (P.), Grimaldi (M.G.), Rimini (E.) and Celotti (G.).- Pulsed laser irra- diation of nickel thin films on silicon.....	C5-449
Ahmed (H.).- Voir Hasko (D.G.).	C5-223	Balland (B.), Remaki (B.), Pinard (P.) et Mercier (E.) .- Défauts induits dans Si par implantation directe ou à travers une couche de SiO ₂	C5-319
Andrew (R.), Baufay (L.), Canivez (Y.) and Pigeolet (A.).- Grain boundary in- terdiffusion and surface compound formation in Al/Sb thin film couples.....	C5-495	Barbier (D.), Chemisky (G.),, Grob (J.J.), Laugier (A.) Siffert (P.) and Stuck (R.).- Pulsed electron beam annealing of As and B im- planted silicon.....	C5-209
Andrew (R.) and Wautelet (M.) .- Laser and electron beam enhanced crystallization of Si and Ge.....	C5-171	Barbier (D.).- Voir Chemisky.. (G.).....	C5-91
Asomoza (R.).- Voir Bourgoin (J.C.).....	C5-175	Barbier (D.).- Voir Fogarassy (E.).....	C5-241
Auvert (G.).- Voir Torres (J.).	C5-455	Barbier (D.).- Voir Doghmane... (M.S.).....	C5-297
Auvert (G.).- Voir Colinge (J.P.).....	C5-409	Barbier (D.).- Voir Laugier (A.).....	C5-369
Axmann (A.).- Voir Viña (L.)....	C5-203		
Axmann (A.).- Voir Compaan (A.)	C5-197		
Axmann (A.).- Voir Contreras (G.).....	C5-55		

Barthe (S.).- Voir Muller (J.C.).....	C5-375	Bok (J.).- Plasma assisted melting of covalent semi- conductors.....	C5-3
Battaglin (G.), Carnera (A.), Chaumont (J.), Della Mea (G.), Donà dalle Rose (L.F.), Jain (A.K.), Kulkarni (V.N.), Mazzoldi (P.), Miotello (A.) and Sood (D.K.).- Pulsed laser treatment of Eu and La im- planted nickel : surface alloying, trapping and dam- mage.....	C5-481	Bomchil (G.).- Voir Torres (J.).....	C5-455
Baufay (L.).- Voir Andrew (R.).	C5-495	Bonnouvrier (F.).- Voir Maruani (A.).....	C5-87
Bellara (A.).- Voir Mathe (E.L.).....	C5-507	Bontemps (A.).- Voir Jaussaud (C.).....	C5-303
Beneking (H.).- Voir Kräutle (H.).....	C5-439	Borisenko (V.E.).- Voir Larsen (A.N.).....	C5-427
Bensahel (D.).- Voir Colinge (J.P.).....	C5-409	Borisenko (V.E.).- Voir Nielsen (L.D.).....	C5-381
Bentini (G.G.).- Voir Cohen (C.).....	C5-179	Bouree (J.E.).- Voir Leray (C.)	C5-235
Bentini (G.G.).- Applications of transient annealing to solar cell processing.....	C5-353	Bourgoin (J.C.), Asomoza (R.) .- On the growth from the amorphous phase in semicon- ductors.....	C5-175
Berti (M.).- Voir Cohen (C.)...	C5-179	Broutet (F.), Desoyer (J.C.), Fogarassy (E.) et Siffert (P.).- Etude par microscopie électronique de la dif- fusion induite par laser....	C5-215
Bertolotti (M.).- Energy fluc- tuations in the carrier re- combination process of laser irradiated semicon- ductors.....	C5-119	Canivez (Y.).- Voir Andrew (R.)	C5-495
Biasse (B.).- Voir Jaussaud (C.).....	C5-303	Cardona (M.).- Voir Compaan (A.).....	C5-197
Bigot (J.Y.).- Voir Tomasini (F.).....	C5-79	Cardona (M.).- Voir Contreras (G.).....	C5-55
Boissy (M.C.), Ruterana (P.) et Nouet (G.).- Propriétés des jonctions p/n dans le silicium obtenues par im- plantation ionique et re- cuit rapide.....	C5-401	Cardona (M.).- Voir Viña (L.).	C5-203
		Carnera (A.).- Voir Battaglin (G.).....	C5-481
		Cartier (A.M.).- Voir Jaussaud (C.).....	C5-303
		Celotti (G.).- Voir Baeri (P.).	C5-449
		Cembali (G.).- Voir Papa (T.)..	C5-73
		Chantre (A.).- Deep level de- fects in silicon after beam processing in the solid phase regime.....	C5-269

- Chaumont (J.).- Voir Battaglin (G.)..... C5-481
- Chemisky (G.), Barbier (D.) and Laugier (A.).- Melting and freezing kinetics induced by pulsed electron beam annealing in ion-implanted silicon..... C5-91
- Chemisky (G.).- Voir Fogarassy (E.)..... C5-241
- Chemisky (G.).- Voir Barbier (D.)..... C5-209
- Chemisky (G.).- Voir Laugier (A.)..... C5-369
- Cohen (C.), Siejka (J.), Pribat (D.), Berti (M.), Drigo (A.V.), Bentini (G.G.) and Jannitti (E.).- Native oxides behavior during pulsed laser irradiation of GaAs..... C5-179
- Colinge (J.P.), Demoulin (E.), Bensahel (D.) and Auvert (G.).- Transistors made in single-crystal SOI films.... C5-409
- Com-Nougué (J.).- Voir Muller (J.C.)..... C5-375
- Compaan (A.).- Voir Contreras (G.)..... C5-55
- Compaan (A.).- Voir Contreras (G.)..... C5-193
- Compaan (A.).- Voir Wagner (J.) C5-61
- Compaan (A.), Contreras (G.), Cardona (M.) and Axmann (A.).- Phonon softening in ultra heavily doped Si and Ge..... C5-197
- Compaan (A.).- Voir Viña (L.).. C5-203
- Contreras (G.), Compaan (A.), Wagner (J.), Cardona (M.) and Axmann (A.).- The $E_1-E_1+\Delta_1$ transitions in bulk grown and in implanted laser annealed heavily doped germanium : luminescence..... C5-55
- Contreras (G.), Compaan (A.) and Axmann (A.).- Raman studies of the P local mode vibration in P implanted, laser annealed Ge..... C5-193
- Contrera (G.).- Voir Compaan (A.)..... C5-197
- Courcelle (E.).- Voir Muller (J.C.)..... C5-375
- D'Anna (E.), Leggieri (G.), Luches (A.), Nassisi (V.), Nava (F.) and Nobili (C.).- Pulsed annealing of silicon/platinum systems..... C5-421
- Davis (J.R.), McMahon (R.A.) and Ahmed (H.).- Techniques for producing defect-free SOI by dual electron beam heating of deposited polysilicon..... C5-337
- Della Mea (G.).- Voir Battaglin (G.)..... C5-481
- Demoulin (E.).- Voir Colinge (J.P.)..... C5-409
- Desoyer (J.C.).- Voir Broutet (F.)..... C5-215
- Doghmane (M.S.), Barbier (D.) and Laugier (A.).- Electrical characteristics of Au Schottky contacts evaporated on pulsed electron beam annealed N-type (100) silicon..... C5-297
- Doghmane (M.S.).- Voir Laugier (A.)..... C5-369
- Donà dalle Rose (L.F.).- Ultra-short heat transients in metals under laser irradiation..... C5-469
- Donà dalle Rose (L.F.).- Voir Battaglin (G.)..... C5-481

Dori (L.), Impronta (M.), Lulli (G.), Merli (P.G.) and Severi (M.).- Rapid isothermal annealing of ion implanted silicon devices by uniform large area irra- diation with a new electron beam system.....	C5-415	Goltzene (A.), Meyer (B.), Schwab (C.), Muller (J.C.) and Siffert (P.).- Electron spin resonance investiga- tion of the effects of the H_2^+ implantation and diffu- sion one the laser induced defects in virgin silicon...	C5-307
Dowsett (M.).- Voir Godfrey (D.J.).....	C5-229	Götzlich (J.).- Voir Ryssel (H.).....	C5-389
Drigo (A.V.).- Voir Cohen (C.)..	C5-179	Grimaldi (M.G.).- Voir Baeri (P.).....	C5-449
Duhamel (N.).- Voir Nissim (Y.I.).....	C5-247	Grob (J.J.).- Voir Barbier (D.).	C5-209
Fogarassy (E.).- Voir Broutet (F.).....	C5-215	Haond (M.).- Recrystallization of Si on insulating sub- strates by using incoherent light sources.....	C5-327
Fogarassy (E.), Siffert (P.), Barbier (D.), Chemisky (G.) and Laugier (A.).- Pulsed laser and electron beam in- duced diffusion of antimony in silicon.....	C5-241	Hasko (D.G.), McMahon (R.A.) and Ahmed (H.).- The annea- ling behaviour of high dose As^+ implants.....	C5-223
Fogarassy (E.) and Siffert (P.) .- Fabrication of high effi- ciency silicon solar cells by laser induced diffusion..	C5-363	Heddache (R.).- Voir Toulemonde (M.).....	C5-83
Fogarassy (E.).- Voir Slaoui (A.).....	C5-65	Henry (L.).- Voir Mottet (S.)..	C5-139
Forchel (A.).- Voir Laurich (B.).....	C5-43	Hirlimann (C.).- Femtosecond reflectivity measurement of highly photoexcited silicon.	C5-99
Forchel (A.).- Voir Mahler (G.)	C5-37	Hode (J.M.) and Joly (J.P.).- Thermal modeling of CW laser-crytallization of SOI.	C5-343
Gill (S.S.) and Sealy (B.J.).- Rapid thermal annealing of selenium implanted InP.....	C5-253	Hoffman (L.).- Voir Krimmel (E.E.).....	C5-461
Giordano (L.).- Voir Ramous (E.).....	C5-501	Impronta (M.).- Voir Dori (L.).	C5-415
Godfrey (D.J.), McMahon (R.A.), Ahmed (H.) and Dowsett (M.) .- Highly controlled diffu- sion of ion implanted arse- nic by multiple scan elec- tron beam heating.....	C5-229	Jain (A.K.).- Voir Battaglin (G.).....	C5-481
		Jannitti (E.).- Voir Cohen (C.)	C5-179
		Jaouen (C.).- Voir Mathe (E.L.)	C5-507
		Jausaud (C.), Biasse (B.), Cartier (A.M.) et Bontemps (A.).- Recuit d'implanta- tion par faisceau d'elec- trons balayés.....	C5-303

Joly (J.P.).- Voir Hode (J.M.)	C5-343	Laugier (A.).- Voir Barbier (D.).....	C5-209
Joukoff (B.). - Voir Nissim (Y.I.).....	C5-247	Laugier (A.), Barbier (D.), Doghmane (M.S.) and Chemisky (G.).- Effect of heating samples during pulsed electron beam annealing on the open-circuit voltage of silicon solar cells.....	C5-369
Keilmann (F.).- Instability of metal surfaces under intense infrared irradiation.....	C5-77		
Kerrand (E.).- Voir Muller (J.C.).....	C5-375		
Kräutle (H.), Schröder (M.) and Beneking (H.).- Production of small ohmic contacts by laser processing for Si and GaAs devices.....	C5-439	Laugier (A.).- Voir Chemisky (G.).....	C5-91
Kreutz (E.W.), Treusch (G.) and Zimmer (W.).- Conductivity transients of Si and InSb under intense laser excitation.....	C5-111	Laugier (A.).- Voir Doghmane (D.).....	C5-207
Krimmel (E.E.), Lutsch (A.G.K.), Hoffman (L.) and Weyrich (C.).- Selfaligned metallic contacts on GaP : N-LEDs processed by laser pulse irradiation-induced ablation.....	C5-461	Laugier (A.).- Voir Fogarassy (E.).....	C5-241
Kulkarni (V.N.).- Voir Battaglin.....	C5-481	Laurich (B.), Forchel (A.).- Luminescence study of non-equilibrium effects in laser generated plasma.....	C5-43
Kurz (H.), Lompré (L.A.) and Liu (J.M.).- Fundamentals of pulsed laser irradiation of silicon.....	C5-23	Leggieri (G.).- Voir D'Anna (E.).....	C5-421
Lami (Ph.).- Voir Torres (J.)..	C5-455	Legros (R.).- Voir Uzan (C.)...	C5-261
Larsen (A.N.).- Voir Nielsen (L.D.).....	C5-381	Leray (C.), Bouree (J.E.) et Rodot (M.).- Diffusion de l'aluminium dans le silicium cristallin par recuit laser semi-continu.....	C5-235
Larsen (A.N.), Borisenko (V.E.) and Nielsen (L.D.).- Doping of silicon with arsenic and phosphorus from spin-on sources exposed to incoherent light.....	C5-427	Levy (R.).- Voir Tomasini (F.).	C5-79
Laude (L.D.).- Voir Wautelet (M.).....	C5-49	Liu (J.M.).- Voir Kurz (H.)....	C5-23
		Lompré (L.A.).- Voir Kurz (H.).	C5-23
		Luches (A.).- Voir D'Anna (E.).	C5-421
		Lulli (G.).- Voir Dori (L.)....	C5-415
		Lutsch (A.G.K.).- Voir Krimmel (E.E.).....	C5-461
		McMahon (R.A.).- Voir Davis (J.R.).....	C5-337
		McMahon (R.A.).- Voir Hasko (D.G.).....	C5-223

McMahon (R.A.).- Voir Godfrey (D.J.).....	C5-229	Morgan (S.L.).- Voir Adams (A.E.).....	C5-433
Mahler (G.), Forchel (A.).- Plasma transport and laser annealing.....	C5-37	Mottet (S.) and Henry (L.).- Maskless micro etching of GaAs directly controlled by calculator.....	C5-139
Marfaing (J.).- Voir Marine (W.).....	C5-123	Muller (J.C.).- Voir Goltzene (A.).....	C5-307
Marfaing (Y.).- Voir Uzan (C.).	C5-261	Muller (J.C.).- Voir Mathe (E.L.).....	C5-507
Marine (W.), Marfaing (J.), Mathiez (P.) and Salvan (F.).- Dynamics of laser annealing of α -GaAs.....	C5-123	Muller (J.C.).- Voir Mesli (A.)	C5-281
Marinelli (M.).- Voir Papa (T.)	C5-73	Muller (J.C.).- Voir Slaoui (A.).....	C5-65
Marinelli (M.).- Voir Zammit (U.).....	C5-313	Muller (J.C.), Courcelle (E.), Barthe (S.), Siffert (P.), Com-Nougué (J.), Kerrand (E.) and Tessari (C.).- Pulsed and CW laser treatments of implanted polysilicon solar cells.....	C5-375
Maruani (A.), Nissim (Y.I.), Bonnouvier (F.) and Paquet (D.).- Transients in CW laser heating of semiconductors : general method, analytical solutions and illustrations.....	C5-87	Nassisi (V.).- Voir D'Anna (E.)	C5-421
Mathe (E.L.), Jaouen (C.), Bellara (A.) et Muller (J.C.).- Mixage par faisceau laser pulsé de multicouches de fer et d'aluminium déposé sous vide.....	C5-507	Nava (F.).- Voir D'Anna (E.)...	C5-421
Mathiez (P.).- Voir Marine (W.)	C5-123	Nielsen (L.D.), Larsen (A.N.) and Borisenko (V.E.).- Incoherent-light annealing of phosphorus implanted silicon, with solar cell production in view.....	C5-381
Mazzoldi (P.).- Voir Battaglin (G.).....	C5-481	Nielsen (L.D.).- Voir Larsen (A.N.).....	C5-427
Mercier (E.).- Voir Balland (B.).....	C5-319	Nielsen (F.).- Voir Toulemonde (M.).....	C5-83
Merli (P.G.).- Voir Dori (L.)..	C5-415	Nissim (Y.I.).- Voir Maruani (A.).....	C5-87
Mesli (A.), Muller (J.C.) and Siffert (P.).- Analysis and origin of point defects in silicon after liquid phase transient annealing.....	C5-281	Nissim (Y.I.), Joukoff (B.), Sapriel (J.) and Duhamel (N.).- Annealing of high dose implanted GaAs with halogen lamps.....	C5-247
Meyer (B.).- Voir Goltzene (A.)	C5-307	Nissim (Y.I.).- Voir Sapriel (J.).....	C5-187
Miotello (A.).- Voir Battaglin (G.).....	C5-481		

- | | | | |
|--|--------|---|--------|
| Nobili (C.).- Voir D'Anna (E.). | C5-421 | Ruterana (P.).- Voir Boissy (M.C.)..... | C5-401 |
| Nouet (G.).- Voir Boissy (M.C.) | C5-401 | Ryssel (H.) und Götzlich (J.).- Anwendung des Laserausheißens für Halbleiterbauelemente..... | C5-389 |
| Osgood (R.M.), Jr.- Material deposition and removal using laser-initiated chemistry..... | C5-133 | Salvan (F.).- Voir Marine (W.). | C5-123 |
| Oudar (J.L.).- Voir Sapriel (J.)..... | C5-187 | Sapriel (J.).- Voir Nissim (Y.I.)..... | C5-247 |
| Papa (T.), Scudieri (F.), Marinelli (M.), Zammit (U.) and Cembali (G.).- Thermal conductivity measurements of implanted Si..... | C5-73 | Sapriel (J.), Nissim (Y.I.) and Oudar (J.L.).- Picosecond laser annealing of implanted Si and GaAs : a comparative study with a Raman microprobe..... | C5-187 |
| Paquet (D.).- Voir Maruani (A.) | C5-87 | Schröder (M.).- Voir Kräutle (H.)..... | C5-439 |
| Pauleau (Y.).- Voir Torres (J.) | C5-455 | Schwab (C.).- Voir Goltzene (A.)..... | C5-307 |
| Pigeolet (A.).- Voir Andrew (R.) | C5-495 | Scudieri (F.).- Voir Papa (T.). | C5-73 |
| Pinard (P.).- Voir Balland (B.) | C5-319 | Scudieri (F.).- Voir Zammit (U.)..... | C5-313 |
| Pospieszczyk (A.), Abdel Harith (M.) and Stritzker (B.).- Lattice temperature of GaAs and Si during pulsed laser annealing..... | C5-129 | Sealy (B.J.).- Voir Gill (S.S.) | C5-253 |
| Pribat (D.).- Voir Cohen (C.).. | C5-179 | Severi (M.).- Voir Dori (L.)... | C5-415 |
| Principi (G.).- Voir Ramous (E.)..... | C5-501 | Siejka (J.).- Voir Cohen (C.).. | C5-179 |
| Ramous (E.), Giordano (L.), Principi (G.) and Tiziani (A.).- Metastable phases obtained by high power laser surface melting of cast-iron and steels..... | C5-501 | Siffert (P.).- Voir Barbier (D.)..... | C5-209 |
| Remaki (B.).- Voir Balland (B.) | C5-319 | Siffert (P.).- Voir Broutet (F.)..... | C5-215 |
| Rimini (E.).- Voir Baeri (P.).. | C5-449 | Siffert (P.).- Voir Fogarassy (E.)..... | C5-241 |
| Rodot (M.).- Voir Leray (C.)... | C5-235 | Siffert (P.).- Voir Fogarassy (E.)..... | C5-363 |
| Rosser (P.J.) and Tomkins (G.) .- Thermal pulse annealing of titanium and tantalum silicides..... | C5-445 | Siffert (P.).- Voir Goltzene (A.)..... | C5-307 |
| | | Siffert (P.).- Voir Mesli (A.). | C5-281 |
| | | Siffert (P.).- Voir Muller (J.C.)..... | C5-375 |

Siffert (P.).- Voir Slaoui (A.)	C5-65	Van Vechten (J.A.).- Bose condensation and the athermal nature of pulsed laser annealing.....	C5-11
Siffert (P.).- Voir Toulemonde (M.).....	C5-83		
Slaoui (A.), Fogarassy (E.), Muller (J.C.) and Siffert (P.).- Study of some optical and electrical properties of heavily doped silicon layers.....	C5-65	Viña (L.), Umbach (C.), Compaan (A.), Cardona (M.) and Axmann (A.).- The electronic structure of heavily doped ion implanted laser annealed silicon : ellipsometric measurements.....	C5-203
Sood (D.K.).- Voir Battaglin (G.).....	C5-481	Vitali (G.).- Voir Zammit (U.).	C5-313
Stritzker (B.).- Voir Pospieszczyk (A.).....	C5-129	Von der Linde (G.).- Voir Wartmann (G.).....	C5-107
Stritzker (B.).- Voir Wolthuis (A.).....	C5-489	Wagner (J.), Compaan (A.) and Axmann (A.).- Photoluminescence in heavily doped Si and Ge.....	C5-61
Stuck (R.).- Voir Barbier (D.).	C5-209	Wagner (J.).- Voir Contreras (G.).....	C5-55
Tessari (C.).- Voir Muller (J.C.).....	C5-375	Wartmann (G.) and von der Linde (D.).- Time resolved Raman spectra during pulsed laser heating of silicon.....	C5-107
Tiziani (A.).- Voir Ramous (E.)	C5-501	Wautelet (M.).- Voir Andrew (R.).....	C5-171
Tomasini (F.), Bigot (J.Y.) and Levy (R.).- Renormalization effects of the polariton dispersion.....	C5-79	Wautelet (M.) and Laude (L.D.).- Mechanisms of melting of silicon.....	C5-49
Tomkins (G.).- Voir Rosser (P.J.).....	C5-445	Weyrich (C.).- Voir Krimmel (E.E.).....	C5-461
Torres (J.), Bomchil (G.), Pauleau (Y.), Lami (P.h.) and Auvert (G.).- Reaction kinetics of MoSi ₂ silicide obtained by cw laser annealing of Si(a) and Si _{poly} /Mo bilayers.....	C5-455	White (C.W.).- Dopant incorporation during nonequilibrium solidification.....	C5-145
Toulemonde (M.), Heddache (R.), Nielsen (F.) and Siffert (P.).- Depth measurement of the phase change under pulsed ruby laser annealing.....	C5-83	Wolthuis (A.) and Stritzker (B.).- Amorphous AuBi alloys produced by laser quenching and ion irradiation.....	C5-489
Treusch (G.).- Voir Kreutz (E.W.).....	C5-111	Zammit (U.).- Voir Papa (T.)...	C5-73
Umbach (C.).- Voir Viña (L.)...	C5-203	Zammit (U.), Marinelli (M.), Vitali (G.) and Scudieri (F.).- Low power laser annealing in α -Ge.....	C5-313
Uzan (C.), Legros (R.) et Marfaing (Y.).- Incorporation du phosphore dans CdTe par recuit laser.....	C5-261	Zimmer (W.).- Voir Kreutz (E.W.).....	C5-111

COLLOQUE N° 6 - 1983

Third International Topical Meeting on Photoacoustic and Photothermal Spectroscopy

Paris (France), 1983

Aamodt (L.C.) and Murphy (J.C.).- Generalized saturation criteria for photothermal measurements.....	C6-115	Balizer (E.) and Talaat (H.).- Crystallization studies of polymer blends by Fourier transform IR photoacoustic spectroscopy.....	C6-131
Aamodt (L.C.).- Voir Murphy (J.C.).....	C6-513	Baumann (J.).- Voir Tilgner (R.).....	C6-469
Abate (J.A.) and Roides (R.).- Spatially resolved absorption and detection of microscopic impurities in optical thin films by photothermal detection.....	C6-497	Bechthold (P.S.), Manzke (R.) and Schollhorn (R.).- Electronic properties of pure and intercalated 2H-NbS ₂ by means of photoacoustic spectroscopy.....	C6-159
Almond (D.P.), Patel (P.M.) and Reiter (H.).- The potential value of photothermal imaging for the testing of plasma sprayed coatings.....	C6-491	Bein (B.).- Voir Junge (K.)...	C6-55
Amer (N.M.).- New approaches to photothermal spectroscopy	C6-185	Bein (B.K.) and Pelzl (J.).- Theory of signal generation in a photoacoustic cell....	C6-27
Amer (N.M.), Olmstead (M.A.), Fournier (D.) and Boccara (A.C.).- Photothermal displacement spectroscopy of surfaces and thin films....	C6-317	Benchikh (O.), Radwan (J.), Teixeira (J.) and Fournier (D.).- Thermal measurements on supercooled liquids and emulsion by "mirage" detection.....	C6-509
Anjo (D.M.).- Voir Moore (T.A.).....	C6-339	Benin (D.).- Voir Moore (T.A.)	C6-339
Arakawa (E.T.).- Voir Goudonnet (J.P.).....	C6-275	Benin (D.).- Voir Moore (T.A.)	C6-351
Arnold (W.).- Voir Betz (B.)..	C6-61	Bertrand (L.).- Voir Rousset (G.).....	C6-165
Ash (E.A.).- Voir Wickramasinghe (H.K.).....	C6-191	Betz (B.) and Arnold (W.).- Frequency spectrum of laser-generated ultrasonic waves.....	C6-61
Auzel (F.).- Voir Meichenin (D.).....	C6-151	Bocarsly (A.).- Voir Royce (B.S.H.).....	C6-325
Azuma (K.) and Yamada (T.).- Photoacoustic study of metal-film/metal-foil system...	C6-301	Boccara (A.C.).- Voir Amer (N.M.).....	C6-317
Badoz (J.).- Voir Fournier (D.).....	C6-145	Boccara (A.C.).- Voir Fournier (D.).....	C6-145

Boccara (A.C.).- Voir Fournier (D.).....	C6-479	Carpentier (R.), LaRue (B.) and Leblanc (R.M.).- Photo-synthesis action spectra in anacystis nidulans as determined by photoacoustic spectroscopy.....	C6-355
Boccara (A.C.).- Voir Roger (J.P.).....	C6-313		
Boissay (S.).- Voir Plichon (V.).....	C6-109	Cecile (J.L.).- Voir Plichon (V.).....	C6-109
Bordé (Ch.J.).- Comments on photoacoustic and photo-thermal spectroscopy of gases compared to optical methods.....	C6-593	Chambron (J.).- Voir Poulet (P.).....	C6-413
Braslavsky (S.E.).- Voir Jabben (M.).....	C6-389	Charbonnier (F.).- Voir Rousset (G.).....	C6-39
Breuer (H.D.).- Intermolecular energy transfer in adsorption layers.....	C6-321	Chardon (D.).- Voir Huard (S.J.).....	C6-91
Brücher (K.H.).- Voir Xiao Li.	C6-137	Chen (C.).- Voir Ming (C.)....	C6-533
Brundage (R.T.).- Voir Gallmeier (M.).....	C6-401	Chen (C.).- Voir Wang (W.)....	C6-527
Brundage (R.T.).- Voir Johnson (C.).....	C6-253	Chen (G.).- Voir Deng (Y.)....	C6-569
Brzezinski (L.).- Voir Merle (A.M.).....	C6-361	Chergaoui (A.).- Voir Merle (A.M.).....	C6-291
Büchner (B.).- Voir Korpiun (P.).....	C6-85	Chergaoui (A.).- Voir Merle (A.M.).....	C6-361
Büchner (B.), Korpiun (P.), Lüscher (E.) and Schönherr (J.).- Influence of the transport of water in plant cuticles on the PA signal..	C6-125	Childers (J.W.), Crumbliss (A.L.), Lugg (P.S.), Palmer (R.A.), Morosoff (N.) and Patel (D.L.).- Spectral characterization of redox-active prussian blue on metallated plasma polymer surface modified carbon electrodes using photothermal detection.....	C6-285
Buffa (G.).- Voir Di Lieto (A.).....	C6-547	Chuang (T.J.).- Voir Coufal (H.).....	C6-297
Burt (J.A.).- Ray theory of thermal wave imaging.....	C6-453	Clark (C.G.).- Voir Wetsel (G.C.).....	C6-67
Busse (G.).- Thermal wave non-destructive depth profiling with stereoscopic photo-thermal detection.....	C6-471	Coufal (H.).- Voir Möller (U.)	C6-121
Busse (G.) and Eyerer (P.).- Thermal wave non-contacting evaluation of polymers.....	C6-475	Coufal (H.).- Voir Tam (A.C.).	C6-9
Busse (G.).- Optically generated thermal waves for non-destructive material probing and imaging.....	C6-427	Coufal (H.).- Voir Tam (A.C.).	C6-203
		Coufal (H.), Chuang (T.J.) and Träger (F.).- Application of infrared laser photoacoustic spectroscopy to surface studies.....	C6-297

- | | | | |
|---|--------|--|--------|
| Crumbliss (A.L.).- Voir
Childers (J.W.)..... | C6-285 | Eyerer (P.).- Voir Busse (G.). | C6-475 |
| Dandridge (A.).- Voir Leslie
(D.H.)..... | C6-537 | Favro (L.D.).- Voir Grice
(K.R.)..... | C6-519 |
| Das (V.S.R.).- Voir
Veeranjaneyulu (K.)..... | C6-367 | Fournier (D.).- Voir Roger
(J.P.)..... | C6-313 |
| Davidson (R.S.).- Voir King
(D.)..... | C6-177 | Fournier (D.).- Voir Amer
(N.M.)..... | C6-317 |
| Davidson (R.S.).- The contri-
bution of photoacoustic and
photothermal spectroscopy
to surface chemistry : ad-
sorbed species, catalysis
and corrosion..... | C6-267 | Fournier (D.).- Voir Benchikh
(O.)..... | C6-509 |
| Delmelle (M.).- Voir Renard
(M.)..... | C6-383 | Fournier (D.), Boccara (A.C.)
and Badoz (J.).- Contrast
improvement in photoacous-
tic and diffuse light
Fourier transform spectros-
copy..... | C6-145 |
| Deng (Y.), Chen (G.), Sheng
(R.) and Wang (M.).- Laser
photoacoustic determination
of trace substance..... | C6-569 | Fournier (D.), Lepoutre (F.)
and Boccara (A.C.).- Tomo-
graphic approach for photo-
thermal imaging using the
mirage effect..... | C6-479 |
| Deng (Y.), Sheng (R.) and Wang
(M.).- Laser thermal lens
effect and its application
to trace solutes determina-
tion..... | C6-565 | Fujii (M.).- Voir Kitamori
(T.)..... | C6-209 |
| Diaci (J.).- Voir Možina (J.). | C6-73 | Gallmeier (M.), Strauss (E.),
Germer (R.), Schubert (W.),
Brundage (R.T.) and Yen
(W.M.).- Photoacoustic in-
vestigation of the relaxa-
tion of the 2E state of ru-
by..... | C6-401 |
| Dieulesaint (E.).- Voir Royer
(D.)..... | C6-79 | Ganguly (P.).- Voir
Somasundaram (T.)..... | C6-239 |
| Di Lieto (A.).- Voir Tonelli
(M.)..... | C6-553 | Germer (R.).- Voir Gallmeier
(M.)..... | C6-401 |
| Di Lieto (A.), Buffa (G.)
Minguzzi (P.), Tarrini
(O.), Tonelli (M.) and
Meucci (M.).- An acousstic
approach to millimeter-wave
linewidth spectroscopy..... | C6-547 | Germer (R.).- Voir Keller
(W.W.A.)..... | C6-397 |
| Dohrmann (J.K.) and Sander
(U.).- Difference photo-
acoustic and difference re-
flectance spectra of the
electrode-electrolyte in-
terface. Thin oxide films
on gold and platinum..... | C6-281 | Giannotti (C.).- Voir Merle
(A.M.)..... | C6-291 |
| Dorion (P.), Pouligny (B.) et
Lalanne (J.R.).- Mesure op-
tique de la conductivité
thermique d'échantillons
faiblement absorbants par
analyse du spectre de
Fourier spatial d'une len-
tille thermique induite.... | C6-197 | Giese (K.) and Kölmel (K.).- A
photoacoustic hydration
study of human stratum cor-
neum..... | C6-373 |
| | | Glynn (T.J.).- Voir Johnson
(C.)..... | C6-253 |
| | | Gohshi (Y.).- Voir Kitamori
(T.)..... | C6-209 |
| | | Görtz (W.).- Voir Xiao Li..... | C6-137 |

- | | | | |
|--|--------|---|--------|
| Goudonnet (J.P.) and Arakawa (E.T.).- Photoacoustic study of guided modes in LiF thin films..... | C6-275 | Junge (K.), Bein (B.) and Pelzl (J.).- PA effect at phase transitions : interference of thermoacoustic and thermoelastic contributions..... | C6-55 |
| Grice (K.R.), Inglehart (L.J.), Favro (L.D.), Kuo (P.K.) and Thomas (R.L.).- Thermal wave imaging of cracks in metals..... | C6-519 | Kadibelban (R.).- Voir Hess (P.)..... | C6-419 |
| Hess (P.), Kadibelban (R.), Karbach (A.) and Röper (J.).- Photoacoustic detection of kinetic processes by single pulse and resonance techniques..... | C6-419 | Karbach (A.).- Voir Hess (P.). | C6-419 |
| Hinderling (J.), Sigrist (M.W.) and Kneubühl (F.K.).- Laser photoacoustic spectroscopy in supersaturated water vapor..... | C6-559 | Keller (W.W.A.), Schubert (W.), Germer (R.) and Strauss (E.).- Time resolved photoacoustic spectroscopy of metastable electronic states of dye molecules | C6-397 |
| Hoshimiya (T.).- Theoretical analysis of differential absorption photoacoustic spectroscopy (DAPAS)..... | C6-259 | King (D.) and Davidson (R.S.).- Photoacoustic spectroscopy measurements of fluorescently whitened wool fabric..... | C6-177 |
| Huard (S.J.) and Chardon (D.).- Rayleigh surface waves (RSW) generated by photo-thermal process : theory... | C6-91 | Kirkbright (G.F.).- Some applications of photoacoustic spectroscopy to the study of chemical systems in the condensed phase - a tutorial review..... | C6-99 |
| Inglehart (L.J.).- Voir Grice (K.R.)..... | C6-519 | Kirkbright (G.F.), Miller (R.M.) and Rzadkiewicz (A.).- Applications of cross-correlation signal recovery in photoacoustics..... | C6-249 |
| Ironside (C.N.), Taylor (R.A.) and Ryan (J.).- Photothermal detection of picosecond photoinduced dichroism..... | C6-579 | Kirkbright (G.F.), Miller (R.M.), Spillane (D.E.M.) and Vickery (I.P.).- Surface and thin-film studies by photoacoustic spectroscopy applied to inorganic and biological materials..... | C6-243 |
| Jaarinen (J.) and Luukkala (M.).- Numerical analysis of thermal waves in stratified media for non-destructive testing purposes..... | C6-503 | Kitamori (T.), Fujii (M.), Sawada (T.) and Gohshi (Y.).- Theoretical aspects of photoacoustic signal detection with a direct coupling cell for liquid..... | C6-209 |
| Jabben (M.), Braslavsky (S.E.) and Schaffner (K.).- Laser-induced photoacoustic spectroscopy (OAS) of photochrome in-vitro..... | C6-389 | Klein (K.) and Pelzl (J.).- Experimental and theoretical studies of temperature gradient effects in resonant PA-cells..... | C6-227 |
| Johnson (C.), Brundage (R.T.), Glynn (T.J.) and Yen (W.M.).- Laser modulation induced by intracavity photothermal deflection..... | C6-253 | Kneubühl (F.K.).- Voir Hinderling (J.)..... | C6-559 |

- | | | | |
|--|--------|---|--------|
| Kölmei (K.).- Voir Giese (K.). | C6-373 | Louis (G.), Peretti (P.) et Ranson (P.).- Spectroscopie photoacoustique de molécules organiques en phase vapeur dans le proche ultraviolet..... | C6-541 |
| Korpiun (P.).- Voir Büchner (B.)..... | C6-125 | Lugg (P.S.).- Voir Childers (J.W.)..... | C6-285 |
| Korpiun (P.).- Voir Merté (B.) | C6-463 | Lüscher (E.).- Voir Büchner (B.)..... | C6-125 |
| Korpiun (P.) and Büchner (B.)
.- Photoacoustic signal in gas-microphone cells for all thermal lengths below acoustic resonance..... | C6-85 | Lüscher (E.).- Voir Merté (B.) | C6-463 |
| Korpiun (P.), Tilgner (R.) and Schmidt (D.).- Model of oscillating interface at first order phase transition and at glass transition - nonvanishing amplitude approximation..... | C6-43 | Luukkala (M.).- Voir Jaarinen (J.)..... | C6-503 |
| Köst (H.P.).- Voir Möller (U.) | C6-121 | McDonald (F.A.).- Three-dimensional thermoacoustic theory for the photoacoustic cell..... | C6-21 |
| Kuo (P.K.).- Voir Grice (K.R.) | C6-519 | Maillot (M.).- Voir Plichon (V.)..... | C6-109 |
| Lalanne (J.R.).- Voir Dorion (P.)..... | C6-197 | Manzke (R.).- Voir Bechthold (P.S.)..... | C6-159 |
| LaRue (B.).- Voir Carpentier (R.)..... | C6-355 | Martin (Y.).- Voir Wickramasinghe (H.K.)..... | C6-191 |
| Leblanc (R.M.).- Voir Carpentier (R.)..... | C6-355 | Mathur (R.N.) and Pandey (G.C.).- Determination of photoacoustic spectra of dyes-I congo red..... | C6-171 |
| Lepoutre (F.).- Coupled equations of modulated photo-thermal effects, hypotheses and solutions..... | C6-3 | Meichenin (D.) and Auzel (F.)
.- Comparative study of diffuse reflectance and photoacoustic spectroscopy for powder samples..... | C6-151 |
| Lepoutre (F.).- Voir Fournier (D.)..... | C6-479 | Merle (A.M.), Chergaoui (A.) and Brzezinski (L.).- Evolution of particulate chlorophyll in the Gironde estuary..... | C6-361 |
| Lepoutre (F.).- Voir Roger (J.P.)..... | C6-35 | Merle (A.M.), Chergaoui (A.) and Giannotti (C.).- Electron exchanges at the interface, porphyrin/semi-conductor or insulator oxides, studied by PAS and "mirage effect" detection.. | C6-291 |
| Lepoutre (F.).- Voir Rousset (G.)..... | C6-39 | Merté (B.), Korpiun (P.), Lüscher (E.) and Tilgner (R.).- Thermal diffusivity of polymer foils - semi-crystalline PETP and PE - as a function of drawing..... | C6-463 |
| Lerchner (H.).- Voir Netzelmann (U.)..... | C6-221 | | |
| Leslie (D.H.), Miles (R.O.) and Dandridge (A.).- Laser-gas spectrophone measurements with a fiber-optic interferometer..... | C6-537 | | |
| Letokhov (V.S.).- Voir Zharov (V.P.)..... | C6-573 | | |
| Liu (I.).- Voir Ming (C.)..... | C6-533 | | |
| Liu (Y.).- Voir Wang (W.)..... | C6-527 | | |

Meucci (M.).- Voir Di Lieto (A.).....	C6-547	Murphy (J.C.) and Aamodt (L.C.).- Reflective photo-thermal imaging.....	C6-513
Miles (R.O.).- Voir Leslie (D.H.).....	C6-537	Murphy (J.C.).- Voir Aamodt (L.C.).....	C6-115
Miller (R.M.).- Voir Kirkbright (G.F.).....	C6-243	Netzelmann (U.), Lerchner (H.), Pelzl (J.) and Sigrist (M.W.).- Detection of EPR using a pulsed microwave acoustic technique.	C6-221
Miller (R.M.).- Voir Kirkbright (G.F.).....	C6-249	Oehler (O.).- Voir Sourlier (D.).....	C6-587
Ming (C.), Liu (I.) and Chen (C.).- The CO ₂ laser opto-acoustic spectra of silicane, phosphine and borane...	C6-533	O'Hara (E.P.).- Voir Moore (T.A.).....	C6-339
Minguzzi (P.).- Voir Di Lieto (A.).....	C6-547	Olmstead (M.A.).- Voir Amer (N.M.).....	C6-317
Minguzzi (P.).- Voir Tonelli (M.).....	C6-553	Opsal (J.).- Voir Rosencwaig (A.).....	C6-483
Möller (U.).- Voir Schneider (S.).....	C6-407	Palmer (R.A.).- Voir Childers (J.W.).....	C6-285
Möller (U.), Köst (H.P.), Schneider (S.) and Coufal (H.).- Evaluation of stained and unstained electropherograms by photoacoustic spectroscopy.....	C6-121	Pandey (G.C.).- Photoacoustic spectroscopy in the study of metal toxicity.....	C6-379
Monchalain (J.P.).- Voir Rousset (G.).....	C6-165	Pandey (G.C.).- Voir Mathur (R.N.).....	C6-171
Montanari (S.G.).- Voir Zharov (V.P.).....	C6-573	Patel (P.M.).- Voir Almond (D.P.).....	C6-491
Moore (T.A.), Benin (D.) and Tom (R.).- Photoacoustic measurement of photophysical properties of photosynthetic pigments : porphyring and chlorophylls...	C6-351	Patel (D.L.).- Voir Childers (J.W.).....	C6-285
Moore (T.A.), O'Hara (E.P.), Anjo (D.M.), Tom (R.) and Benin (D.).- Photoacoustic spectroscopy and related techniques applied to biological materials.....	C6-339	Pelzl (J.).- Voir Bein (B.K.).	C6-27
Morosoff (N.).- Voir Childers (J.W.).....	C6-285	Pelzl (J.).- Voir Junge (K.)..	C6-55
Mozina (J.) and Diaci (J.).- The decrease of optoacoustic signals induced by the absorption of medium intensity laser pulses on solids	C6-73	Pelzl (J.).- Voir Klein (K.)..	C6-227
		Pelzl (J.).- Voir Netzelmann (U.).....	C6-221
		Peretti (P.).- Voir Louis (G.)	C6-541
		Perkampus (H.-H.).- Voir Xiao Li.....	C6-137
		Perrin (M.Y.).- Experimental study of CH ₄ (v ₃) deactivation in methane plus added rare gases.....	C6-347
		Plichon (V.), Cecile (J.L.), Boissay (S.) and Maillot (M.).- Applications of photoacoustic and diffuse reflectance spectroscopy in minerals flotation.....	C6-109

- | | | | |
|--|--------|---|--------|
| Plichon (V.).- Voir Rollat
(N.)..... | C6-307 | Rousset (G.), Monchalain
(J.P.) and Bertrand (L.).-
Infrared photoacoustic
spectrometer and data ana-
lysis for heterogeneous or
liquid samples..... | C6-165 |
| Poulet (P.) and Chambron (J.)
.- In vivo photoacoustic
spectroscopy of the skin... | C6-413 | | |
| Pouligny (B.).- Voir Dorion
(P.)..... | C6-197 | Royce (B.S.H.), Voss (D.) and
Bocarsly (A.).- Mirage ef-
fect studies of electroche-
mical processes..... | C6-325 |
| Radwan (J.).- Voir Benchikh
(O.)..... | C6-509 | | |
| Ranson (P.).- Voir Louis (G.). | C6-541 | Royer (D.) et Dieulesaint (E.)
.- Analyse de la génération
d'ondes de Rayleigh par ef-
fet photothermique..... | C6-79 |
| Reiter (H.).- Voir Almond
(D.P.)..... | C6-491 | | |
| Renard (M.) and Delmelle (M.)
.- Photoacoustic calorime-
try of bacteriorhodopsin
photocycle..... | C6-383 | Ryan (J.).- Voir Ironside
(C.N.)..... | C6-579 |
| | | Rzadkiewicz (A.).- Voir
Kirkbright (G.F.)..... | C6-249 |
| Roger (J.P.) and Lepoutre (F.)
.- Experimental observation
of thermal and acoustic mo-
des in the gas of a photo-
acoustic cell..... | C6-35 | Sander (U.).- Voir Dohrmann
(J.K.)..... | C6-281 |
| | | Sawada (T.).- Voir Kitamori
(T.)..... | C6-209 |
| Roger (J.P.), Fournier (D.)
and Boccara (A.C.).- Stu-
dies of electrode-electro-
lyte interfaces "in situ"
by mirage detection with
polarization modulation.... | C6-313 | Schaffner (K.).- Voir Jabben
(M.)..... | C6-389 |
| Roides (R.).- Voir Abate
(J.A.)..... | C6-497 | Schmidt (D.).- Voir Korpiun
(P.)..... | C6-43 |
| Rollat (N.) and Plichon (V.).-
Applications of mirage
spectroscopy in surface
concentration measurements
and adsorption kinetics.... | C6-307 | Schneider (S.) and Möller (U.)
.- Comparison of recorded
and calculated photoacous-
tic spectra of dye solu-
tions..... | C6-407 |
| Röper (J.).- Voir Hess (P.)... | C6-419 | Schneider (S.).- Voir Möller
(U.)..... | C6-121 |
| Rosencwaig (A.).- Applications
of thermal-wave physics to
semiconductor materials
analysis..... | C6-437 | Schöllhorn (J.).- Voir
Bechthold (P.S.)..... | C6-159 |
| | | Schönherr (J.).- Voir Büchner
(B.)..... | C6-125 |
| Rosencwaig (A.), Opsal (J.)
and Willenborg (D.L.).-
Thin-film thickness measu-
rements with thermal waves. | C6-483 | Schubert (W.).- Voir Keller
(W.W.A.)..... | C6-397 |
| | | Schubert (W.).- Voir Gallmeier
(M.)..... | C6-401 |
| Rousset (G.), Charbonnier (F.)
and Lepoutre (F.).- Calcu-
lation of thermoelastic
bendings of thin plates -
application to thermal dif-
fusivities measurements.... | C6-39 | Seo (H.J.).- Voir Yun (S.I.)... | C6-459 |
| | | Sheng (R.).- Voir Deng (Y.)... | C6-565 |
| | | Sheng (R.).- Voir Deng (Y.)... | C6-569 |
| | | Sigrist (M.W.).- Voir
Hinderling (J.)..... | C6-559 |

Sigrist (M.W.).- Voir Netzelmann (U.).....	C6-221	Thomas (R.L.).- Voir Grice (K.R.).....	C6-519
Sladký (P.).- Simultaneous photoacoustic transmit- tance/reflectance spec- troscopy (SIPATRS).....	C6-233	Tilgner (R.) and Baumann (J.) .- Photothermal examination of an adhesive bonded pie- zomembrane for telephone application - a self- testing sample.....	C6-469
Somasundaram (T.) and Ganguly (P.).- A novel technique for the enhancement of pho- toacoustic signal.....	C6-239	Tilgner (R.).- Voir Korpiun (P.).....	C6-43
Sourlier (D.) and Oehler (O.) .- A simple device for tra- ce gas analyses in the at- mosphere.....	C6-587	Tilgner (R.).- Voir Merté (B.)	C6-463
Spear (D.A.H.).- Voir Wickramasinghe (H.K.).....	C6-191	Tom (R.).- Voir Moore (T.A.)..	C6-339
Spillane (D.E.M.).- Voir Kirkbright (G.F.).....	C6-243	Tom (R.).- Voir Moore (T.A.)..	C6-351
Stotts (S.A.).- Voir Wetsel (G.C.), Jr.....	C6-67	Tonelli (M.).- Voir Di Lieto (A.).....	C6-547
Stotts (S.A.).- Voir Wetsel (G.C.), Jr.....	C6-215	Tonelli (M.), Minguzzi (P.) and Di Lieto (A.).- Inter- modulated optoacoustic spectroscopy.....	C6-553
Strauss (E.).- Voir Gallmeier (M.).....	C6-401	Träger (F.).- Voir Coufal (H.)	C6-297
Strauss (E.).- Voir Keller (W.W.A.).....	C6-397	Veeranjaneyulu (K.) and Das (V.S.R.).- Photoacoustic spectroscopy - leaf surface absorption spectra.....	C6-367
Sullivan (B.).- Voir Tam (A.C.).....	C6-203	Vickery (I.P.).- Voir Kirkbright (G.F.).....	C6-243
Talaat (H.).- Voir Balizer (E.).....	C6-131	Voss (D.).- Voir Royce (B.S.H.).....	C6-325
Tam (A.C.) and Coufal (H.).- Pulsed opto-acoustics : theory and applications....	C6-9	Wang (M.).- Voir Deng (Y.)....	C6-565
Tam (A.C.), Zapka (W.), Coufal (H.) and Sullivan (B.).- Optical probing of pho- toacoustic propagation for noncontact measurement of flows, temperatures and chemical compositions.....	C6-203	Wang (M.).- Voir Deng (Y.)....	C6-569
Tarrini (O.).- Voir Di Lieto (A.).....	C6-547	Wang (D.).- Voir Wang (W.)....	C6-527
Taylor (R.A.).- Voir Ironside (C.N.).....	C6-579	Wang (W.), Wang (D.), Chen (C.) and Liu (Y.).- Pyroly- sis-laser photoacoustic spectra (PLPAS) of polymers	C6-527
Teixeira (J.).- Voir Benchikh (O.).....	C6-509	Wetsel (G.C.), Jr. and Stotts (S.A.).- Absolute measure- ment of optical attenuation using photothermal laser- beam-deflection spectros- copy.....	C6-215
		Wetsel (G.C.), Jr., Stotts (S.A.) and Clark (C.G.).- Photothermal excitation of elastic waves by 10 ns la- ser pulses and detection by photoelastic laser-beam de- flection.....	C6-67

Wickramasinghe (H.K.), Martin (Y.), Spear (D.A.H.) and Ash (E.A.).- Optical heterodyne techniques for photoacoustic and photothermal detection.....	C6-191	Yen (W.M.).- Voir Gallmeier (M.).....	C6-401
Willenborg (D.L.).- Voir Rosencwaig (A.).....	C6-483	Yen (W.M.).- Voir Johnson (C.)	C6-253
Xiao Li, Brücher (K.H.), Görtz (W.) and Perkampus (H.-H.).- PA-spectroscopic investigation on flower petals..	C6-137	Yun (S.I.) and Seo (H.J.).- Photoacoustic measurements of thermal diffusivity or thickness of multi-layer solids.....	C6-459
Yamada (T.).- Voir Azuma (K.).	C6-301	Zapka (W.).- Voir Tam (A.C.)..	C6-203
Yen (W.M.).- Spatial and spectral energy transfer in solids.....	C6-333	Zharov (V.P.), Letokhov (V.S.) and Montanari (S.G.).- Laser optothermal detection of absorption in gas flows.	C6-573

COLLOQUE N° 7 - 1983

International Colloquium on Optogalvanic Spectroscopy and its Applications

Aussois (France), 1983

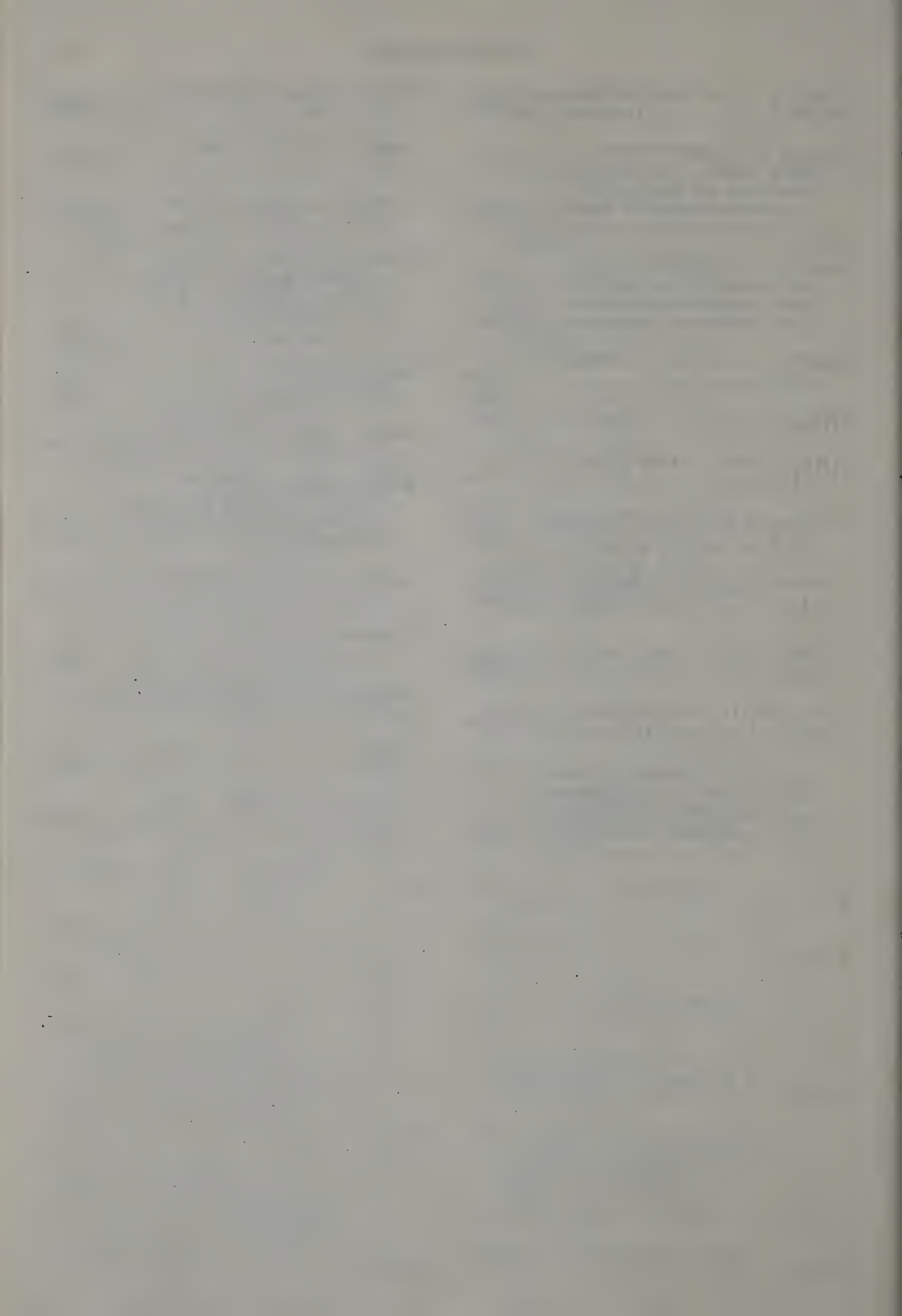
Adachi (Y.).- Voir Nakajima (T.).....	C7-497	Beigang (R.), Schmidt (D.) and West (P.J.).- Laser spectroscopy of high Rydberg states of light alkaline-earth elements : Be and Mg.	C7-229
Arimondo (E.), Di Vito (M.G.), Ernst (K.) and Inguscio (M.).- Simultaneous observation of optogalvanic and optoacoustic effects in a neon discharge.....	C7-267	Belfrage (Ch.), Grafstrom (P.), Kroll (S.) and Svanberg (S.).- Intermodulated optogalvanic spectroscopy - a comparison with other high resolution techniques.....	C7-169
Attal (B.), Péalat (M.) and Taran (J.P.).- CARS, the only tool for the diagnostics of reactive media ?...	C7-287	Ben-Amar (A.).- Voir Shuker (R.).....	C7-35
Avouris (Ph.).- Voir Walkup (R.).....	C7-441	Berglind (T.).- Voir Axner (O.).....	C7-311
Axner (O.), Berglind (T.), Heully (J.L.), Lindgren (I.) and Rubinsztein-Dunlop (H.).- Theory of laser-enhanced ionization in flames - comparison with experiments.....	C7-311	Berglind (T.) and Casparsson (L.).- Micro-wave detection of laser enhanced ionization of metals in flames...	C7-329
Behrens (H.-O.) and Guthöhrlein (G.H.).- High resolution optogalvanic spectroscopy as a useful tool in the determination of atomic hyperfine parameters and isotopic shifts...	C7-149	Berthoud (Th.), Camus (P.), Drin (N.) and Stehle (J.L.).- Atomic analysis instrument using optogalvanic spectroscopy.....	C7-389
Behrens (H.-O.), Guthöhrlein (G.H.) and Kasper (A.).- Optical-optical double resonance experiments with gallium and indium atoms via optogalvanic detection.	C7-239	Berthoud (Th.), Drin (N.), Lipinsky (J.) and Camus (P.).- Mechanisms of production and collection of charges in L.E.I. spectroscopy.....	C7-67
Beigang (R.) and Timmermann (A.).- Doppler-free two-photon laser spectroscopy of Rydberg states in alkaline-earth elements with thermionic detection.....	C7-137	Beterov (I.M.) and Fateyev (N.V.).- Laser optogalvanic effects caused by formation of negative ions.....	C7-447
		Biraben (F.).- Voir Giacobino (E.).....	C7-505
		Biraben (F.).- Voir Penent (F.).....	C7-193

Broglia (M.), Catoni (F.) and Zampetti (P.).- Optogalva- nic detection of uranium high-lying levels.....	C7-251	Chaplygin (V.I.).- Voir Kuz'yakov (Yu.Ya.).....	C7-335
Broglia (M.), Catoni (F.) and Zampetti (P.).- Temporal behaviour of the optogalva- nic signal in a hollow ca- thode lamp.....	C7-479	Chardonnet (C.).- Voir Penent (F.).....	C7-193
Bruce (D.M.) and Duley (W.W.) .- Ionization detection of Rydberg lineshapes in strontium vapour perturbed by foreign gases.....	C7-469	Chekalin (N.V.).- Voir Bykov (I.V.).....	C7-345
Brunker (S.A.) and Haydon (S.C.).- Spatial and tempo- ral opto-galvanic effects in rare gases.....	C7-55	Cherbit (G.), Poulat (M.) et Vekhoff (D.).- Niveaux ex- cités du calcium lors de l'agrégation plaquettaire. Mise en évidence par détec- tion photo-ionique.....	C7-371
Bykov (I.V.), Skvortsov (A.B.), Tatsii (Yu.G.) and Chekalin (N.V.).- Metal trace analysis by flame/ graphite furnace OG spec- troscopy.....	C7-345	Collins (C.B.).- Molecular spectroscopy with optogal- vanic detection.....	C7-395
Caesar (T.) and Heully (J.L.) .- Optogalvanic spectroscopy in neon.....	C7-261	Delande (D.).- Voir Penent (F.).....	C7-193
Camus (P.).- Atomic spectros- copy with optogalvanic de- tection.....	C7-87	Demers (Y.).- Voir Gagné (J.M.).....	C7-355
Camus (P.).- Voir Berthoud (Th.).....	C7-67	DeVoe (J.R.).- Voir Turk (G.C.).....	C7-301
Camus (P.).- Voir Berthoud (Th.).....	C7-389	Dieulin (M.).- Voir Camus (P.)	C7-271
Camus (P.), Dieulin (M.) and El Himdy (A.).- Observation of the 5nd λ even doubly ex- cited states in neutral ba- rium using two-step opto- galvanic spectroscopy.....	C7-271	Di Vito (M.G.).- Voir Arimondo (E.).....	C7-267
Casparsson (L.).- Voir Berglind (T.).....	C7-329	Doughty (D.K.).- Voir Lawler (J.E.).....	C7-45
Catoni (F.).- Voir Broglia (M.).....	C7-479	Dreyfus (R.W.).- Voir Walkup (R.).....	C7-441
Catoni (F.).- Voir Broglia (M.).....	C7-251	Drèze (C.).- Voir Gagné (J.M.)	C7-355
Ceaulescu (N.).- Voir Popescu (I.I.).....	C7-3	Drin (N.).- Voir Berthoud (Th.).....	C7-389
		Drin (N.).- Voir Berthoud (Th.).....	C7-67
		Duley (W.W.).- Voir Bruce (D.M.).....	C7-469
		Dyer (P.).- Voir Keller (R.A.)	C7-23
		El Himdy (A.).- Voir Camus (P.).....	C7-271
		Engleman, Jr. (R.).- Voir Keller (R.A.).....	C7-23
		Erez (G.).- Voir Shuker (R.)..	C7-35

- Ernst (K.).- Voir Arimondo
(E.)..... C7-267
- Fateyev (N.V.).- Voir Beterov
(I.M.)..... C7-447
- Gagné (J.M.), Demers (Y.),
Pianarosa (P.) et Drèze
(C.).- Effet optogalvanique
dans une décharge à cathode
creuse : mécanisme et dosa-
ge isotopique de l'uranium. C7-355
- Gay (J.C.).- Voir Penent (F.). C7-193
- Giacobino (E.), Biraben (F.)
and Labastie (P.).- Opto-
galvanic study of xenon
Rydberg states..... C7-505
- Goldsmith (J.E.M.).- Resonant
multiphoton optogalvanic
spectroscopy of radicals in
flames..... C7-277
- Gough (D.S.).- Voir Hannaford
(P.)..... C7-107
- Grafstrom (P.).- Voir Belfrage
(Ch.)..... C7-169
- Grandin (J.P.).- Voir Lemoigne
(J.P.)..... C7-209
- Green (R.B.) and Hall (J.E.).-
Laser enhanced ionization
spectrometry with a total
consumption burner..... C7-319
- Guthöhrlein (G.H.).- Voir
Behrens (H.-O.)..... C7-149
- Guthöhrlein (G.H.).- Voir
Behrens (H.-O.)..... C7-239
- Hall (J.E.).- Voir Green
(R.B.)..... C7-319
- Hannaford (P.), Gough (D.S.)
and Series (G.W.).- Level-
crossing optogalvanic spec-
troscopy..... C7-107
- Haydon (S.C.).- Voir Brunker
(S.A.)..... C7-55
- Heully (J.L.).- Voir Axner
(O.)..... C7-311
- Heully (J.L.).- Voir Caesar
(T.)..... C7-261
- Hirose (C.).- Voir Nakajima
(T.)..... C7-497
- Husson (X.).- Voir Lemoigne
(J.P.)..... C7-209
- Inguscio (M.).- Voir Arimondo
(E.)..... C7-267
- Inguscio (M.).- High resolu-
tion intermodulated and
double resonance atomic
spectroscopy in a hollow
cathode..... C7-217
- Jongierius (M.J.) and Ras
(A.J.M.J.).- Optogalvanic
detection of acoustic reso-
nances in a high-pressure
sodium discharge..... C7-377
- Julien (L.).- Voir Pinard (M.) C7-129
- Kasper (A.).- Voir Behrens
(H.-O.)..... C7-239
- Kasuya (T.).- Voir Suzuki (T.) C7-419
- Keller (R.A.), Warner (B.E.),
Zalewski (E.F.), Dyer (P.),
Engleman Jr. (R.) and
Palmer (B.A.).- The mecha-
nism of the optogalvanic
effect in a hollow-cathode
discharge..... C7-23
- Kroll (S.).- Voir Belfrage
(Ch.)..... C7-169
- Kucal (H.).- Voir Lemoigne
(J.P.)..... C7-209
- Kuzyakov (Yu.Ya.), Zorov
(N.B.), Chaplygin (V.I.)
and Novodvorsky (O.A.).-
Trace analysis by laser op-
togalvanic spectroscopy.... C7-335
- Labastie (P.).- Voir Giacobino
(E.)..... C7-505
- Lawler (J.E.) and Doughty
(D.K.).- Experimental and
theoretical studies of op-
togalvanic effects in neon
discharges..... C7-45
- Lemoigne (J.P.), Grandin
(J.P.), Husson (X.) and
Kucal (H.).- R.F. optogal-
vanic detection of Rydberg
and autoionizing levels of
rare gases : diamagnetic
behaviour of xenon Rydberg
states..... C7-209

Lipinsky (J.).- Voir Berthoud (Th.).....	C7-67	Pettersson (M.).- Voir Pendrill (L.R.).....	C7-489
Lindgren (I.).- Voir Axner (O.).....	C7-311	Pianarosa (P.).- Voir Gagné (J.M.).....	C7-355
McDermid (I.S.) and Webster (C.R.).- Optogalvanic photodetachment spectroscopy..	C7-461	Pinard (M.) and Julien (L.).- Optogalvanic detection of optical pumping.....	C7-127
Maeda (S.).- Voir Nakajima (T.).....	C7-497	Popescu (I.I.) and Ceausescu (N.).- A survey on the Romanian contributions to the development of optogalvanic spectroscopy.....	C7-3
Menzies (R.T.).- Voir Webster (C.R.).....	C7-429	Poulat (M.).- Voir Cherbit (G.).....	C7-371
Miyazaki (K.), Scheingraber (H.) and Vidal (C.R.).- Optogalvanic double resonance spectroscopy of atomic and molecular discharges.....	C7-411	Ras (A.J.M.J.).- Voir Jongerius (M.J.).....	C7-377
Nakajima (T.), Uchitomi (N.), Adachi (Y.), Maeda (S.) and Hirose (C.).- Stark shift and broadening of atomic lines as observed on optogalvanic spectra of noble gases.....	C7-497	Rinneberg (H.) and Neukammer (J.).- High resolution laser spectroscopy of odd-parity barium Rydberg states populated by forbidden atomic transitions.....	C7-177
Nestor (J.R.).- Automated dye laser calibration using microprocessor control and opto-galvanic detection....	C7-387	Rubinsztein-Dunlop (H.).- Voir Axner (O.).....	C7-311
Neukammer (J.).- Voir Rinneberg (H.).....	C7-177	Scheingraber (H.).- Voir Miyazaki (K.).....	C7-411
Novodvorsky (O.A.).- Voir Kuzyakov (Yu.Ya.).....	C7-335	Schenck (P.K.), Travis (J.C.) and Turk (G.C.).- Studies of physical mechanisms in laser enhanced ionization in flames.....	C7-75
Osterberg (U.).- Voir Pendrill (L.R.).....	C7-489	Schmidt (D.).- Voir Beigang (R.).....	C7-229
Palmer (B.A.).- Voir Keller (R.A.).....	C7-23	Sekiguchi (H.).- Voir Suzuki (T.).....	C7-419
Péalat (M.).- Voir Attal (B.).	C7-287	Series (G.W.).- Voir Hannaford (P.).....	C7-107
Pendrill (L.R.), Pettersson (M.) and Osterberg (U.).- The importance of positive ions in optogalvanic detection with the thermionic diode and the glow discharge lamp.....	C7-489	Shuker (R.).- Optogalvanic spectroscopy of copper in a Ne/Cu hollow cathode.....	C7-455
Penent (F.), Chardonnet (C.), Delande (D.), Biraben (F.) and Gay (J.C.).- Ion detection techniques applied to Rydberg atoms in external fields.....	C7-193	Shuker (R.), Ben-Amar (A.) and Erez (G.).- Theoretical and experimental study of the resonant optogalvanic effect in neon discharges....	C7-35
		Skvortsov (A.B.).- Voir Bykov (I.V.).....	C7-345

Stehle (J.L.).- Voir Berthoud (Th.).....	C7-389	Uchitomi (N.).- Voir Nakajima (T.).....	C7-497
Strumia (F.).- Non linear Hanle effect : optogalvanic detection and application to power enhancement in gas lasers.....	C7-117	Vekhoff (D.).- Voir Cherbit (G.).....	C7-371
Suzuki (T.), Sekiguchi (H.) and Kasuya (T.).- Optogal- vanic detection with micro- wave discharge.....	C7-419	Vidal (C.R.).- Voir Miyazaki (K.).....	C7-411
Svanberg (S.).- Voir Belfrage (Ch.).....	C7-169	Walkup (R.), Dreyfus (R.W.) and Avouris (Ph.).- Molecu- lar ion detection by a la- ser induced change in mobi- lity.....	C7-441
Taran (J.P.).- Voir Attal (B.)	C7-287	Warner (B.E.).- Voir Keller (R.A.).....	C7-23
Tatsii (Yu.G.).- Voir Bykov (I.V.).....	C7-345	Webster (C.R.).- Voir McDermid (I.S.).....	C7-461
Timmermann (A.).- Voir Beigang (R.).....	C7-137	Webster (C.R.) and Menzies (R.T.).- Infrared laser op- togalvanic spectroscopy of NH ₃ and NO ₂	C7-429
Travis (J.C.).- Voir Schenck (P.K.).....	C7-75	West (P.J.).- Voir Beigang (R.).....	C7-229
Travis (J.C.).- Voir Turk (G.C.).....	C7-301	Zalewski (E.F.).- Voir Keller (R.A.).....	C7-23
Turk (G.C.).- Voir Schenck (P.K.).....	C7-75	Zampetti (P.).- Voir Broglia (M.).....	C7-479
Turk (G.C.), Travis (J.C.) and DeVoe (J.R.).- Laser-enhanced ionization spectrometry for trace metal analysis...	C7-301	Zampetti (P.).- Voir Broglia (M.).....	C7-251
		Zorov (N.B.).- Voir Kuzyakov (Yu.Ya.).....	C7-335



COLLOQUE N° 8 - 1983

International Workshop on Atomic Physics for Ion Driven Fusion

Orsay (France), 1983

Arnold (R.) and Meyer-ter-Vehn (J.).- Heavy ion beam heated cylinders : planning for hot dense matter experiments GSI.....	C8-137	Deutsch (C.), Maynard (G.) and Minoo (H.).- Ions stopping in dense and hot matter....	C8-67
Bailey (D.), Lee (Y.T.) and More (R.M.).- Ab initio calculations of the charge state of a fast heavy ion stopping in a finite temperature target.....	C8-149	Laget (J.P.).- Voir Dei-Cas (R.).....	C8-179
Bardy (J.).- Voir Dei-Cas (R.)	C8-179	Lee (Y.T.).- Voir Bailey (D.).	C8-149
Beuve (M.A.).- Voir Dei-Cas (R.).....	C8-179	McGuire (E.J.).- Voir Mehlhorn (T.A.).....	C8-39
Beynon (T.D.).- Energy deposition distributions for multiple ion-beam irradiation of ICF targets.....	C8-123	Maynard (G.).- Voir Deutsch (C.).....	C8-67
Chang (C.T.).- Ablation of a deuterium pellet in a fusion plasma viewed as a stopping power problem.....	C8-17	Mehlhorn (T.A.), Peek (J.M.), McGuire (E.J.), Olsen (J.N.) and Young (F.C.).- Current status of calculations and measurements of ion stopping power in ICF plasmas.....	C8-39
Cowern (N.E.B.).- Effective charge of energetic heavy ions in gases, solids and plasmas.....	C8-107	Menier (A.).- Voir Dei-Cas (R.).....	C8-179
Crowley (B.J.B.).- Dispersive effects in radiation transport and radiation hydrodynamics in matter at high density.....	C8-25	Meyer-ter-Vehn (J.).- Voir Arnold (R.).....	C8-137
Dei-Cas (R.), Bardy (J.), Beuve (M.A.), Laget (J.P.), Menier (A.) and Renaud (M.).- Heavy ion particle beam interaction with a hot ionized target.....	C8-179	Minoo (H.).- Voir Deutsch (C.)	C8-67
		More (R.M.).- Voir Bailey (D.)	C8-149
		Nardi (E.) and Zinamon (Z.).- Plasma effects in ion beam target interaction.....	C8-93
		Nardi (E.) and Zinamon (Z.).- Diagnostic techniques for intense particle beam-target interaction using K_{α} radiation.....	C8-167
		Olsen (J.N.).- Voir Mehlhorn (T.A.).....	C8-39

Peek (J.M.).- Voir Mehlhorn (T.A.).....	C8-39	Sayasov (Yu.S.).- Swift ion energy losses in dense plasmas.....	C8-1
Pouey (M.).- New grazing inci- dence spectrometer for hot plasma diagnostics.....	C8-201	Young (F.C.).- Voir Mehlhorn (T.A.).....	C8-39
Renaud (M.).- Voir Dei-Cas (R.).....	C8-179	Zinamon (Z.).- Voir Nardi (E.)	C8-93
Rose (S.J.).- Two-centre elec- tronic wave functions in plasmas.....	C8-159	Zinamon (Z.).- Voir Nardi (E.)	C8-167

Internal Friction and Ultrasonic Attenuation in Solids

Villeurbanne (France), 1983

Aberle (D.).- The applicability of magnetic damping alloys in gears for noise control considering service loading.....	C9-297	Augustyniak (B.), Fantozzi (G.) and Chomka (W.).- Influence of plastic deformation on internal friction of aluminium with oil layer	C9-499
Adams (R.D.).- Mechanisms of damping in composite materials.....	C9-29	Augustyniak (B.).- Influence of plastic deformation on magnetomechanical damping of Co-Pt alloy.....	C9-455
Adams (R.D.), Lin (D.X.) and Ni (R.G.).- Prediction and measurement of the natural frequencies and damping capacity of carbon fibre-reinforced plastics plates.	C9-525	Balanzat (E.), Derradji (N.E.) et Hillairet (J.).- Analyse des aspects cinétiques de la relaxation structurale d'alliages amorphes Ni ₂₄ Zr ₇₆	C9-85
Adams (R.D.) and Lin (D.X.).- Determination of the damping characteristics of structures by transient testing using zoom-FFT.....	C9-363	de Batist (R.).- High damping materials : mechanisms and applications.....	C9-39
Adams (R.D.) and Coveney (V.A.).- Mechanical hysteresis in materials used in superconducting electrical machines.....	C9-291	de Batist (R.).- See Miyada-Naborikawa (L.T.).....	C9-651
Alberola (N.).- See Vassoille (R.).....	C9-341	Baur (J.) and Kulik (A.).- Application of signal analysis to internal friction measurements.....	C9-357
Allia (P.).- See Bonetti (E.).	C9-133	Bauwens (J.-C.).- See Bauwens-Crowet (C.).....	C9-185
Amirault (J.P.).- See Guan de Lin.....	C9-771	Bauwens-Crowet (C.) and Bauwens (J.-C.).- Effet of thermal history on β relaxations and compression yield behavior of polycarbonate.....	C9-185
Arató (P.).- See Harangozó (I.Z.).....	C9-735	Bednarczyk (D.).- See Samatowicz (D.).....	C9-171
Astie (B.) et Degauque (J.).- Détermination par amortissement magnétoécanique de la répartition des contraintes internes dans le fer pur écroui.....	C9-461	Belhas (S.).- See Rivière (A.)	C9-747
Augustyniak (B.) and Fantozzi (G.).- Relationship between internal friction and shear modulus for Fe-0.2 Ti alloy with oil layer.....	C9-493	Benoit (W.).- See Gremaud (G.).....	C9-581
		Benoit (W.).- See Diallo (C.).	C9-765
		Benoit (W.).- See Millet (P.).	C9-511

- | | | | |
|---|--------|--|--------|
| Benoit (W.).- See Schaller (R.)..... | C9-17 | Bouquet (G.).- See Zaaraoui (Z.)..... | C9-259 |
| Benoit (J.P.).- See Berger (J.)..... | C9-283 | Bouvier-Volaille (J.L.) et San Juan (J.).- Mesure du frottement intérieur d'un pendule de torsion par micro-ordinateur..... | C9-353 |
| Berger (J.), Thomas (F.), Zarembowitch (A.) et Benoit (J.P.).- Atténuation hypersonore et ultrasonore, relaxation du paramètre d'ordre au voisinage d'un changement de phase incommensurable..... | C9-283 | Briggs (G.A.D.).- See Weaver (J.M.R.)..... | C9-371 |
| Bernalte (A.).- See No (L.).. | C9-751 | Bujard (M.) and Gremaud (G.).- Model for the ultrasonic attenuation and velocity defect due to geometric and thermal kinks under the action of a slowly varying bias stress..... | C9-673 |
| Bernalte (A.).- See San Juan (J.)..... | C9-633 | Calemczuk (R.).- See Jacqmin (L.)..... | C9-383 |
| Bernalte (A.).- See San Juan (J.)..... | C9-685 | Calka (A.).- See Wencek (H.).. | C9-145 |
| Bessenay (G.).- See Masse (M.) | C9-347 | Cannelli (G.), Cantelli (R.) and Cordero (F.).- Anelastic relaxation due to hydrogen in solid solution in vanadium at low temperature | C9-403 |
| Bojarski (Z.), Ilczuk (J.), Panek (T.) and Morawiec (H.).- Internal friction measurements applied to the study of reverse martensite transformation in a Cu-Zn-Al alloy..... | C9-241 | Cantelli (R.).- See Cannelli (G.)..... | C9-403 |
| Bonetti (E.), Cavallini (A.), Evangelista (E.) and Gondi (P.).- Internal friction peaks connected with grain boundary sliding in Al..... | C9-759 | Capecchi (A.) and Capurro (M.).- Experimental evidence against Zener's theory : on the possibility of re-interpreting damping as a material property..... | C9-447 |
| Bonetti (E.), Gondi (P.) and Sili (A.).- Dislocation segment distribution effects on dynamic modulus and internal friction..... | C9-785 | Capurro (M.).- See Capecchi (A.)..... | C9-447 |
| Bonetti (E.), Evangelista (E.), Riontino (G.), Allia (P.) and Vinai (F.).- Structural relaxation and internal friction phenomena in the $\text{Fe}_{40}\text{Ni}_{38}\text{Mo}_4\text{B}_{18}$ amorphous alloy..... | C9-133 | Cavaille (J.Y.).- See Etienne (S.)..... | C9-157 |
| Bonjour (E.).- See Jacqmin (L.)..... | C9-383 | Cavaille (J.Y.), Etienne (S.) et Perez (J.).- Comparaison des comportements rhéologiques de matériaux vitreux vers et en-dessous de T_g ... | C9-151 |
| Bouquet (G.).- See Masse (M.). | C9-347 | Cavallini (A.).- See Bonetti (E.)..... | C9-759 |
| Bouquet (G.).- See Spagnol (G.)..... | C9-307 | Chatain (D.).- See Demont (P.) | C9-203 |
| | | Chatain (D.).- See Élsayed (T.)..... | C9-197 |

- Chicois (J.), Esnouf (C.), Fantozzi (G.), Vincent (A.) et Fougères (R.). Variations de l'énergie relative dissipée au cours de la fatigue d'un aluminium 5N.... C9-777
- Chicois (J.).- See Esnouf (C.) C9-665
- Chicois (J.).- See Omri (M.).. C9-791
- Chi-Mei Mô.- See Moser (P.)... C9-91
- Choi (W.J.).- See Parisot (J.) C9-177
- Chomka (W.).- See Augustyniak (B.)..... C9-499
- Chomka (W.) and Denga (E.).- The influence of hydrocarbon surface layer on the internal friction in metal samples..... C9-505
- Chomka (W.) and Pastor (J.).- The influence of phase transformation on the temperature spectrum of internal friction in N18K10M5T and H10N7K10M5 steels..... C9-211
- Cieslak (Ł.).- See Poloczek (T.)..... C9-121
- Ciurzynska (W.).- See Wencek (H.)..... C9-145
- Clauss (A.).- See Galis (M.F.) C9-331
- Cordero (F.).- See Cannelli (G.)..... C9-403
- Couderc (C.).- See Falanga (A.)..... C9-397
- Coveney (V.A.).- See Adams (R.D.)..... C9-291
- Degauque (J.).- See Astie (B.) C9-461
- Delaey (L.).- See Van Humbeeck (J.)..... C9-217
- Delobelle (P.), Varchon (D.) et Oytana (C.).- Etude de la migration à courte et longue distance des interstitiels lourds dans quelques métaux cubiques centrés (Ta-O-C-N, Nb-O-N et Fe-C-N)..... C9-391
- Demont (P.), Chatain (D.), Lacabanne (C.), Moura (J.L.) et Ronarc'h (D.).- Etude des propriétés anélastiques des copolymères séquencés de propylène - éthylène par fluage stimulé par la température..... C9-203
- Denga (E.).- See Chomka (W.).- C9-505
- Derradji (N.E.).- See Balanzat (E.)..... C9-85
- Diallo (C.), Schaller (R.) and Benoit (W.).- Effects of plastic deformation on the internal friction spectrum of Al-Mn alloys..... C9-765
- Disdier (F.).- See Minier (C.) C9-377
- Dubois (B.).- See Lebienvu (M.)..... C9-439
- Dubois (B.).- See Zaaraoui (Z.)..... C9-259
- Duperray (B.).- See Salvia (M.)..... C9-517
- Egri (L.).- See Harangozó (I.Z.)..... C9-303
- Elhout (J.).- See Elsayed (T.) C9-197
- Elsayed (T.), Elhout (J.), Stefenel (M.), Chatain (D.), Lacabanne (C.), François (B.) et Mathis (C.).- Etude par fluage stimulé par la température de l'évolution des propriétés anélastiques de films de polyacétyle en fonction de l'oxydation..... C9-197
- Esnouf (C.).- See Chicois (J.) C9-777
- Esnouf (C.), Chicois (J.), Hamel (A.), Fougères (R.) et Fantozzi (G.).- Effets non linéaires de la relaxation de Bordoni et évolution des contraintes internes..... C9-665
- Esnouf (C.).- See Fantozzi (G.)..... C9-557
- Esnouf (C.).- See Fantozzi (G.)..... C9-679

- | | | | |
|---|--------|--|--------|
| Esnouf (C.) and Fantozzi (G.).- Analysis and critique of the "peaking effect" models : II..... | C9-563 | Fantozzi (G.) et Esnouf (C.).- Influence des conditions de recristallisation sur le frottement intérieur du manganésium..... | C9-679 |
| Esnouf (C.).- See Gabbay (M.). | C9-569 | Fantozzi (G.).- See Esnouf (C.)..... | C9-563 |
| Esnouf (C.).- See Minier (C.). | C9-51 | Fantozzi (G.).- See Esnouf (C.)..... | C9-665 |
| Esnouf (C.).- See No (L.)..... | C9-751 | Fantozzi (G.).- See Gabbay (M.)..... | C9-569 |
| Esnouf (C.).- See San Juan (J.)..... | C9-633 | Fantozzi (G.).- See Kê (T.S.). | C9-601 |
| Esnouf (C.).- See San Juan (J.)..... | C9-685 | Fantozzi (G.).- See Minier (C.)..... | C9-51 |
| Estrin (Y.) and Lücke (K.).- Depinning of dislocations as reflected in anomalously sharp dislocation damping peaks..... | C9-627 | Fantozzi (G.).- See No (L.)... | C9-751 |
| Etienne (S.).- See Cavaille (J.Y.)..... | C9-151 | Fantozzi (G.).- See San Juan (J.)..... | C9-633 |
| Etienne (S.), Cavaille (J.Y.) et Perez (J.).- Fond continu de frottement interne en-dessous de T _g dans les verres chalcogénures à base Se..... | C9-157 | Fantozzi (G.).- See San Juan (J.)..... | C9-685 |
| Evangelista (E.).- See Bonetti (E.)..... | C9-133 | Feltham (P.).- Anomalies in the amplitude-dependent internal friction at low temperatures..... | C9-593 |
| Evangelista (E.).- See Bonetti (E.)..... | C9-759 | Feltham (P.).- See Spears (C.J.)..... | C9-597 |
| Falanga (A.), Couderc (C.) et Lozes (G.).- Frottement interne à fréquence variable pour l'étude de la relaxation de Snoek de l'oxygène dans le tantale..... | C9-397 | Fougères (R.).- See Chicois (J.)..... | C9-777 |
| Fantozzi (G.).- See Augustyniak (B.)..... | C9-493 | Fougères (R.).- See Esnouf (C.)..... | C9-665 |
| Fantozzi (G.).- See Augustyniak (B.)..... | C9-499 | Fougères (R.).- See Omri (M.). | C9-791 |
| Fantozzi (G.).- See Chicois (J.)..... | C9-777 | Fouquet (F.).- See Guyot (F.). | C9-139 |
| Fantozzi (G.) and Esnouf (C.).- Analysis and critique of the "peaking effect" models : I..... | C9-557 | Franco (R.).- See Mazzolai (F.M.)..... | C9-411 |
| | | François (B.).- See Elsayed (T.)..... | C9-197 |
| | | Frank (W.).- See Rettenmeier (F.)..... | C9-99 |
| | | Funk (G.), Maul (M.) and Schultz (H.).- The α peak in deformed niobium and tantalum and the problem of hydrogen impurities..... | C9-711 |

- Gabbay (M.), Esnouf (C.), Vincent (A.) et Fantozzi (G.).- Calcul numérique du frottement intérieur ΔH : application à MgO monocristallin..... C9-569
- Gaffet (E.).- See Masse (M.).. C9-347
- Galis (M.F.), Heulin (B.) et Clauss (A.).- Etude de la pénétration de l'hydrogène dans le titane par la technique du frottement intérieur à basse fréquence.... C9-331
- Gergely (L.).- See Harangozó (I.Z.)..... C9-735
- Gobin (P.F.).- See Kê (T.S.).. C9-601
- Gobran (N.K.).- See Kamel (R.)..... C9-105
- Gondi (P.).- See Bonetti (E.). C9-759
- Gondi (P.).- See Bonetti (E.). C9-785
- Gratzel (U.), Lücke (K.), Sokolowski (G.) and Wantzen (B.).- On the properties of oxidized and reduced copper samples used for electron irradiation experiments in the kHz-range..... C9-533
- Grau (R.) and Schultz (H.).- The amplitude dependent dislocation damping in high purity molybdenum crystals. C9-705
- Gremaud (G.).- Complex interaction mechanisms between dislocations and point defects involving simultaneously depinning-repinning and dragging processes..... C9-607
- Gremaud (G.).- See Bujard (M.) C9-673
- Gremaud (G.), Li Ping Ho and Benoit (W.).- Interaction mechanisms between dislocations, immobile point defects and mobile point defects in pure aluminium near the room temperature range..... C9-581
- Guan de Lin, Woïrgard (J.) et Amirault (J.P.).- Application des méthodes de mesure isotherme du frottement intérieur à l'étude de la microplasticité de l'aluminium..... C9-771
- Guenin (G.).- See Morin (M.).. C9-247
- Guyot (F.), Fouquet (F.) et Perez (J.).- Etude de l'évolution structurale d'un verre métallique $\text{Fe}_{83}\text{B}_{14}\text{Si}_{1,5}\text{C}_{1,5}$ en relation avec l'effet magnétoélastique et l'amortissement magnéto-mécanique..... C9-139
- Haasen (P.).- See Tonn (G.)... C9-587
- Halbwachs (M.).- See Mazot (P.)..... C9-271
- Halbwachs (M.).- See Mazot (P.)..... C9-433
- Halbwachs (M.).- See Woïrgard (J.)..... C9-425
- Hamel (A.).- See Esnouf (C.).. C9-665
- Haneczok (G.), Kuška (R.), Kwiatkowski (R.) and Moróň (J.W.).- Internal friction investigations of electrolytically deposited thin layers..... C9-487
- Haneczok (G.), Lauzier (J.) et Minier (C.).- Analyse de la variation des pics de Bordoni avec la longueur libre des segments de dislocations dans le magnésium de haute pureté..... C9-697
- Haneczok (G.).- See Lauzier (J.)..... C9-539
- Haneczok (G.).- See Poloczek (T.)..... C9-115
- Hanna (B.F.).- See Kamel (R.). C9-105
- Harangozó (I.Z.), Arató (P.), Kedves (F.J.), Gergely (L.) and Kiss (S.).- Connection between the micro-structure and the internal friction of cold rolled iron..... C9-735

- | | | | |
|---|--------|--|--------|
| Harangozó (I.Z.), Egri (L.),
Kedves (F.J.) and Kiss (S.)
.- Internal friction of
high damping capacity man-
ganese alloys..... | C9-303 | Kedves (F.J.).- See Harangozó
(I.Z.)..... | C9-303 |
| Harangozó (I.Z.).- See Kiss
(S.)..... | C9-127 | Kedves (F.J.).- See Harangozó
(I.Z.)..... | C9-735 |
| Harangozó (I.Z.).- See Kiss
(S.)..... | C9-279 | Kedves (F.J.).- See Kiss (S.). | C9-127 |
| Hassan (R.A.R.) and Niblett
(D.H.).- A study of the de-
formation dependence of the
Bordoni peak in polycrys-
talline 6N aluminium..... | C9-659 | Kedves (F.J.).- See Kiss (S.). | C9-279 |
| Hausch (G.), Schmolz (A.),
Török (E.) and Warlimont
(H.).- Internal friction
and elastic constant anoma-
lies of antiferromagnetic
Mn-Ni alloys..... | C9-471 | Kiss (S.).- See Harangozó
(I.Z.)..... | C9-303 |
| Hausch (G.).- See Török (E.).. | C9-477 | Kiss (S.).- See Harangozó
(I.Z.)..... | C9-735 |
| Heulin (B.).- See Galis (M.F.) | C9-331 | Kiss (S.), Kedves (F.J.) and
Harangozó (I.Z.).- Precipi-
tation and its influence on
the recrystallisation in
dilute <u>Al</u> Mn and <u>Al</u> Cr alloys | C9-279 |
| Hillairet (J.).- See Balanzat
(E.)..... | C9-85 | Kiss (S.), Posgay (G.), Kopasz
(Cs.), Kedves (F.J.) and
Harangozó (I.Z.).- Anelas-
tic behaviour of some six
component metallic glasses. | C9-127 |
| Hsu (D.K.).- See Leisure
(R.G.)..... | C9-419 | Kopasz (Cs.).- See Kiss (S.).. | C9-127 |
| Ilczuk (J.).- See Bojarski
(Z.)..... | C9-241 | Kronmüller (H.).- See
Rettenmeier (F.)..... | C9-99 |
| Jacqmin (L.), Calemczuk (R.),
Bonjour (E.) et Locatelli
(M.).- Mesure de frottement
interne basse fréquence à
très basse température
(50mK)..... | C9-383 | Kulik (A.).- See Baur (J.).... | C9-357 |
| Kamel (R.), Gobran (N.K.),
Saleh (S.) and Hanna (B.F.)
.- Deviation of structural
relaxation from the pure
Debye character in
Fe ₄₀ Ni ₄₀ B ₂₀ metallic
glass..... | C9-105 | Kuška (R.).- See Haneczok (G.) | C9-487 |
| Kanashiro (T.).- See Leisure
(R.G.)..... | C9-419 | Kwiatkowski (R.).- See
Haneczok (G.)..... | C9-487 |
| Kê (T.S.), Zhang (J.X.), Gobin
(P.F.) and Fantozzi (G.).-
On the mechanism of the low
temperature internal fric-
tion peaks in cold-worked
Al - 0.5 wt% Cu and Al -
4 wt% Cu alloys..... | C9-601 | Lacabanne (C.).- See Demont
(P.)..... | C9-203 |
| | | Lacabanne (C.).- See Elsayed
(T.)..... | C9-197 |
| | | Lagnier (R.).- See Minier (C.) | C9-377 |
| | | Lauzier (J.), Haneczok (G.) et
Minier (C.).- Phénomènes
anélastiques dus aux dé-
fauts créés par bombarde-
ment électronique et à
leurs interactions avec les
dislocations dans le magné-
sium..... | C9-539 |
| | | Lauzier (J.).- See Haneczok
(G.)..... | C9-697 |
| | | Lauzier (J.).- See Minier (C.) | C9-51 |

- Lauzier (J.).- See Minier (C.) C9-377
- Lebienvenu (M.) et Dubois (B.)
.- Phénomènes anélastiques
liés à la présence d'azote
dans les aciers inoxydables
à 18% de chrome et 10% de
nickel..... C9-439
- Leisure (R.G.), Kanashiro
(T.), Riedi (P.C.) and Hsu
(D.K.).- Ultrasonic atten-
uation due to Zener rela-
xation in single-crystal
palladium hydride..... C9-419
- Lenz (D.) and Schmidt (H.).-
Anomalous modulus defect
due to dislocation pinning. C9-717
- Lenz (D.).- See Schmidt (H.).. C9-325
- Lenz (D.).- See Tatsumi (K.).. C9-723
- Lin (D.X.).- See Adams (R.D.). C9-363
- Lin (D.X.).- See Adams (R.D.). C9-525
- Li Ping Ho.- See Gremaud (G.). C9-581
- Liu Shenyen, Zhou Xiaoping and
Zhou Rusong.- Internal
friction of NiTi alloy du-
ring incomplete thermal cy-
cling..... C9-223
- Locatelli (M.).- See Jacqmin
(L.)..... C9-383
- Lozes (G.).- See Falanga (A.). C9-397
- Lücke (K.).- See Estrin (Y.).. C9-627
- Lücke (K.).- See Gratzel (U.). C9-533
- Lücke (K.).- See Tatsumi (K.). C9-723
- Lücke (K.).- See Tröger (E.).. C9-545
- Lücke (K.).- See Wantzen (B.). C9-551
- Lunarska (E.).- See Zielinski
(A.)..... C9-481
- Maeder (D.), Ryser (P.),
Sanderson (B.), Sillou (A.)
et Steiner (A.).- Emissions
acoustiques lors de trans-
formations martensitiques
partielles dans le CuZnAl.. C9-253
- Magalas (L.B.), Moser (P.) and
Ritchie (I.G.).- The dislo-
cation-enhanced Snoek peak
in Fe-C alloys..... C9-645
- Masse (M.), Bessenay (G.),
Sigli (C.), Gaffet (E.) et
Bouquet (G.).- Automatisa-
tion d'un pendule de tor-
sion inverse par micro-
ordinateur..... C9-347
- Mathis (C.).- See Elsayed (T.) C9-197
- Maul (M.).- See Funk (G.)..... C9-711
- Mazot (P.), Halbwachs (M.) et
Woïrgard (J.).- Mobilité
lacunaire dans une cérami-
que $ZrO_2 - 17,5\% CaO$ C9-433
- Mazot (P.), Saissi (I.),
Halbwachs (M.) et Woïrgard
(J.).- Etude des effets de
frottement intérieur liés à
l'apparition d'un ordre di-
rectionnel auto-induit dans
un alliage Au 30% Ni..... C9-271
- Mazot (Ph.).- See Woïrgard
(J.)..... C9-425
- Mazzolai (F.M.), Paparo (G.)
and Franco (R.).- Changes
of the Young's modulus in-
duced by hydrogen or deu-
terium in the palladium-
silver alloys..... C9-411
- Millet (P.), Schaller (R.) and
Benoit (W.).- Study of the
internal friction spectrum
of grey cast iron..... C9-511
- Minier (C.).- See Haneczok
(G.)..... C9-697
- Minier (C.).- See Lauzier (J.) C9-539
- Minier (C.), Lauzier (J.),
Esnouf (C.) et Fantozzi
(G.).- Le "peaking effect". C9-51
- Minier (C.), Lauzier (J.),
Disdier (F.) et Lagnier
(R.).- Frottement intérieur
du magnésium à partir de
0,7 K ; effet d'un bombar-
dement électronique..... C9-377

- Miyada-Naborikawa (L.T.) and de Batist (R.).- Effect of plastic deformation at 8 K on the damping spectrum of zirconium..... C9-651
- Möller (H.J.).- See Tonn (G.). C9-587
- Morawiec (H.).- See Bojarski (Z.)..... C9-241
- Morin (M.) et Guenin (G.).- Etude du frottement intérieur d'un alliage à transformation martensitique thermoélastique dans le Cu-Zn-Al..... C9-247
- Moroñ (J.W.).- See Haneczok (G.)..... C9-487
- Moroñ (J.W.).- See Poloczek (T.)..... C9-115
- Moroñ (J.W.).- See Poloczek (T.)..... C9-121
- Moroñ (J.W.).- See Wencek (H.). C9-145
- Moser (P.).- See Magalas (L.B.)..... C9-645
- Moser (P.), Chi-Mei Mô and Moumene (M.).- Hydrogen in $\text{Fe}_{80}\text{B}_{20}$ and $\text{Fe}_{40}\text{Ni}_{40}\text{P}_{14}\text{B}_6$ amorphous alloys..... C9-91
- Moser (N.).- See Rettenmeier (F.)..... C9-99
- Moumene (M.).- See Moser (P.). C9-91
- Moura (J.L.).- See Demont (P.). C9-203
- Ni (R.G.).- See Adams (R.D.).. C9-525
- Niblett (D.H.).- See Hassan (R.A.R.)..... C9-659
- No (L.), San Juan (J.), Esnouf (C.), Fantozzi (G.) et Bernalte (A.).- Frottement intérieur et microdéformation à températures moyennes dans l'aluminium de haute pureté..... C9-751
- Ogurtani (T.Ö.) and Seeger (A.).- The theory of strain amplitude dependent dislocation damping in the presence of uniform point defect dragging..... C9-619
- Ogurtani (T.Ö.) and Seeger (A.).- Internal friction and viscosity associated with mobile interstitials in the presence of a kink harmonically or uniformly moving in anisotropic body-centered cubic metals..... C9-639
- Ogurtani (T.Ö.).- See Uygur (E.M.)..... C9-319
- Omri (M.), Chicois (J.), Fougères (R.) et Vincent (A.).- Variations de l'atténuation ultrasonore sous contrainte quasi statique faible dans un aluminium 5N fatigué..... C9-791
- Omri (M.) et Vincent (A.).- Relation entre l'irréversibilité des cycles atténuation-contrainte quasi-statique et le frottement intérieur basse fréquence associé au désancrage des dislocations..... C9-575
- Othmezzouri-Decerf (J.).- Internal friction peaks of Al-Mg alloys..... C9-265
- Oytana (C.).- See Delobelle (P.)..... C9-391
- Panek (T.).- See Bojarski (Z.). C9-241
- Paparo (G.).- See Mazzolai (F.M.)..... C9-411
- Parisot (J.), Rafi (O.) and Choi (W.J.).- Internal friction as measurement of mobile defects density during deformation of glassy polycarbonate..... C9-177
- Pastor (J.).- See Chomka (W.). C9-211
- Perez (J.).- Frottement intérieur et autres fonctions rhéologiques des verres dans le domaine de transition vitreuse..... C9-3
- Perez (J.).- See Cavaille (J.Y.)..... C9-151
- Perez (J.).- See Etienne (S.). C9-157
- Perez (J.).- See Guyot (F.)... C9-139

- Perez (J.).- See Tatibouet
(J.)..... C9-799
- Perez (J.).- See Vassoille
(R.)..... C9-341
- Perring (S.).- See Smith
(R.L.)..... C9-337
- Phalippou (J.), Woignier (T.)
et Zarzycki (J.).- Frotte-
ment interne des verres de
borophosphates alcalins.... C9-165
- Plusquellec (J.).- See Prioul
(C.)..... C9-229
- Poloczek (T.), Cieslak (Ł.)
and Moron (J.W.).- Internal
friction in a nickel base
metallic glass..... C9-121
- Poloczek (T.), Haneczok (G.)
and Moron (J.W.).- Internal
friction studies on struc-
tural relaxation and crys-
tallization in $\text{Co}_{75}\text{Si}_{10}\text{B}_{15}$
metallic glass..... C9-115
- Posgay (G.).- See Kiss (S.)... C9-127
- Prioul (C.), de A. Rodrigues
(C.A.V.) et Plusquellec (J.)
.- Corrélation entre le
frottement intérieur et le
coefficient de dilatation
lors des transformations
martensitiques isothermes.. C9-229
- Rafi (O.).- See Parisot (J.).. C9-177
- Rettenmeier (F.), Moser (N.),
Frank (W.) and Kronmüller
(H.).- Investigation of in-
trinsic defects in amor-
phous $\text{Fe}_{80-x}\text{Ni}_x\text{B}_{20}$ al-
loys by means of the magne-
tic after-effect..... C9-99
- Reynolds (W.N.).- See Smith
(R.L.)..... C9-337
- Riedi (P.C.).- See Leisure
(R.G.)..... C9-419
- Riontino (G.).- See Bonetti
(E.)..... C9-133
- Ritchie (I.G.).- See Magalas
(L.B.)..... C9-645
- Ritchie (I.G.) and Sprungmann
(K.W.).- Oscillatory inter-
nal friction associated
with dislocation core rear-
rangement of impurity in-
terstitials in zirconium... C9-613
- Ritchie (I.G.) and Sprungmann
(K.W.).- Hydride precipita-
tion in zirconium studied
by low-frequency pendulum
techniques..... C9-313
- Rivière (A.), Belhas (S.) et
Woignard (J.).- Frottement
intérieur de haute tempéra-
ture d'un monocristal d'al-
liage de cuivre-aluminium.. C9-747
- Rivière (A.) et Woignard (J.)
.- Etude du frottement in-
térieur de haute tempéra-
ture du palladium polycris-
tallin ultra-pur..... C9-741
- de A. Rodrigues (C.A.V.).- See
Prioul (C.)..... C9-229
- Ronarc'h (D.).- See Demont
(P.)..... C9-203
- Ryser (P.).- See Maeder (D.).. C9-253
- Saissi (I.).- See Mazot (P.).. C9-271
- Saleh (S.).- See Kamel (R.)... C9-105
- Salvia (M.) et Duperray (B.).-
Détermination des proprié-
tés dynamiques d'un maté-
riau composite granulaire à
matrice organique..... C9-517
- Samatowicz (D.) and Bednarczyk
(D.).- Internal friction in
vanadium-phosphate glasses. C9-171
- Sanderson (B.).- See Maeder
(D.)..... C9-253
- San Juan (J.).- See Bouvier-
Volaille (J.L.)..... C9-353
- San Juan (J.), Fantozzi (G.),
Esnouf (C.), Vanoni (F.) et
Bernalte (A.).- Frottement
intérieur à basse tempéra-
ture dans le fer de haute
pureté..... C9-685

- San Juan (J.), Fantozzi (G.), Esnouf (C.), Vanoni (F.) et Bernalte (A.).- Frottement intérieur et microdéformation dans le fer chargé en hydrogène..... C9-633
- San Juan (J.).- See No (L.)... C9-751
- Schaller (R.) and Benoit (W.).- Internal friction associated with precipitation and recrystallization..... C9-17
- Schaller (R.).- See Diallo (C.)..... C9-765
- Schaller (R.).- See Millet (P.)..... C9-511
- Schmidt (H.), Lenz (D.) and Uelhoff (W.).- Evaluation of microporosity by MHz-attenuation measurements... C9-325
- Schmidt (H.).- See Lenz (D.).. C9-717
- Schmidt (H.).- See Tatsumi (K.)..... C9-723
- Schmolz (A.).- See Hausch (G.) C9-471
- Schultz (H.).- See Funk (G.).. C9-711
- Schultz (H.).- See Grau (R.).. C9-705
- Schultz (H.).- See Ziebart (U.)..... C9-691
- Seeger (A.).- See Ogurtani (T.O.)..... C9-619
- Seeger (A.).- See Ogurtani (T.O.)..... C9-639
- Shen Hui-min.- See Zhu Jin-song..... C9-235
- Shui Jiapeng.- See Xia Wurong. C9-111
- Sigli (C.).- See Masse (M.)... C9-347
- Sili (A.).- See Bonetti (E.).. C9-785
- Sillou (A.).- See Maeder (D.). C9-253
- Smith (R.L.), Reynolds (W.N.) and Perring (S.).- The analysis of ultrasonic wave attenuation spectra in steels..... C9-337
- Sokolowski (G.).- See Gratzel (U.)..... C9-553
- Sokolowski (G.).- See Tröger (E.)..... C9-545
- Sokolowski (G.).- See Wantzen (B.)..... C9-551
- Somekh (M.G.).- See Weaver (J.M.R.)..... C9-371
- Spagnol (G.) et Bouquet (G.).- Intérêt des mesures de frottement intérieur dans l'étude des structures fortement déformées..... C9-307
- Spears (C.J.) and Feltham (P.).- Internal friction in concentrated α - brasses at kHz-frequencies..... C9-597
- Sprungmann (K.W.).- See Ritchie (I.G.)..... C9-313
- Sprungmann (K.W.).- See Ritchie (I.G.)..... C9-613
- Starzynski (G.).- See Zielinski (A.)..... C9-481
- Stefenel (M.).- See Elsayed (T.)..... C9-197
- Steiner (A.).- See Maeder (D.) C9-253
- Szymura (S.).- See Wencek (H.) C9-145
- Tatibouet (J.), Perez (J.) and Vassoille (R.).- Microplasticity of ice I_h studied by very low frequency internal friction measurements..... C9-799
- Tatibouet (J.).- See Vassoille (R.)..... C9-341
- Tatsumi (K.), Schmidt (H.), Lenz (D.) and Lücke (K.).- Defect annealing in dilute Cu-alloys after irradiation and deformation..... C9-723
- Thomas (F.).- See Berger (J.). C9-283
- Tonn (G.), Haasen (P.) and Möller (H.J.).- Internal friction in deformed CuAl solid solutions..... C9-587

- Török (E.).- See Hausch (G.).. C9-471
- Török (E.), Weller (M.) and Hausch (G.).- Young's modulus of Fe-Mn..... C9-477
- Tröger (E.), Sokolowski (G.) and Lücke (K.).- Internal friction behaviour of cold-worked copper in the Hz-range during steplike heating..... C9-545
- Uelhoff (W.).- See Schmidt (H.)..... C9-325
- Uygur (E.M.) and Ogurtani (T.O.).- Internal friction studies in AISI C 1010 steel..... C9-319
- Van Humbeeck (J.) and Delaey (L.).- The internal friction behaviour of martensitic Cu-Zn-Al alloys..... C9-217
- Vanoni (F.).- See San Juan (J.)..... C9-633
- Vanoni (F.).- See San Juan (J.)..... C9-685
- Varchon (D.).- See Delobelle (P.)..... C9-391
- Vassoille (R.), Alberola (N.), Perez (J.) et Tatibouet (J.).- Application des mesures de frottement intérieur à l'étude de la stabilité de la phase vitreuse des mélanges eau-cryoprotecteurs..... C9-341
- Vassoille (R.).- See Tatibouet (J.)..... C9-799
- Vinai (F.).- See Bonetti (E.). C9-133
- Vincent (A.).- Adaptation du modèle de la corde vibrante aux dislocations faiblement ancrées par les défauts ponctuels..... C9-729
- Vincent (A.).- See Chicois (J.)..... C9-777
- Vincent (A.).- See Gabbay (M.) C9-569
- Vincent (A.).- See Omri (M.).. C9-575
- Vincent (A.).- See Omri (M.).. C9-791
- Wang Ye-ning.- See Zhu Jin-song..... C9-235
- Wang Zixiao.- See Xia Wurong.. C9-111
- Wantzen (B.).- See Gratzel (U.)..... C9-533
- Wantzen (B.), Sokolowski (G.) and Lücke (K.).- Dislocation pinning effects in oxidized and reduced copper after electron irradiation at 4.2 K..... C9-551
- Warlimont (H.).- See Hausch (G.)..... C9-471
- Weaver (J.M.R.), Briggs (G.A.D.) and Somekh (M.G.).- Acoustic microscopy of ultrasonic attenuation..... C9-371
- Weller (M.).- The Snoek-Köster relaxation in body-centred cubic metals..... C9-63
- Weller (M.).- See Török (E.).. C9-477
- Weller (M.) and Wert (C.A.).- Internal friction of coal and of other natural macromolecular solids..... C9-191
- Wencek (H.), Ciurzyńska (W.), Moron (J.W.), Wysocki (B.), Szymura (S.) and Calka (A.).- Magnetic after-effect in $\text{Co}_{95-x}\text{Si}_5\text{B}_x$ metallic glasses..... C9-145
- Wert (C.A.).- See Weller (M.). C9-191
- Woirgard (J.).- See Phalippou (J.)..... C9-165
- Woirgard (J.), Mazot (Ph.) et Halbwachs (M.).- Etude d'un pic de relaxation de haute température dans des échantillons monocristallins et polycristallins de spinelle $(\text{Al}_2\text{O}_3)_n \text{MgO}$ C9-425
- Woirgard (J.).- See Guan de Lin..... C9-771
- Woirgard (J.).- See Mazot (P.) C9-271

Woïrgard (J.).- See Mazot (P.)	C9-433	Zhang (J.X.).- See Kê (T.S.)..	C9-601
Woïrgard (J.).- See Rivière (A.).....	C9-741	Zhou Rusong.- See Liu Shenyen.	C9-223
Woïrgard (J.).- See Rivière (A.).....	C9-747	Zhou Rusong.- See Xia Wurong..	C9-111
Wysocki (B.).- See Wencek (H.).....	C9-145	Zhou Xiaoping.- See Liu Shenyen.....	C9-223
Xia Wurong, Wang Zixiao, Zhou Rusong and Shui Jiapeng.- Internal friction and elas- tic modulus of an amorphous Fe-Ni-Si-B alloy.....	C9-111	Zhu Jin-song, Wang Ye-ning and Shen Hui-min.- Ultrasonic study on martensitic trans- formation in AuCd alloy....	C9-235
Zaaraoui (Z.), Bouquet (G.) et Dubois (B.).- Frottement interne en température des alliages manganèse-cuivre trempés.....	C9-259	Ziebart (U.) and Schultz (H.) .- Dislocation relaxation peaks in high purity tung- stene single crystals.....	C9-691
Zarembowitch (A.).- See Berger (J.).....	C9-283	Zielinski (A.), Lunarska (E.) and Starzynski (G.).- In situ surface elastic wave study of the metal - elec- trolyte interface.....	C9-481
Zarzycki (J.).- See Phalippou (J.).....	C9-165		

Ellipsométrie et autres Méthodes Optiques pour l'Analyse des Surfaces et Films Minces

Paris (France), 1983

Abraham (M.), Mahmoudi (A.), Tadjeddine (A.) and Rolland (J.P.).- Determination of the dielectric constant of CdS by ellipsometry, inter- ferometry and by optical excitation of surface plas- mons.....	C10-119	Azumi (K.).- Voir Ohtsuka (T.)	C10-191
Agranovich (V.M.), Kravtsov (V.E.) and Leskova (T.A.).- Spectroscopy of surface po- lariton diffraction.....	C10-403	Azzam (R.M.A.).- Ellipsometry of unsupported and embedded thin films.....	C10-67
Ahlqvist (P.), de Andrés (P.), Monreal (R.) and Flores (F.).- Quantum-size effects on the optical properties of small particles.....	C10-375	Azzam (R.M.A.).- Theory, im- plementation and applica- tions of ellipsometry.....	C10-71
Alibert (C.), Gaillard (S.), Erman (M.) and Frijlink (P.M.).- Electoreflectance and spectroscopic ellipso- metry studies of GaAs/GaAlAs heterojunctions	C10-229	Bangert (H.).- Voir Reda (I.M.).....	C10-95
Alvarez (M.S.).- Voir Garoff (S.).....	C10-345	Beaglehole (D.).- Ellipsometry of liquid surfaces.....	C10-147
Apell (P.).- Voir Burstein (E.).....	C10-429	Bedeaux (D.) and Vlieger (J.).- A statistical theory for the dielectric properties of thin island films, ap- plication and comparison with experimental results..	C10-379
Apell (P.).- Voir Lundqvist (S.).....	C10-305	Bermudez (V.M.).- Voir Palik (E.D.).....	C10-179
Askendal (A.).- Voir Elwing (H.).....	C10-499	Bernard (J.).- Voir Orrit (M.)	C10-479
Aslanian (D.).- Voir Toth (K.)	C10-521	Billmann (J.) and Otto (A.).- The role of charge transfer excitations between silver and pyridine or cyanide in surface Raman enhancement..	C10-331
Aspnes (D.E.).- Optical cha- racterization by ellipsome- try-A prospective.....	C10-3	Blakely (J.M.).- Voir Christensen (T.M.).....	C10-465
Aspnes (D.E.).- Voir Kelso (S.M.).....	C10-45	Bobrov (A.V.), Gass (A.N.), Kapusta (O.I.) and Omel'yanovskaya (N.M.).- Surface enhanced Raman scattering of ethylene ab- sorbed on vapor deposited silver in UHV. Effects of the silver film thickness and coverage.....	C10-327
Avouris (Ph.), Demuth (J.E.) and DiNardo (N.J.).- The nature of the excited sta- tes of adsorbates and their decay mechanisms.....	C10-451	Boccuzzi (F.) and Ghiotti (G.) .- IR study of CO chemisor- bed on metallic Cu disper- sed in ZnO.....	C10-455

- Borensztein (Y.), Lopez-Rios (T.) and Vuye (G.).- Comparative study of the optical properties of silver clusters and silver continuous overlayers on aluminium substrate by differential reflectometry..... C10-475
- Borensztein (Y.).- Voir López-Ríos (T.)..... C10-353
- Bouizem (Y.), Chao (F.), Costa (M.) and Tadjeddine (A.).- Ellipsometric study of acrylonitrile electropolymerisation on nickel..... C10-509
- Brinda-Konopik (N.).- Voir Neugebauer (H.)..... C10-517
- Brotman (A.).- Voir Burstein (E.)..... C10-429
- Brown (J.K.).- Voir Champion (A.)..... C10-341
- Burstein (E.), Brotman (A.) and Apell (P.).- The valence electron excitations and the optical properties of adsorbed atoms and molecules on metal surfaces..... C10-429
- Champion (A.), Grizzle (V.M.), Mullins (D.R.) and Brown (J.K.).- Raman spectroscopy of molecules adsorbed on single crystal metal surfaces without enhancement.... C10-341
- Candela (G.A.).- Voir Chandler-Horowitz (D.)..... C10-23
- Celotti (G.), Rosa (R.), Summonte (C.) and Martinelli (G.).- A new ellipsometric programme applied to the characterization of transparent conducting titanium nitride films C10-273
- Chabrier (G.), Moustaide (A.), Niquet (G.) and Vernier (P.).- Electreflectance of thin film Al-ZnS-Al sandwiches..... C10-235
- Chambon (P.).- Voir Erman (M.) C10-261
- Chandler-Horowitz (D.) and Candela (G.A.).- On the accuracy of ellipsometric thickness determinations for very thin films..... C10-23
- Chang (R.K.).- Surface enhanced Raman scattering : an overview of experiments.... C10-283
- Chao (F.).- Voir Bouizem (Y.). C10-509
- Charmet (J.C.) and de Gennes (P.G.).- Ellipsometric formulas for an index profile of small amplitude but arbitrary shape..... C10-27
- Chenevas-Paule (A.).- Voir Olivier (M.)..... C10-123
- Christensen (T.M.) and Blakely (J.M.).- Oxidation studies of the Be(0001) surface.... C10-465
- Chung (J.C.).- Voir Garoff (S.)..... C10-345
- Cochet (F.).- Voir Gruson (J.-P.)..... C10-131
- Corsel (J.W.).- Voir Cuypers (P.A.)..... C10-495
- Corsel (J.W.).- Voir Kop (J.M.M.)..... C10-491
- Corset (J.).- Voir Dumas (P.). C10-205
- Costa (M.).- Voir Bouizem (Y.) C10-509
- Cuypers (P.A.), Corsel (J.W.), Kop (J.M.M.), Janssen (M.P.) and Hermens (W.Th.).- Ellipsometric measurement of the specific volume of phospholipids and proteins at solid-water interfaces..... C10-495
- Cuypers (P.A.).- Voir Kop (J.M.M.)..... C10-491
- Damaskinos (S.), Girouard (F.E.), Pinard (A.) and Truong (V.V.).- Structures and optical behavior of overcoated granular films.. C10-387
- De Andrés (P.).- Voir Ahlqvist (P.)..... C10-375

- | | | | |
|---|---------|---|---------|
| Debroux (M.H.).- Voir Ged
(Ph.)..... | C10-267 | Erman (M.).- Voir Alibert (C.) | C10-229 |
| De Gennes (P.G.).- Voir
Charmet (J.C.)..... | C10-27 | Farias (G.A.) and Maradudin
(A.A.).- Surface plasmons
on a randomly rough surfa-
ces..... | C10-357 |
| Demay (Y.), Maurel (P.) and
Gourrier (S.).- Interac-
tions of Si (III) surface
with H ₂ , NH ₃ , SiH ₄ multipo-
lar plasmas studied by in
situ ellipsometry..... | C10-253 | Farmer (J.C.).- Voir Muller
(R.H.)..... | C10-57 |
| Demuth (J.E.).- Voir Avouris
(Ph.)..... | C10-451 | Flores (F.).- Voir Ahlqvist
(P.)..... | C10-375 |
| DiNardo (N.J.).- Voir Avouris
(Ph.)..... | C10-451 | Forstmann (F.).- Voir Kempa
(K.)..... | C10-393 |
| Dinges (H.W.).- Determination
of the optical properties
of GaAs and InP by multiple
angle of incidence ellipso-
try..... | C10-39 | Forstmann (F.), Kempa (K.),
Piazza (G.) and Kolb
(D.M.).- Bulk plasmon reso-
nances in electoreflectan-
ce spectra of thin silver
layers..... | C10-395 |
| Donnadieu (A.).- Voir Yous
(B.)..... | C10-91 | Frijlink (P.M.).- Voir Alibert
(C.)..... | C10-229 |
| Drevillon (B.).- Voir Perrin
(J.)..... | C10-247 | Froelicher (M.), Hugot-Le Goff
(A.), Jovancicevic (V.),
Dupeyrat (R.) and Masson
(M.).- Study of surfaces
covered by thin films, by
SPEC and Raman spectroscopy..... | C10-187 |
| Dubarry-Barbe (J.P.).- Voir
Dumas (P.)..... | C10-205 | Gagnaire (A.) et Joseph (J.).-
Ellipsomètre à épaisseur
variable de film. Applica-
tion TiO ₂ /Ti..... | C10-195 |
| Dumas (P.), Dubarry-Barbe
(J.P.), Rivière (D.), Levy
(Y.) and Corset (J.).-
Growth of thin alumina film
on aluminium at room tempe-
rature : a kinetic and
spectroscopic study by sur-
face plasmon excitation.... | C10-205 | Gagnaire (A.).- Voir Joseph
(J.)..... | C10-183 |
| Dupeyrat (R.).- Voir
Froelicher (M.)..... | C10-187 | Gaillard (S.).- Voir Alibert
(C.)..... | C10-229 |
| Elwing (H.), Palmqvist (A.)
and Askendal (A.).- Ellip-
sometric quantification of
antigen-antibody precipita-
tes adsorbed on antigen-
coated silicon surfaces. A
new principle for immuno-
chemical analysis..... | C10-499 | Garnier (F.).- Voir Neugebauer
(H.)..... | C10-517 |
| Erman (M.), Chambon (P.),
Prévot (B.) and Schwab (C.)
.- Spectroscopic ellipsome-
try and Raman scattering
analysis of Be shallow im-
plantation in GaAs..... | C10-261 | Garoff (S.) and Sandroff
(C.J.).- Surface-enhanced
Raman studies of the li-
quid/solid interface..... | C10-483 |
| | | Garoff (S.), Weitz (D.A.),
Alvarez (M.S.) and Chung
(J.C.).- Electromagnetical-
ly induced changes in in-
tensities, spectra, and
temporal behavior of light
scattering from molecules
on silver-island films..... | C10-345 |

Garuthara (R.).- Voir Tomkiewicz (M.).....	C10-167	Hermens (W.Th.).- Voir Kop (J.M.M.).....	C10-491
Gass (A.N.).- Voir Bobrov (A.V.).....	C10-327	Hincelin (G.).- Accuracy in the determination of thin films optical constants by the ATR method.....	C10-109
Ged (Ph.) and Debroux (M.H.).- Evidence of structural mo- dification of implanted si- licon during furnace anneal- ing.....	C10-267	Hinnen (C.).- Voir Nguyen Van Huong (C.).....	C10-513
Ged (Ph.).- Voir Vareille (A.)	C10-257	Hoshino (T.), Moritani (A.) and Nakai (J.).- Ellipsome- tric study of nucleation and growth in the anodic film formation on Bi_2Te_3 ...	C10-217
Ghiotti (G.).- Voir Boccuzzi (F.).....	C10-455	Hugot-Le Goff (A.).- Voir Froelicher (M.).....	C10-187
Girouard (F.E.).- Voir Damaskinos (S.).....	C10-387	Hummel (R.E.).- Differential reflectometry.....	C10-105
Goirand (P.-J.).- Voir Gruson (J.-P.).....	C10-131	Hunt (R.).- Voir Roberts-Sengier (E.F.I.)...	C10-199
Gordon II (J.G.).- ATR studies of water on emersed elec- trodes.....	C10-171	Ichiji (K.).- Voir Yamamoto (M.).....	C10-383
Gourrier (S.).- Voir Demay (Y.).....	C10-253	Jakubowska (G.M.).- Electromi- gration in d.c. electrolu- minescent thin films of ZnS	C10-277
Greef (R.) and Pearson (P.J.) .- Ellipsometry in absor- bing solutions.....	C10-505	Janssen (M.P.).- Voir Cuypers (P.A.).....	C10-495
Grizzle (V.M.).- Voir Champion (A.).....	C10-341	Janssen (M.P.).- Voir Kop (J.M.M.).....	C10-491
Gruson (J.-P.), Goirand (P.-J.), Cochet (F.) and Parriaux (O.).- Characteri- zation of dielectric films on semiconductor substrates by leaky-modes measurement.	C10-131	Joseph (J.) et Gagnaire (A.) .- Etude "in situ" de la croissance d'oxyde anodique par ellipsométrie.....	C10-183
Hamano (O.).- Voir Sasaki (K.).....	C10-127	Joseph (J.).- Voir Gagnaire (A.).....	C10-195
Hamilton (M.A.).- Voir Roberts-Sengier (E.F.I.)...	C10-199	Jovancicevic (V.).- Voir Froelicher (M.).....	C10-187
Hanekamp (L.J.) and van Silfhout (A.).- The beha- viour of oxygen on Ni(110) investigated by ellipsome- try and AES.....	C10-469	Kankare (J.J.).- Voir Pihlajamäki (S.V.).....	C10-53
Hayden (B.E.).- Voir Kempa (K.).....	C10-393	Kapusta (O.I.).- Voir Bobrov (A.V.).....	C10-327
Hermens (W.Th.).- Voir Cuypers (P.A.).....	C10-495	Kelso (S.M.) and Aspnes (D.E.) .- Ellipsometric studies of $\text{GaAs}_{1-x}\text{Px}$: Fourier analysis of critical point complexes.....	C10-45

- Kempa (K.), Forstmann (F.),
Kötz (R.) and Hayden (B.E.)
.- Ellipsometric study of
oxygen on a Ag(110) surface
around the plasma frequency
of silver..... C10-393
- Kempa (K.).- Voir Forstmann
(F.)..... C10-395
- Kern (R.).- Voir Quentel (G.). C10-473
- Kinosita (K.).- Voir Yamamoto
(M.)..... C10-383
- Koglin (E.) and Séquaris
(J.M.).- The short-range
component of SERS : results
of biopolymers..... C10-487
- Kolb (D.M.).- Electoreflec-
tance spectroscopy in the
study of metal-electrolyte
interfaces..... C10-137
- Kolb (D.M.).- Voir Forstmann
(F.)..... C10-395
- Kop (J.M.M.), Corssel (J.W.),
Janssen (M.P.), Cuypers
(P.A.) and Hermens (W.Th.)
.- Ellipsometric measure-
ment of the association of
prothrombin with phospholi-
pid monolayers..... C10-491
- Kop (J.M.M.).- Voir Cuypers
(P.A.)..... C10-495
- Korth (H.-E.).- A computer in-
tegrated spectrophotometer
for film thickness monoto-
ring..... C10-101
- Kottis (Ph.).- Voir Orrit (M.) C10-479
- Kötz (R.).- Voir Kempa (K.)... C10-393
- Kravtsov (V.E.).- Voir
Agranovich (V.M.)..... C10-403
- Kruger (J.).- Voir Ritter
(J.J.)..... C10-225
- Lahtinen (J.A.) and Tuomi (T.)
.- Electoreflectance of
thin zinc sulfide films
grown by atomic layer epi-
taxy and electron beam eva-
poration techniques..... C10-239
- Langevin (D.) and Meunier (J.)
.- Light scattering and re-
flectivity of liquid inter-
faces..... C10-155
- Leskova (T.A.).- Voir
Agranovich (V.M.)..... C10-403
- Levy (Y.).- Voir Dumas (P.)... C10-205
- Llebaria (A.).- Voir Rassigni
(G.)..... C10-367
- Logothetidis (S.) and
Spyridelis (J.).- Optical
constants of layer structu-
res from ellipsometric data C10-31
- López-Ríos (T.), Borensztein
(Y.) and Vuye (G.).- Inves-
tigation of electromagnetic
fields at a rough Ag surfa-
ce by differential reflec-
tometry of Cu and Al adsor-
bates..... C10-353
- López-Ríos (T.).- Voir
Borensztein (Y.)..... C10-475
- Lundqvist (S.) and Apell (P.)
.- Non-local electromagne-
tic effects at metal surfa-
ces..... C10-305
- Mahmoudi (A.).- Voir Abraham
(M.)..... C10-119
- Mal'shukov (A.G.).- Non-local
theory for the far-infra-
red absorption in small me-
tal particles..... C10-371
- Mal'shukov (A.G.).- Raman
scattering from a molecule
adsorbed at the metal sur-
face. The molecular charge
oscillation mechanism..... C10-315
- Maniv (T.).- Raman side-bands
in the reflectivity from
metals due to surface impu-
rities..... C10-321
- Maradudin (A.A.).- Voir Farias
(G.A.)..... C10-357
- Martinelli (G.).- Voir Celotti
(G.)..... C10-273
- Masson (M.).- Voir Froelicher
(M.)..... C10-187

Maurel (P.).- Voir Demay (Y.).	C10-253	Nguyen Van Huong (C.) and Hinnen (C.).- Application of the visible electroreflectance spectroscopy to the characterization of processes occurring on gold electrodes.....	C10-513
Meunier (J.).- Voir Langevin (D.).....	C10-155		
Möbius (D.).- Light reflection by complex dye monolayers..	C10-441		
Moerl (L.).- Voir Pettinger (B.).....	C10-333	Niquet (G.).- Voir Chabrier (G.).....	C10-235
Moldover (M.R.).- Voir Schmidt (J.W.).....	C10-243	Nonaka (O.).- Voir Sasaki (K.)	C10-127
Monreal (R.).- Voir Ahlqvist (P.).....	C10-375	Nygren (H.).- Voir Stenberg (M.).....	C10-83
Moritani (A.).- Voir Hoshino (T.).....	C10-217	Oancea (C.).- Voir Zamfir (E.).....	C10-49
Moritani (A.), Okuda (Y.) and Nakai (J.).- A retardation modulation ellipsometer for studying fast surface transients.....	C10-63	Ohtsuka (T.), Azumi (K.) and Sato (N.).- An in-situ reflection-spectroscopic study applied to anodic oxide films on iron, nickel, and titanium.....	C10-191
Moustaide (A.).- Voir Chabrier (G.).....	C10-235	Okuda (Y.).- Voir Moritani (A.).....	C10-63
Müller (R.H.) and Farmer (J.C.).- Fast, self-nulling spectroscopic ellipsometer: instrumentation and application.....	C10-57	Olivier (M.), Peuzin (J.C.) and Chenevas-Paule (A.).- Broadband spectroscopy of ultrathin layers by optical guided waves techniques. Application to a 80 Å thick a - Si : H layer.....	C10-123
Mullins (D.R.).- Voir Campion (A.).....	C10-341	Omel'yanovskaya (N.M.).- Voir Bobrov (A.V.).....	C10-327
Nakai (J.).- Voir Hoshino (T.)	C10-217		
Nakai (J.).- Voir Moritani (A.).....	C10-63	Ord (J.L.).- Application of ellipsometry to studies of electrostriction and electrochromism in anodic oxide films.....	C10-221
Nauer (G.).- Voir Neugebauer (H.).....	C10-517		
Neckel (A.).- Voir Neugebauer (H.).....	C10-517	Orrit (M.), Bernard (J.), Turlet (J.M.) and Kottis (Ph.).- Monolayer surface Raman and fluorescence spectroscopy of the anthracene crystal.....	C10-479
Neugebauer (H.), Neckel (A.), Nauer (G.), Brinda-Konopik (N.), Garnier (F.) and Tourillon (G.).- In situ IR-ATR-spectroscopy of electrode surfaces.....	C10-517	Otto (A.).- Voir Billmann (J.)	C10-331
Nevièrre (M.) and Reinisch (R.).- Electromagnetic theory of enhanced nonlinear optical process.....	C10-349	Otto (A.).- Voir Pettenkofer (C.).....	C10-337
		Otto (A.).- Voir Pettenkofer (C.).....	C10-463

- Palik (E.D.) and Bermudez (V.M.).- Ellipsometric investigation of the silicon / anodic-oxide interface..... C10-179
- Palmari (J.P.).- Voir Rasigni (G.)..... C10-367
- Palmqvist (A.).- Voir Elwing (H.)..... C10-499
- Parriaux (O.).- Voir Gruson (J.-P.)..... C10-131
- Pearson (P.J.).- Voir Greef (R.)..... C10-505
- Perrin (J.) and Drevillon (B.).- Growth characterization of a Si:H films by multiple angle of incidence spectroscopic ellipsometry..... C10-247
- Persson (B.M.J.).- Lateral interactions in small particle systems..... C10-409
- Pettenkofer (C.) and Otto (A.).- On the "first layer" enhancement in Raman scattering of pyridine on silver. C10-337
- Pettenkofer (C.), Pockrand (I.) and Otto (A.).- Surface enhanced Raman spectra from oxygen on silver..... C10-463
- Pettinger (B.) and Moerl (L.).- Evidence for low density of active sites in surface-enhanced Raman scattering.... C10-333
- Peuzin (J.C.).- Voir Olivier (M.)..... C10-123
- Philpott (M.R.).- Theory of surface enhanced Raman scattering : a prospective view..... C10-295
- Piazza (G.).- Voir Forstmann (F.)..... C10-395
- Picozzi (P.) and Santucci (S.).- Transmittance measurements on discontinuous copper films : a sensitive method for studying the oxidation process..... C10-209
- Pihlajamäki (S.V.) and Kankare (J.J.).- A micro-processor controlled spectroellipsometer for study of electrochemical systems. C10-53
- Pinard (A.).- Voir Damaskinos (S.)..... C10-387
- Plieth (W.).- Voir Schmidt (P.)..... C10-175
- Pockrand (I.).- Voir Pettenkofer (C.)..... C10-463
- Prévot (B.).- Voir Erman (M.). C10-261
- Quentel (G.) and Kern (R.).- Ellipsometric study of the cleaved germanium (111) surface as a function of temperature..... C10-473
- Rabolt (J.F.).- Voir Swalen (J.D.)..... C10-501
- Rasigni (G.), Rasigni (M.), Varnier (F.), Palmari (J.P.) and Llebaria (A.).- Restitution of surface profiles from microdensitometer analysis of electron micrographs of surface replicas..... C10-367
- Rasigni (M.).- Voir Rasigni (G.)..... C10-367
- Reda (I.M.), Wagendristel (A.), Bangert (H.) and Schattschneider (P.).- Determination of the growth rates of Au₂Al diffusionally formed in thin step-shaped Au-Al couples..... C10-95
- Reinisch (R.).- Voir Nevière (M.)..... C10-349
- Ritter (J.J.) and Kruger (J.).- Further development of the qualitative ellipsometric technique for the study of corrosion processes under organic coatings..... C10-225
- Rivière (D.).- Voir Dumas (P.) C10-205

- Rivière (D.) and Roger (G.R.)
.- Investigation of a very
thin and inhomogeneous film
of SiO from surface plasmon
optical excitation..... C10-113
- Roberts-Sengier (E.F.I.),
Hamilton (M.A.) and Hunt (R.)
.- Polyphase substrate el-
lipsometry - a kinetic in-
vestigation..... C10-199
- Robin (S.).- Voir Yous (B.)... C10-91
- Roger (G.R.).- Voir Rivière
(D.)..... C10-113
- Rolland (J.P.).- Voir Abraham
(M.)..... C10-119
- Ronto (Gy.).- Voir Toth (K.).. C10-521
- Rosa (R.).- Voir Celotti (G.). C10-273
- Ryberg (R.).- Infrared spec-
troscopy of adsorbed mole-
cules ; some experimental
aspects..... C10-421
- Sandroff (C.J.).- Voir Garoff
(S.)..... C10-483
- Sandström (T.).- Differential
ellipsometry..... C10-75
- Sandström (T.).- Voir Stibler
(L.)..... C10-79
- Santucci (S.).- Voir Picozzi
(P.)..... C10-209
- Sasaki (K.), Shimizu (T.),
Nonaka (O.), Hamano (O.)
and Serisawa (M.).- Aniso-
tropic refractive indices
of cadmium sulfide thin
film on a slab-type opti-
cal waveguide..... C10-127
- Sato (N.).- Voir Ohtsuka (T.). C10-191
- Schaefer (R.R.).- Infrared el-
lipsometry-A new technique
for characterization of do-
pant parameters in silicon C10-87
- Schattschneider (P.).- Voir
Reda (I.M.)..... C10-95
- Schlesinger (Z.).- Voir
Sievers (A.J.)..... C10-13
- Schmidt (J.W.) and Moldover
(M.R.).- Ellipsometry of
thin films on vapor-liquid
interfaces..... C10-243
- Schmidt (P.) and Plieth (W.).-
Optical absorption of mole-
cules in the electric field
of the double layer..... C10-175
- Schwab (C.).- Voir Erman (M.). C10-261
- Séquaris (J.M.).- Voir Koglin
(E.)..... C10-487
- Serisawa (M.).- Voir Sasaki
(K.)..... C10-127
- Shimizu (T.).- Voir Sasaki
(K.)..... C10-127
- Sievers (A.J.) and Schlesinger
(Z.).- IR surface plasmon
spectroscopy..... C10-13
- Siripala (W.).- Voir
Tomkiewicz (M.)..... C10-163
- Spyridelis (J.).- Voir
Logothetidis (S.)..... C10-31
- Stenberg (M.) and Nygren (H.)
.- The use of the isoscope
ellipsometer in the study
of adsorbed proteins and
biospecific binding reac-
tions..... C10-83
- Stibler (L.) and Sandström
(T.).- Geometrical resolu-
tion in the comparison el-
lipsometer..... C10-79
- Straboni (A.).- Voir Vareille
(A.)..... C10-257
- Summonte (C.).- Voir Celotti
(G.)..... C10-273
- Swalen (J.D.) and Rabolt
(J.F.).- Raman spectroscopy
in guided optical waves.... C10-501
- Tadjeddine (A.).- Voir Abraham
(M.)..... C10-119
- Tadjeddine (A.).- Voir Bouizem
(Y.)..... C10-509
- Takeuchi (K.).- Voir Yamamoto
(M.)..... C10-383

- | | | | |
|---|---------|---|---------|
| Tomkiewicz (M.) and Garuthara (R.).- Characterization of semiconductor electrolyte interface by modulated photoluminescence..... | C10-167 | Vuillermoz (B.).- Voir Vareille (A.)..... | C10-257 |
| Tomkiewicz (M.) and Siripala (W.).- Characterization of surface states at a semiconductor electrolyte interface by electrolyte electroreflectance spectroscopy..... | C10-163 | Vuye (G.).- Voir Borensztein (Y.)..... | C10-475 |
| Toth (K.), Vuye (G.), Vainer (H.), Ronto (Gy.) and Aslanian (D.).- Ellipsometric studies of biological macromolecules..... | C10-521 | Vuye (G.).- Voir López-Ríos (T.)..... | C10-353 |
| Tourillon (G.).- Voir Neugebauer (H.)..... | C10-517 | Vuye (G.).- Voir Toth (K.).... | C10-521 |
| Truong (V.V.).- Voir Damaskinos (S.)..... | C10-387 | Wada (Y.).- Voir Yamamoto (M.) | C10-383 |
| Tuomi (T.).- Voir Lahtinen (J.A.)..... | C10-239 | Wagendristel (A.).- Voir Reda (I.M.)..... | C10-95 |
| Turlet (J.M.).- Voir Orrit (M.)..... | C10-479 | Watanabe (M.) and Wissmann (P.).- Ellipsometric studies of oxygen adsorbed on silver films..... | C10-459 |
| Vainer (H.).- Voir Toth (K.).. | C10-521 | Weitz (D.A.).- Voir Garoff (S.)..... | C10-345 |
| Van Silfhout (A.).- Voir Hanekamp (L.J.)..... | C10-469 | Wijers (C.).- Numerical calculation of the optical properties of linear chain systems..... | C10-397 |
| Vareille (A.), Straboni (A.), Vuillermoz (B.) et Ged (Ph.).- Etude par ellipsométrie en temps réel d'ano-disations plasma de silicium monocristallin..... | C10-257 | Wind (M.M.).- Voir Vlieger (J.)..... | C10-363 |
| Varnier (F.).- Voir Rassigni (G.)..... | C10-367 | Wissmann (P.).- Voir Wanatabe (M.)..... | C10-459 |
| Vernier (P.).- Voir Chabrier (G.)..... | C10-235 | Yamamoto (M.).- Ellipsometry of thick ($d > \lambda$) transparent films using channelled spectrum..... | C10-35 |
| Visscher (W.).- Ellipsometry of nickel-oxides and -hydroxides in alkaline electrolyte..... | C10-213 | Yamamoto (M.), Ichiji (K.), Wada (Y.), Takeuchi (K.) and Kinoshita (K.).- Immersion-type transmission ellipsometry of very thin metal films..... | C10-383 |
| Vlieger (J.).- Voir Bedeaux (D.)..... | C10-379 | Yous (B.), Donnadieu (A.) et Robin (S.).- Reflectivité hémisphérique et diffuse de couches minces de tungstène préparées par décomposition en phase vapeur..... | C10-91 |
| Vlieger (J.) and Wind (M.M.).- Optical properties of thin films on rough surfaces.... | C10-363 | Zamfir (E.) and Oancea (C.) .- The anisotropy of the PbTe films obliquely deposited in vacuum studied by ellipsometry and photovoltaic effect..... | C10-49 |

